

Вопросы по дисциплине «Принципы автономного наведения»

1. Классификации летательных аппаратов. Основные тактико-технические характеристики летательных аппаратов.
2. Общие принципы компоновки летательных аппаратов. Органы управления. Геометрические и аэродинамические схемы летательных аппаратов.
3. Скорости поступательного и вращательного движений летательного аппарата.
4. Углы ориентации летательного аппарата относительно потока: а - угол атаки, В - угол скольжения.
5. Угловая ориентация летательных аппаратов в пространстве (углы w - рыскания, 9-тангажа, у - крена). Угловые скорости, описывающие движение.
6. Силы и моменты, действующие на летательных аппаратов в полете. Общая характеристика сил и моментов.
7. Аэродинамическая сила R, аэродинамический момент Mp и их проекции на оси систем координат.
8. Система кинематических уравнений, описывающих движения летательных аппаратов.
9. Система динамических уравнений, описывающих движения летательных аппаратов (при условии $m=const$).
10. Модель фигуры м форма Земли. Гравитационное поле Земли. Сила тяжести.
11. Системы координат используемые для описания движения летательного аппарата.
12. Общая формулировка задачи наведения, этапы решения задачи наведения летательных аппаратов.
13. Ограничения, накладываемые на движение летательных аппаратов. Понятие перегрузки. Влияние различных перегрузок.
14. Типы двигателей летательных аппаратов. Сила и момент тяги, действующие на летательный аппарат в полете.
15. Типовые траектории движения самолетов в горизонтальной плоскости.
16. Типовые траектории движения самолетов в вертикальной плоскости.
17. Типовые траектории полета баллистических ракет, особенности формирования параметров активного участка траектории.
18. Особенности траекторий полетов баллистических ракет в вертикальной плоскости.
19. Особенности траекторий полетов баллистических ракет вдоль поверхности Земли.
20. Особенности траекторий тактических ракет для перехвата воздушной цели.
21. Пилотажно-навигационный комплекс назначение, состав, функциональная схема, предназначение отдельных подсистем.
22. Метод инерциальной навигации. Элементы инерциальной навигационной системы.
23. Автономные датчики первичной информации о полете летательного аппарата.
24. Алгоритмы работы вычислительного устройства САУ в рамках ПНК.

1. Классификации летательных аппаратов. Основные тактико-технические характеристики летательных аппаратов.

«Принципы автономного наведения» — одна из инженерно-теоретических дисциплин, обеспечивающих подготовку специалистов по приборам и системам ориентации, стабилизации и навигации летательных аппаратов (ЛА), которые классифицируют:

- 1) по типу создания подъемной силы: самолеты, вертолеты, аппараты, движущиеся на воздушной подушке, крылатые ракеты, космические аппараты и баллистические ракеты;
- 2) по наличию экипажа на борту: пилотируемые (есть экипаж) и беспилотные (экипажа нет).

Наведение — это управление полетом ЛА, обеспечивающее его вывод с заданной точностью и надежностью в определенную точку пространства или заданное место на поверхности Земли.

В воздухе и космическом пространстве нет заранее проложенных путей, здесь их прокладка совмещена во времени с самим процессом движения. Для этого на пилотируемых ЛА человеку приходится выполнять большой по объему комплекс вычислительно-логических операций по считыванию показаний целого ряда пилотажно-навигационных приборов и систем, а также обрабатывать и обобщать эти показания, принимать решение, способствующее выполнению вывода ЛА в заданную точку пространства или заданное место на Земле.

Но возможности человека ограничены, поэтому процесс наведения ЛА нужно автоматизировать. Для беспилотных ЛА автоматизация процесса пилотирования обязательна. С этой целью разрабатывают бортовые пилотажно-навигационные комплексы (ПНК), представляющие собой совокупность измерительных, вычислительных, управляющих систем и систем отображения информации.

В общем виде движение ЛА описывает некоторая нелинейная система дифференциальных уравнений:

$$\dot{\bar{X}} = f(t, \bar{X}, \bar{U}, \bar{\xi}).$$

Здесь \bar{X} — n -мерный вектор, описывающий «фазовое» состояние, т. е. переменные состояния ЛА (его координаты и скорости); \bar{U} — m -мерная вектор-функция управления (обычно $m < n$); $\bar{\xi}$ — k -мерный вектор возмущений ($k < n$); t — время.

В соответствии с общей задачей наведения необходимо за время T перевести ЛА из состояния $X(0) = X_0$ в состояние $X(T) = X_T$. Вектор-функция $\bar{U}(t)$ является «свободным», т. е. он находится в распоряжении разработчика ПНК, лица, выбирающего управляющую функцию, которая имеет вид $\bar{U} = f_1(t, \bar{X}, \bar{\xi})$.

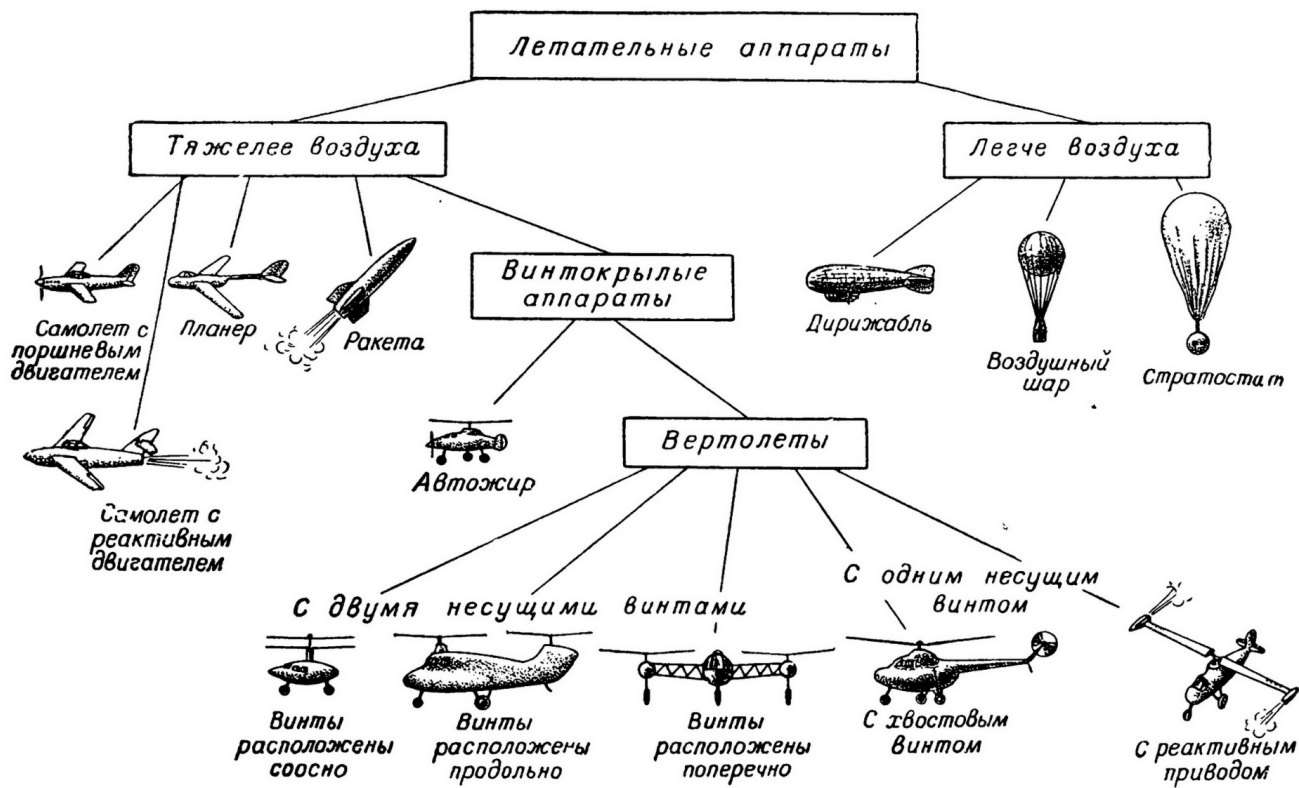


Рис. 16. Общая классификация летательных аппаратов и место вертолетов среди них

ЛЕТАТЕЛЬНЫЕ АППАРАТЫ

СПУТНИК
ЗЕМЛИ,
МЕЖПЛА-
НЕТНЫЙ
КОРАБЛЬ



РАКЕТА



АЭРОСТАТ,
СТРАТОСТАТ,
ДИРИЖАБЛЬ



САМОЛЕТ,
ПЛАНЕР,
ВЕРТОЛЕТ



Баллисти-
ческий

Ракетоди-
намический

Аэростати-
ческий

Аэродина-
мический

ПРИНЦИПЫ ПОЛЕТА (КЛАССИФИКАЦИОННЫЙ ПРИЗНАК)

ТТХ (Тактико-технические характеристики) летательного аппарата — совокупность количественных характеристик ЛА, определяющих его возможности выполнять своё целевое назначение.

К основным Л.-т. х. относятся пассажировместимость (грузоподъёмность), крейсерская и максимальная скорость, потолок, практическая и техническая дальность полёта, радиус действия, продолжительность полёта, скороподъёмность и другие характеристики манёвренности, взлётно-посадочные характеристики. Для боевых летательных аппаратов аналогичный комплекс показателей обычно называется лётно-тактическими характеристиками, в которые кроме большинства перечисленных выше характеристик включают боевую живучесть, боевую эффективность, заметность и некоторые другие характеристики.

В процессе эксплуатации техники происходит ухудшение её ТТХ из-за износа деталей. Когда ТТХ военной техники начинают отставать от ТТХ новых образцов, то техника считается морально устаревшей.

Тактико – технические характеристики самолетов относятся к боевым летательным аппаратам (в то время как технические или летно-технические относятся к гражданским). Ниже (текстом) приведены примеры тактико-технических характеристик ЛА:

дальность полета с целевой нагрузкой и без (перегоночная дальность полета), скорость крейсерского* полета и максимальная скорость, взлетная скорость и посадочная скорость, масса максимальная взлетная, масса пустого снаряженного самолета, высота крейсерского полета и высота максимального полета, длина фюзеляжа, размах крыла, размах оперения, строительная высота (от земли до наивысшей точки), иногда указывают число маха вместо максимальной скорости.

Если боевой - вес подвешенного снаряжения, комбинации

*крейсерская - это максимальная высота при максимальной загрузке

пример оформленной таблицы характеристик ниже:

Наименование характеристики		Ан-2	Ан-12	Ан-22	Ил-76	Ан-26
1.Макс взлетный вес	кг	5500	61000	225000	170000	
2.Вес пустого самолета	кг	3400	38000	125000	92000	
3.Макс загрузка	кг	1500	12000	60000	47000	5500
4.Макс загрузка топливом	кг	900	22000	96000	100000	
5.Крейсерская скорость	км/ч	190	450	550	740	
6.Часовой расход топлива	кг	125	2500	7000	8000	
7.Скорость при десантировании	км/ч	140-160	200-360	260-360	260-360	
8.Макс дальность полета	км	1000	6000	9400	7000	
9. Экипаж	чел.	3	7	8	7	
10. Макс количество парашютистов		10	60	150	115	39
11. Макс количество десантников при посадочном десантировании		10	95	292	225	39
12. Размеры грузовой кабины: - длина - ширина - высота		4,1 1,6 1,8	13,5 3,15 2,4	26,4 4,4 4,4	24,5 3,45 3,4	11,5 2,78 1,91

2. Общие принципы компоновки летательных аппаратов. Органы управления. Геометрические и аэродинамические схемы летательных аппаратов.

Общие принципы компоновки летательных аппаратов:

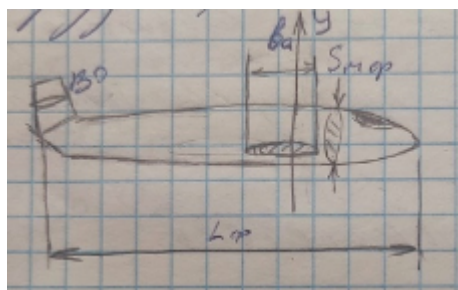
1.16. ЭЛЕМЕНТЫ САМОЛЕТА И РАКЕТЫ

Самолет и ракета обычно имеют следующие основные части: несущую поверхность (крыло) (на рис. 2 и 3 несущая поверхность заштрихована), корпус (фюзеляж), управляющие и стабилизирующие поверхности (органы управления, стабилизатор, киль, см. рис. 9), силовую установку (двигатели).

Элементы конструкции Л.А.:

1) корпус (фюзеляж)

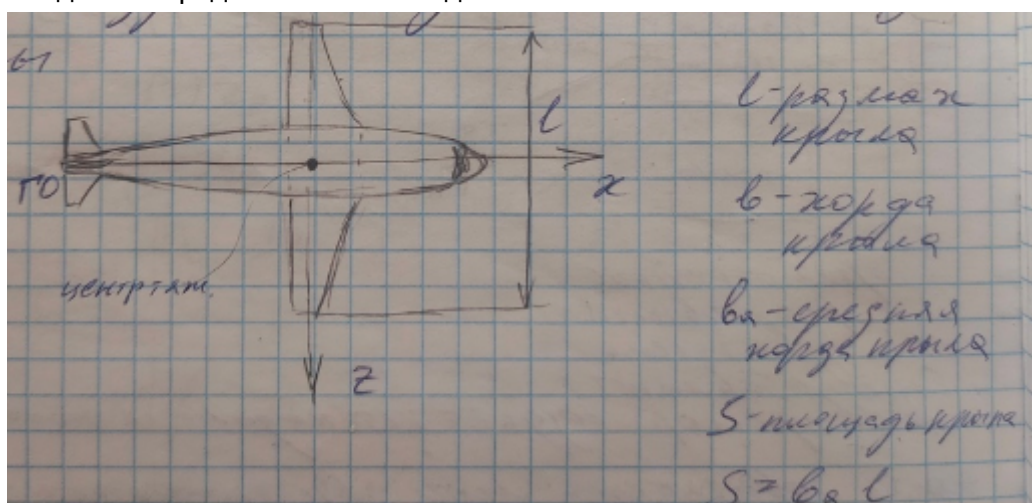
- предназначен для помещения грузов, основных приборов и агрегатов ЛА



а) L_f - длина фюзеляжа
б) S_{mf} - ширина的最大 фюзеляжа
в) S_{np} - максимальная ширина фюзеляжа в плоскости горизонта, параллельной плоскости ход.

2) крылья

- создание аэродинамической подъёмной силы



3) оперение

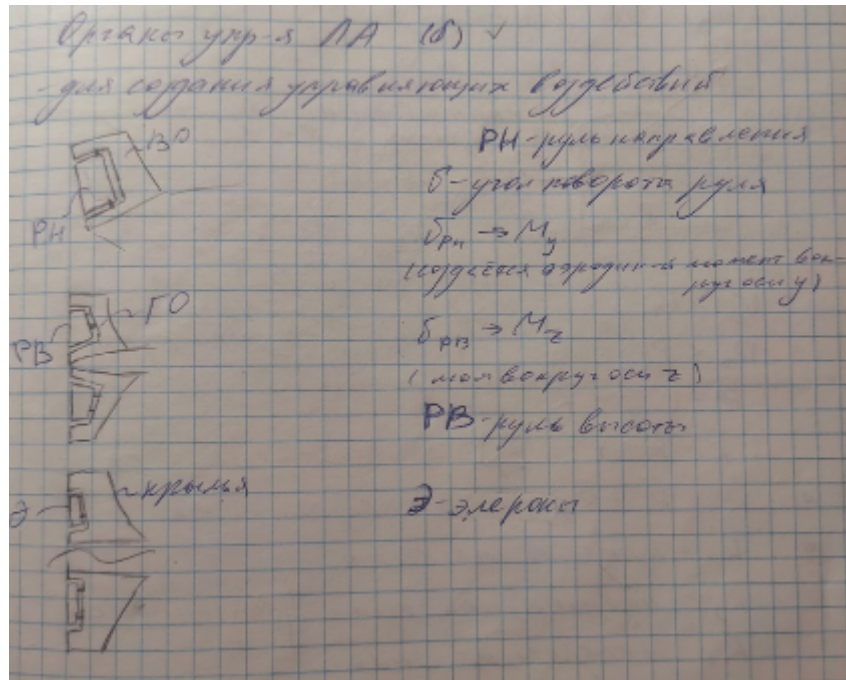
- для статической стабилизации ЛА в полёте. Подразделяются на:
ВО-вертикальное оперение

ГО-горизонтальное оперение

4) подвесные элементы (двигатели, антенны и т.д.)

-характеризуются местом расположения относительного центра масс ЛА

Органы управления:



Геометрические и аэродинамические схемы летательных аппаратов

Геометрическая схема ЛА включает в себя все его геометрические характеристики, такие как длина, высота, размах крыла площадь крыла, площадь хвостового оперения и так далее.

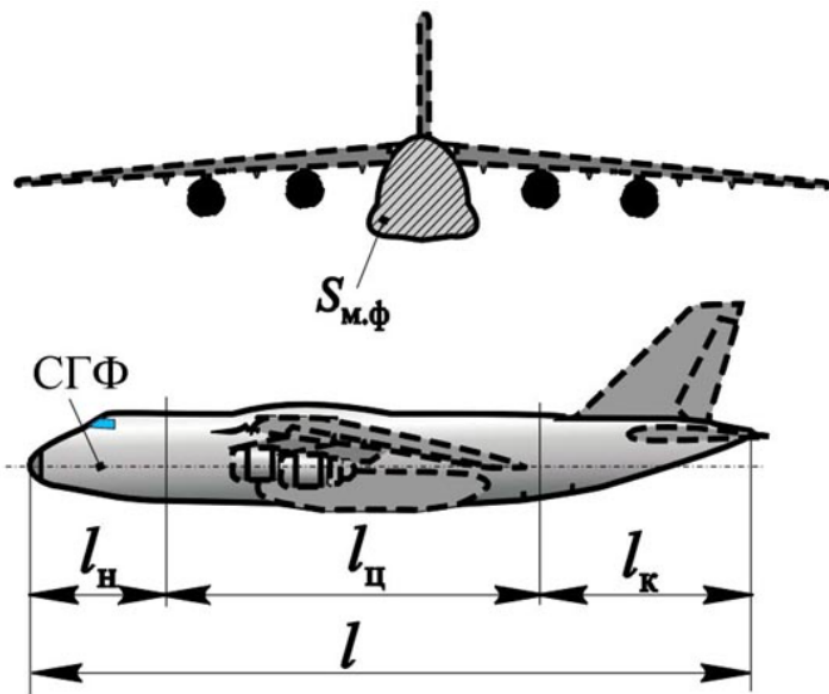
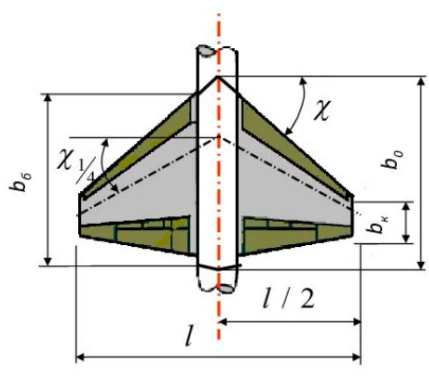


Рис. 7.10. К пояснению основных геометрических параметров фюзеляжа:
 l_H - длина носовой части; $l_Ц$ - цилиндрической; l_K - кормовой; $S_{M,Φ}$ - площадь миделевого сечения;
 l - общая длина.

Геометрические характеристики крыла



S - площадь крыла;
 l - размах крыла;
 b_0 - центральная хорда;
 $b_δ$ - бортовая хорда;
 $b_κ$ - концевая хорда;
 $χ$ - угол стреловидности;
 $χ_{1/4}$ - угол стреловидности
 по $\frac{1}{4}$ хорд;
 $λ = l^2/S$ - удлинение крыла;
 $η = b_0/b_κ$ - сужение крыла.

3.36. РАЗМАХ КРЫЛА

За размах крыла l принимается расстояние между двумя плоскостями, параллельными базовой плоскости самолета и касающимися концов крыла (рис. 64).

В ИСО размах крыла обозначается b .

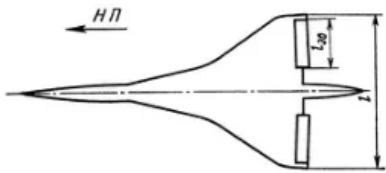


Рис. 64. Размах l крыла самолета

3.37. РАЗМАХ ГОРИЗОНТАЛЬНОГО ОПЕРЕНИЯ

Размах горизонтального оперения $l_{\text{г.о.}}$ летательного аппарата определяется по аналогии с определением размаха крыла (рис. 65).

3.38. РАЗМАХ КОНСОЛИ ГОРИЗОНТАЛЬНОГО ОПЕРЕНИЯ

Размах $l_{\text{к.г.о.}}$ определяется, как указано на рис. 65.

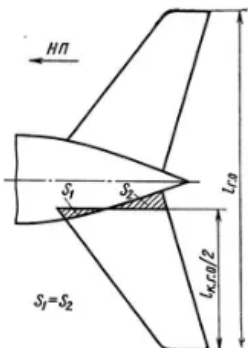
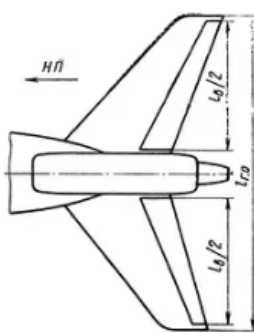


Рис. 65. Размах горизонтального оперения $l_{\text{г.о.}}$

Рис. 66. Размах поворотного стабилизатора $l_{\text{г.о.}}$ и размах руля высоты l_s



3.39. РАЗМАХИ РУЛЕЙ, ЭЛЕРОНОВ, ЭЛЕВОНОВ, ПРЕДКРЫЛКОВ, ЗАКРЫЛКОВ, ИНТЕРЦЕПТОРОВ

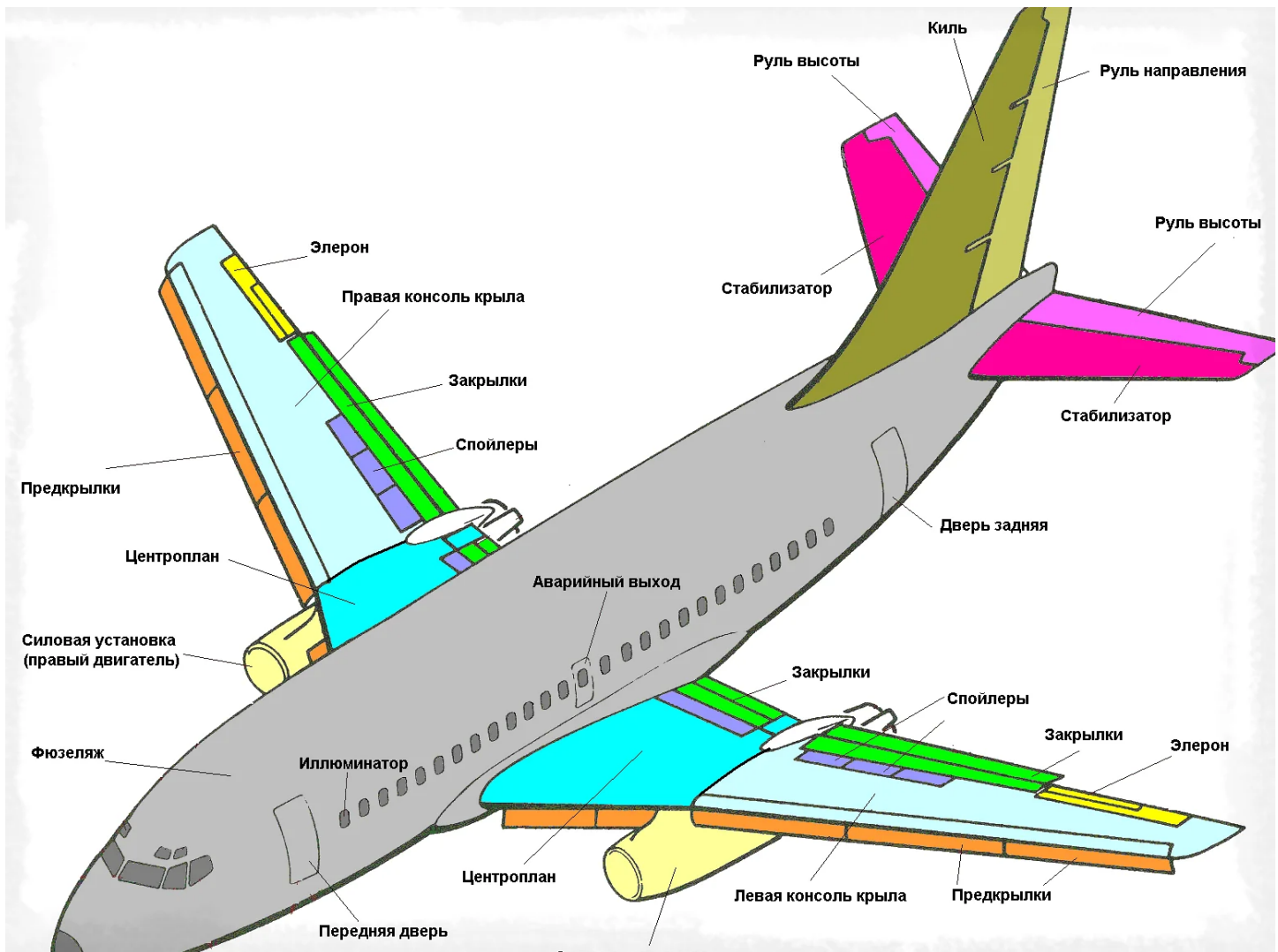
Определяются по аналогии с определением размаха крыла (см. 3.36, а также рис. 66, 67 и 68).

Рис. см. выше

Аэродинамическими характеристиками обычно принято называть безразмерные коэффициенты аэродинамических сил и моментов, действующих на летательные аппараты или отдельные его элементы, например коэффициент подъемной силы, коэффициент лобового сопротивления, коэффициент продольного момента и т. д. (см. разд. 5, 6).

Аэродинамическая схема самолёта.

А. с. характеризует геометрические и конструктивные особенности самолёта. Известно большое число признаков, по которым характеризуют А. с., но в основном их принято различать: по взаимному расположению крыла и горизонтального оперения (ГО); числу крыльев — основных несущих поверхностей; расположению крыла относительно фюзеляжа; типу и расположению двигателей; диапазону чисел полёта M ; способу и методу взлёта и посадки.



В зависимости от взаимного расположения крыла и ГО выделяют следующие основные а.с:

- 1) нормальная (обычная) а.с.
-ГО расположен сзади крыла
- 2) "бесхвостка"
-у самолетов этой схемы ГО отсутствует, а в качестве органов продольного управления используют элевоны, элероны, закрылки, флапероны, которыми в этом случае осуществляется и поперечное управление
- 3) "утка"
-в этой схеме ГО расположено впереди крыла и впереди центра тяжести самолета
- 4) "тандем"
-используется редко, представляет сочетание двух крыльев, расположенных одно за другим



1. "Утка" (Canard):

- Утка - это конфигурация с двумя крыльями, при этом переднее крыло (утка) расположено ближе к носу, а заднее крыло находится на корме.
- Утки могут обеспечивать хорошую маневренность и контроль, их использование может улучшить аэродинамические характеристики.

2. Бесхвостка" (Tailless):

- Бесхвостка - это летательный аппарат без вертикального и горизонтального стабилизаторов на хвосте.
- Этот тип конфигурации может быть сложен с точки зрения управления и стабилизации, но некоторые бесхвостки были разработаны успешно.

3. Нормальная конфигурация (Conventional):

- Нормальная конфигурация относится к традиционной компоновке с вертикальным и горизонтальным стабилизаторами на хвосте, а управляющие поверхности располагаются на крыльях.

4. Конвертируемая (VTOL - Vertical Takeoff and Landing):

- Конвертируемые летательные аппараты могут изменять свою конфигурацию для вертикального взлета и посадки, а также для горизонтального полета.
- Примером может быть вертикально взлетающий и переходящий в горизонтальный полет самолет.

5. С передним и хвостовым ГО (Cranfield Formula):

- Этот тип конфигурации включает в себя передние и хвостовые горизонтальные устойчивости, что может улучшить аэродинамические характеристики и стабильность.

6. Летающее крыло (Flying Wing):

- Летающее крыло - это конфигурация, где крыло самого летательного аппарата выполняет функции и крыла, и фюзеляжа.
- Это может обеспечивать высокую эффективность и уменьшенное сопротивление, но требует особых решений для обеспечения стабильности и управления.

Каждая из этих конфигураций имеет свои преимущества и недостатки, и их выбор зависит от требований к летательному аппарату и его предназначения.

По числу несущих поверхностей:

- 1) монопланы
- 2) бипланы
- 3) полипланы

В зависимости от расположения крыла по высоте фюзеляжа:

- 1) низкоплан
- 2) среднеплан
- 3) высокоплан
- 4) парасоль

По числу несущих поверхностей:

1. Монопланы:

- Одноплановые летательные аппараты, у которых есть одно основное крыло.

2. Бипланы:

- Двуплановые летательные аппараты с двумя горизонтально расположеными крыльями. Одно крыло расположено над другим.

3. Полипланы:

- Летательные аппараты с тремя или более крыльями.

В зависимости от расположения крыла по высоте фюзеляжа:

1. Низкоплан:

- Крыло расположено близко к нижней части фюзеляжа.

2. Среднеплан:

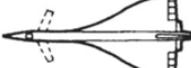
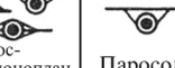
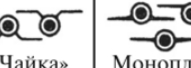
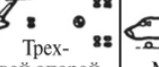
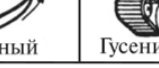
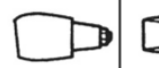
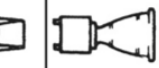
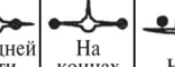
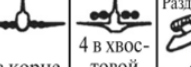
- Крыло расположено посередине высоты фюзеляжа.

3. Высокоплан:

- Крыло расположено высоко на фюзеляже, близко к верхней части.

4. Парасоль:

- Крыло расположено выше фюзеляжа и поддерживается стойками или другими конструкциями. Может создавать впечатление, что крыло "нависает" над фюзеляжем.

1	Аэродинамическая схема самолета							
2	Крыло	Число и расположение						
3		Форма в плане						
4		Схема оперения						
5	Шасси	Схема						
6		Тип опорного элемента						
7		Схема фюзеляжа						
8	Силовая установка	Тип двигателя						
9		Число и расположение двигателей						

3. Скорости поступательного и вращательного движений летательного аппарата.

35. Скорость летательного аппарата	\vec{v}	Скорость начала O связанной системы координат относительно среды, не возмущенной летательным аппаратом
Скорость		
36. -	v	Модуль скорости летательного аппарата
37. Земная скорость	\vec{v}_e	Скорость начала O связанной системы координат относительно какой-либо из земных систем координат
38. Путевая скорость	\vec{v}_p	Проекция земной скорости на горизонтальную плоскость OX_gZ_g нормальной системы координат
39. Скорость ветра	\vec{w}	Скорость среды, не возмущенной летательным аппаратом, относительно какой-либо из земных систем координат



Вращательное движение в виде движения связанной ск относительно нормальной ск, которая повторяет движение ЛА в пространстве, характеризуется угловой скоростью вращательного движения ЛА и обозначается $\vec{\omega}$

УГЛОВЫЕ СКОРОСТИ

40. Абсолютная угловая скорость летательного аппарата	$\vec{\omega}$	Угловая скорость связанной системы координат относительно инерциальной системы координат
Абсолютная угловая скорость		
41. Угловая скорость летательного аппарата	$\vec{\omega}$	Угловая скорость связанной системы координат относительно какой-либо из земных систем координат
Угловая скорость		
42. Скорость крена	ω_x	Составляющая угловой скорости летательного аппарата $\vec{\omega}$ по оси OX связанной системы координат
Скорость крена		
43. Скорость рыскания	ω_y	Составляющая угловой скорости летательного аппарата $\vec{\omega}$ по оси OY связанной системы координат
Скорость рыскания		
44. Скорость тангажа	ω_z	Составляющая угловой скорости летательного аппарата $\vec{\omega}$ по оси OZ связанной системы координат
Скорость тангажа		

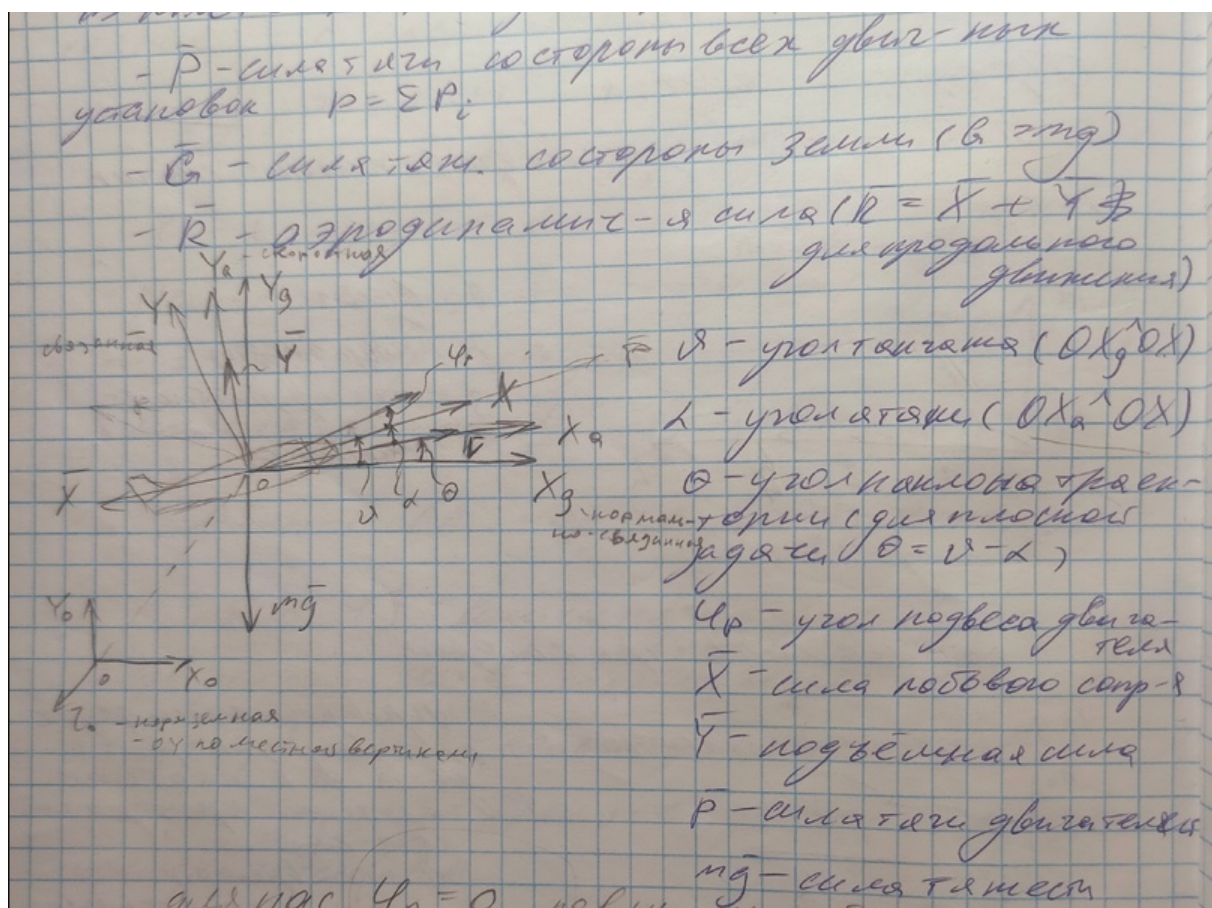
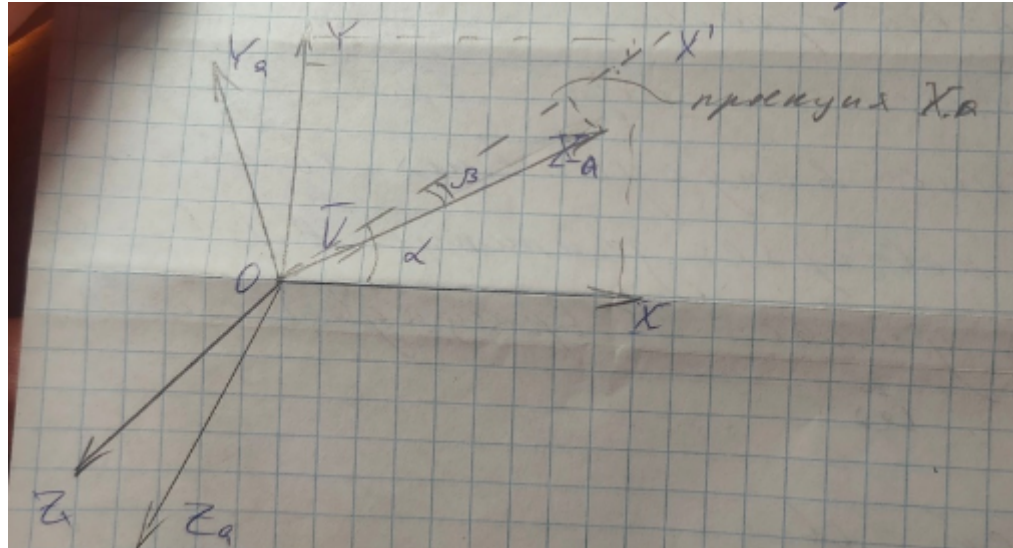
4. Углы ориентации летательного аппарата относительно потока: а - угол атаки, В - угол скольжения.

Ориентация относительно воздушной среды характеризуется двумя углами между осями связанный ОХУЗ и скоростной ск ОХ_аУ_аЗ_а:

- а(альфа)-угол атаки
- в(бета)-угол скольжения

Углом атаки α называется угол между проекцией вектора скорости на плоскость симметрии самолёта Oxy и продольной осью самолёта Ox .

Углом скольжения β называется угол между вектором скорости и плоскостью симметрии самолёта Oxy .



снизу альфа - угол атаки, бэта - угол скольжения, OXYZ - связанная СК, O $X_aY_aZ_a$ - скоростная СК, $V_{ход}$ - проекция вектора скорости V на базовую плоскость самолета.

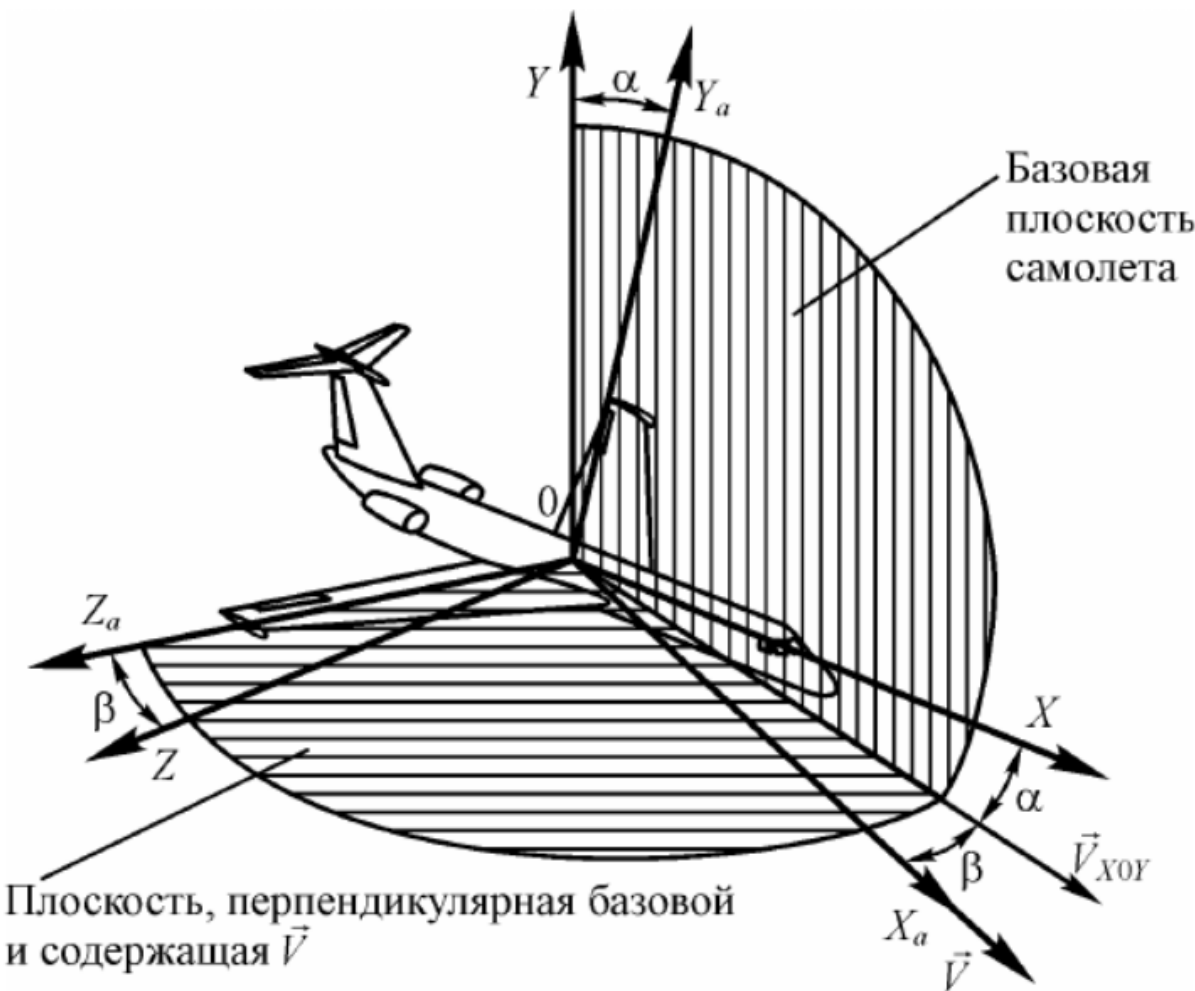
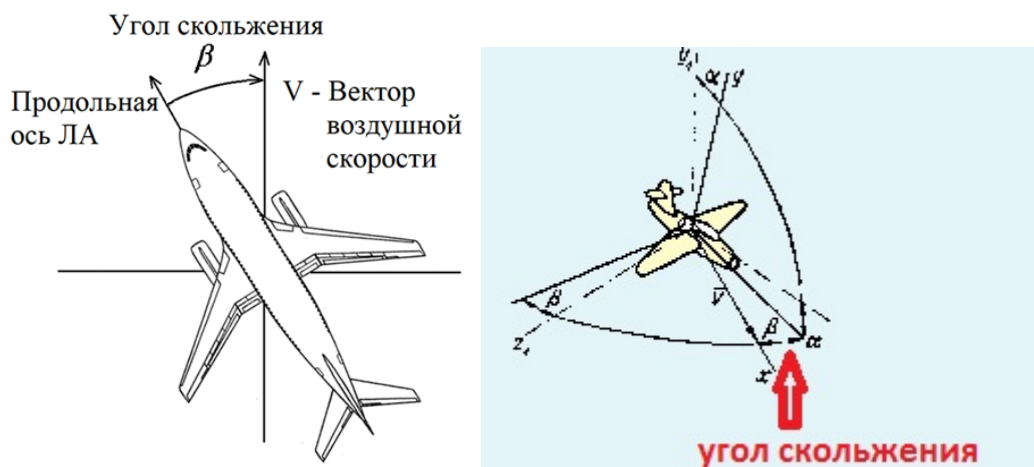
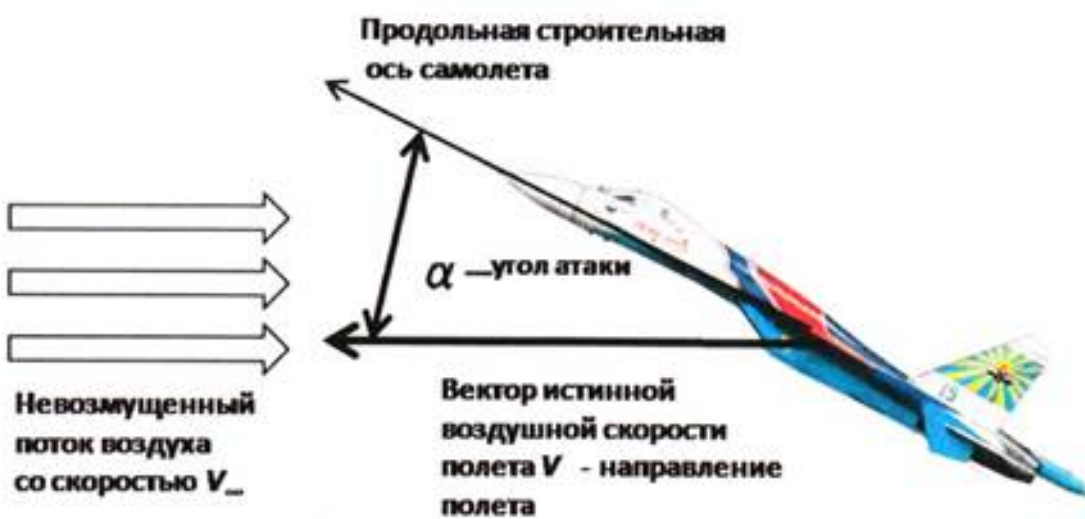
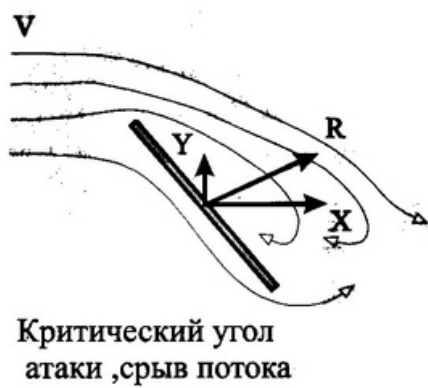
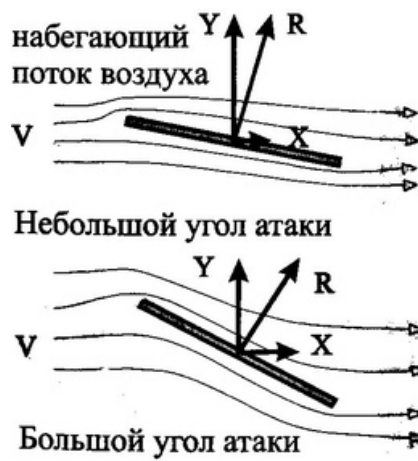


Рис. 19. Скоростная система координат



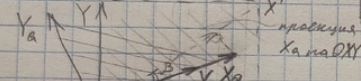


Ориентация от-но
воздушной среды

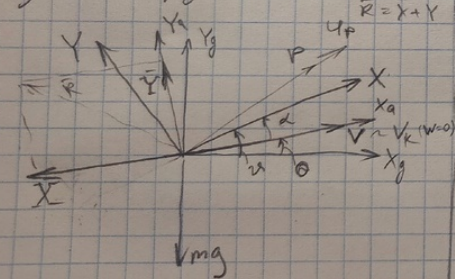
$$OXY_2 OX_0 Y_0 Z_0$$

• α - угол атаки - угол м/у проек-
цией вектора скорости V по
плоскости стабилизации OXY и
передней осью самолета OX

• β - угол склонения - угол м/у
направлением воздушной
скорости V и плоскостью сим-
метрии OXY



из сим.: продолжение векторов



з/з плоскости полета: $\alpha = \beta - \delta$
 $\gamma = \theta + \delta$

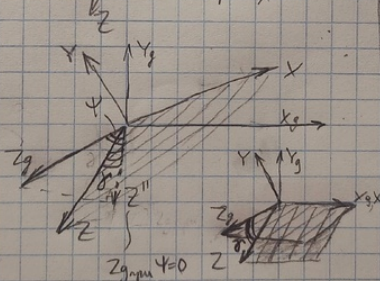
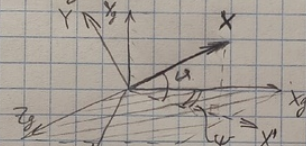
установка самолета в
пространстве

$$OXY_2 OX_0 Y_0 Z_0$$

• γ - угол тангажа - угол м/у проек-
цией оси OX и горизонталь-
ной пл-ти ($OY_0 Z_0$)

• δ - угол крена - угол м/у осью
 OZ и осью OX_0 , симметричное
изменение наклона тела по-
лянки (м/у OX_0 и пл-ти $OY_0 Z_0$)

• γ - угол рулекания - угол м/у
 OX_0 и горизонт. пл-ти и проекцией оси
 OY на горизонт. пл-ти ($OY_0 Z_0$)

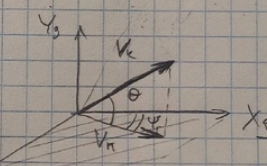


установка самолета в
пространстве

$$V_x, V_y, OX_0 Y_0 Z_0$$

• Круптовой угол - угол м/у осью
 OX_0 и направлением н/з-вой
скорости V_n

• θ - угол наклона габаритов -
угол м/у направлением гори-
зонтальной скорости V_n и горизонталь-
ной плоскостью $OY_0 Z_0$

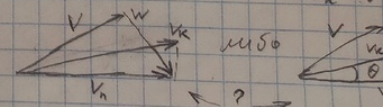


V - скорость LA от-но н/з-
вой среды - воздушной

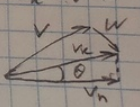
V_n - земная скорость - ско-
рость LA от-но земли в земных координатах

V_h - нулевая скорость - проек-
ция земной скорости на зем-
ную пл-ть - z (на-то $OY_0 Z_0$)

$$V_h = V + Vh$$



$$V_h = V + Vh$$



5. Угловая ориентация летательных аппаратов в пространстве (углы ϑ - рыскания, θ - тангажа, γ - крена). Угловые скорости, описывающие движение.

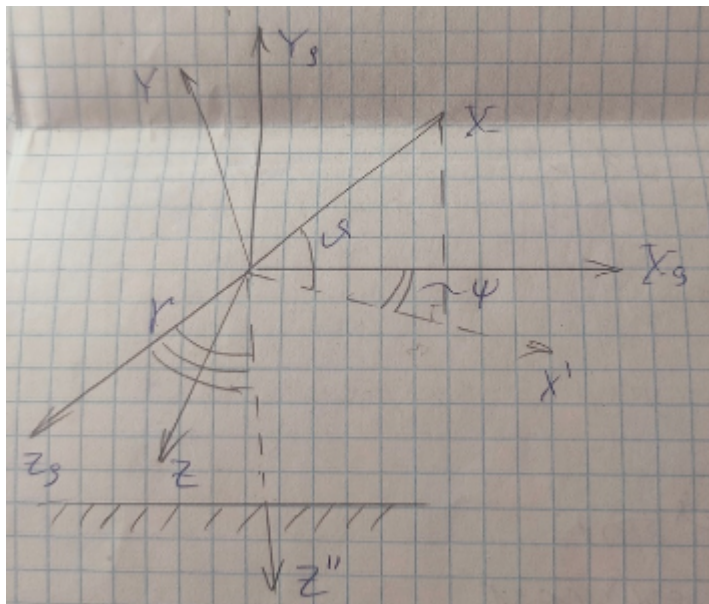
Углы ориентации в пространстве - это взаимное расположение нормально-связанной $OXgYgZg$ и связанной ск $OXYZ$

Положение самолета относительно Земли определяется углами тангажа ϑ , крена γ и рыскания ψ .

Угол тангажа ϑ - это угол между продольной осью самолета Ox и местной горизонтальной плоскостью. Угол тангажа положителен, когда продольная ось находится выше горизонтальной плоскости.

Угол крена γ - это угол между плоскостью симметрии самолета и вертикальной плоскостью. Угол крена положителен при накренении самолета вправо.

Угол рыскания ψ - это угол между проекцией оси Ox на горизонтальную плоскость и некоторым направлением, условно принятым за начальное. Угол рыскания положителен при развороте влево.



УГЛЫ, ОПРЕДЕЛЯЮЩИЕ НАПРАВЛЕНИЕ СКОРОСТИ ЛЕТАТЕЛЬНОГО АППАРАТА В СВЯЗАННОЙ СИСТЕМЕ КООРДИНАТ И В СИСТЕМЕ КООРДИНАТ, СВЯЗАННОЙ С ПРОСТРАНСТВЕННЫМ УГЛОМ АТАКИ (Справочное приложение 1, черт. 1)

21. Угол атаки	α	Угол между продольной осью Ox и проекцией скорости летательного аппарата \vec{V} (п. 35) на плоскость OXY связанной системы координат	Угол атаки следует считать положительным, если проекция скорости летательного аппарата на нормальную ось отрицательна
22. Угол скольжения	β	Угол между направлением скорости летательного аппарата \vec{V} (п. 35) и плоскостью OXY связанной системы координат	Угол скольжения следует считать положительным, если проекция скорости летательного аппарата на поперечную ось положительна
23. Пространственный угол атаки	α_p	Угол между продольной осью Ox и направлением скорости летательного аппарата \vec{V} (п. 35)	Пространственный угол атаки всегда является положительным

УГЛЫ МЕЖДУ ОСЯМИ СВЯЗАННОЙ И НОРМАЛЬНОЙ СИСТЕМ КООРДИНАТ (Справочное приложение 1, черт. 2)

25. Угол рыскания	ψ	Угол между осью OX_g нормальной системы координат и проекцией продольной оси Ox на горизонтальную плоскость OX_gZ_g нормальной системы координат	Угол рыскания следует считать положительным, когда ось OX_g совмещается с проекцией продольной оси на горизонтальную плоскость поворотом вокруг оси OY_g по часовой стрелке, если смотреть в направлении этой оси
26. Угол тангажа	θ	Угол между продольной осью Ox и горизонтальной плоскостью OX_gZ_g нормальной системы координат	Угол тангажа следует считать положительным, когда продольная ось находится выше горизонтальной плоскости OX_gZ_g
27. Угол крена	γ	Угол между поперечной осью OZ и осью OZ_g нормальной системы координат, смещенной в положение, при котором угол рыскания равен нулю	Угол крена следует считать положительным, когда смещенная ось OZ_g совмещается с поперечной осью поворотом вокруг продольной оси по часовой стрелке, если смотреть в направлении этой оси

28. Скоростной угол рыскания	ψ_a	Угол между осью OX_g нормальной системы координат и проекцией скоростной оси OX_a на горизонтальную плоскость OX_gZ_g нормальной системы координат	Скоростной угол рыскания следует считать положительным, когда ось OX_g совмещается с проекцией скоростной оси на горизонтальную плоскость OX_gZ_g и воротом вокруг оси OY_g по ча-
------------------------------	----------	--	--

Термин	Обозначение	Определение	Примечание
29. Скоростной угол тангажа	ϑ_a	Угол между скоростной осью OX_a и горизонтальной плоскостью OX_gZ_g нормальной системы координат	Скоростной угол тангажа следует считать положительным, когда скоростная ось находится выше горизонтальной плоскости OX_gZ_g
30. Скоростной угол крена	γ_a	Угол между боковой осью OZ_a и осью OZ_g нормальной системы координат, смещенной в положение, при котором скоростной угол рыскания равен нулю	Скоростной угол крена следует считать положительным, когда смещенная ось OZ_g совмещается с боковой осью поворотом вокруг скоростной оси по часовой стрелке, если смотреть в направлении этой оси

ризонтально. Угол между осью OX_g и проекцией оси OX на горизонтальную плоскость X_gZ_g называется углом рыскания и обозначается ψ . Угол между продольной осью OX и горизонтальной плоскостью X_gZ_g называется углом тангажа и обозначается ϑ . Угол между поперечной осью OZ и горизонтальной плоскостью X_gZ_g называется углом крена и обозначается γ .

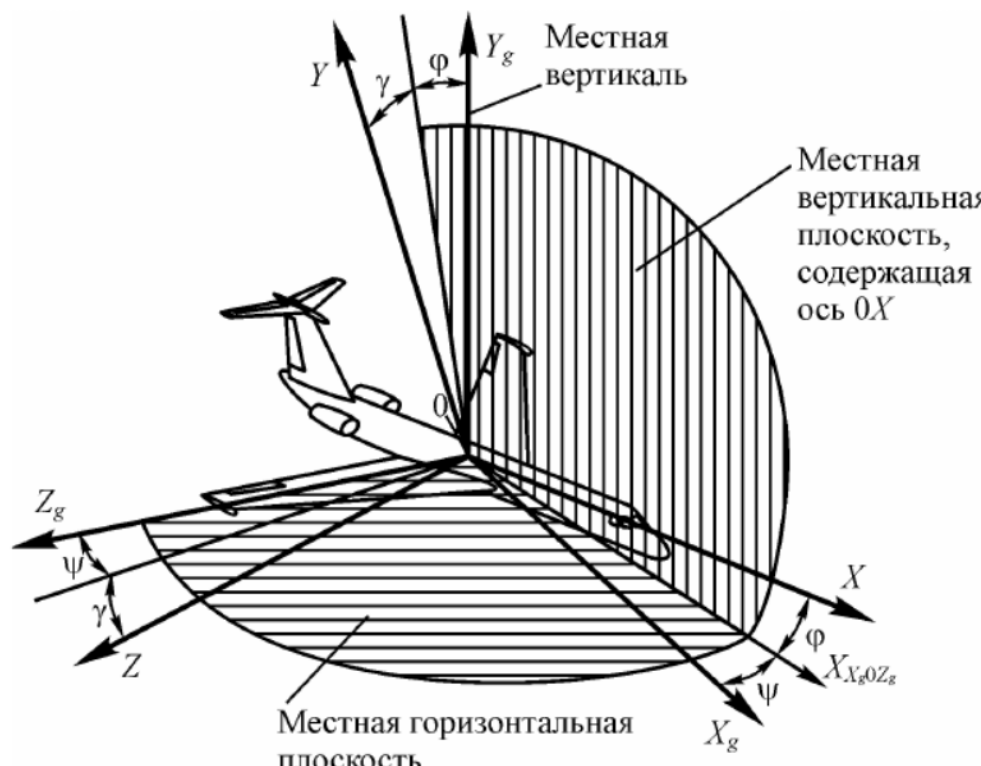


Рис. 20. Нормальная система координат

Угловые скорости из вопроса 3:

Вращательное движение в виде движения связанный ск относительно нормальной ск, которая повторяет движение ЛА в пространстве, характеризуется угловой скоростью вращательного движения ЛА и обозначается:

УГЛОВЫЕ СКОРОСТИ

40. Абсолютная угловая скорость летательного аппарата Абсолютная угловая скорость	$\vec{\Omega}$	Угловая скорость связанный системы координат относительно инерциальной системы координат	1. Составляющие абсолютный угловой скорости летательного аппарата и угловой скорости летательного аппарата $\vec{\omega}$ (п. 41) по осям различных систем координат
41. Угловая скорость летательного аппарата Угловая скорость	$\vec{\omega}$	Угловая скорость связанный системы координат относительно какой-либо из земных систем координат	следует обозначать соответственно $\vec{\Omega}$ и $\vec{\omega}$ с индексом соответствующей оси, например, ω_x — составляющая угловой скорости летательного аппарата по оси Ox_a скоростной системы координат.
42. Скорость крена	ω_x	Составляющая угловой скорости летательного аппарата $\vec{\omega}$ по оси Ox связанный системы координат	2. Составляющие абсолютной угловой скорости летательного аппарата и угловой скорости летательного аппарата следует считать положительными при вращении летательного аппарата вокруг соответствующей оси по часовой стрелке, если смотреть в направлении этой оси
43. Скорость рыскания	ω_y	Составляющая угловой скорости летательного аппарата $\vec{\omega}$ по оси Oy связанный системы координат	См. примечания к п. 40
44. Скорость тангажа	ω_z	Составляющая угловой скорости летательного аппарата $\vec{\omega}$ по оси Oz связанный системы координат	См. примечание 2 к п. 40 To же

*Бонус код: не спрашивали, а пусть будет

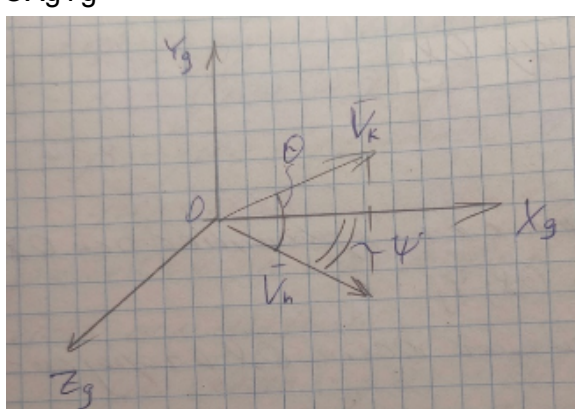
Углы, характеризующие ориентацию в траектории:

ψ (пси)-путевой угол

θ (тета)-угол наклона траектории

Путевой угол-угол между осью Ox_g нормо-связанной ск и направлением путевой скорости V_p (проекция земной скорости на горизонтальную плоскость)

Угол наклона траектории- угол между направлением земной скорости V_k и горизонтальной плоскостью Ox_gY_g



ТРАЕКТОРНЫЕ УГЛЫ (Справочное приложение 1, черт. 4)

31. Угол пути

Ψ

Угол между осью OX_g нормальной системы координат и направлением путевой скорости \vec{V}_p (п. 38)

Угол пути следует считать положительным, когда ось OX_g совмещается с направлением путевой скорости поворотом вокруг оси OY_g по часовой стрелке, если смотреть в направлении этой оси

32. Угол наклона траектории

Θ

Угол между направлением земной скорости \vec{V}_k (п. 37) и горизонтальной плоскостью OX_gZ_g нормальной системы координат

Угол наклона траектории следует считать положительным, когда проекция земной скорости на ось OY_g положительна

Движением самолета в воздухе управляют наружные панели, находящиеся на задних кромках крыльев, стабилизаторах и киля. Эти три поверхности управления поворачивают самолет в трех осях — в оси крена, тангажа и рыскания. Ими управляет находящийся в кабине пилот при помощи штурвала и педалей, соединенных с рулем направления.

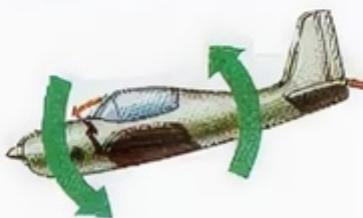


КРЕНЕНИЕ



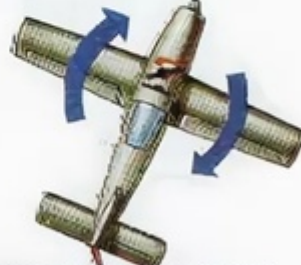
Поворотом штурвала приводятся в действие элероны — закрылки. Один из них опускается, чтобы создать подъемную силу, а другой поднимается, чтобы ее уменьшить.

ТАНГАЖ



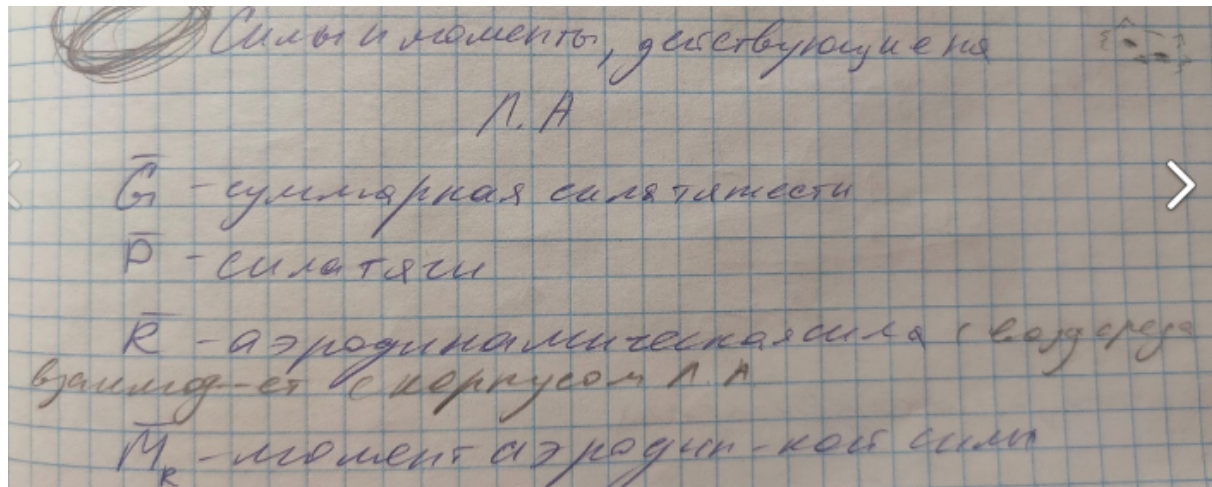
Нажатием на штурвал приводятся в действие рули высоты на стабилизаторе и изменяется тангаж, т.е. опускается или поднимается нос самолета.

РЫСКАНИЕ



При помощи руля самолет можно повернуть вправо или влево. Совершая поворот, самолет, как правило, перемещается как по оси крена, так и по оси горизонтальной плоскости.

6. Силы и моменты, действующие на летательных аппаратов в полете. Общая характеристика сил и моментов.



1. Сила тяжести. Если пренебречь кривизной и вращением Земли, сила тяжести G равна гравитационной силе и направлена вертикально вниз.

2. Сила тяги. Сила тяги P – это главный вектор системы сил, действующих на ЛА со стороны двигателя в результате его функционирования.

3. Аэродинамические силы. Это силы, вызываемые взаимодействием между атмосферой и движущимся в ней ЛА.

4.1. Основы аэродинамики и теории полета

Основная задача аэродинамики – изучение аэродинамических сил, определяющих летные данные ВС. Решения этой задачи ведется в двух направлениях: теоретическом (решение уравнений аэродинамики) и экспериментальном (модельные испытания в аэродинамических трубах и летные испытания).

Принцип полета самолета

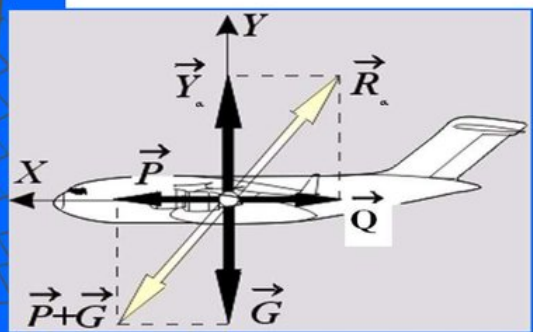
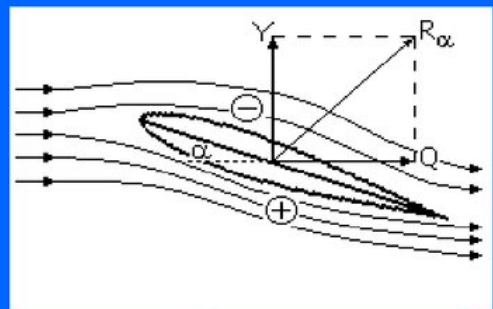
$$\vec{P} + \vec{Y} = \vec{Q} + \vec{G}$$

P – сила тяги двигателей,

Y – подъемная сила

Q – сила лобового сопротивления,

G – вес самолета



$$R_a = C_R S \frac{\rho V^2}{2}, \quad Y = C_Y S \frac{\rho V^2}{2}, \quad Q = C_X S \frac{\rho V^2}{2}, \quad R_a^2 = Y^2 + Q^2$$

R_a – аэродинамическая сила, α – угол атаки, S – площадь крыла, ρ – плотность воздуха, C_x, C_y, C_R – коэффициенты определяемые экспериментально (в аэродинамической трубе)

Величина подъемной силы, действующей на крыло, определяется его **аэродинамическим качеством** (K), зависящем от характеристик крыла

$$K = C_Y / C_X, \quad K = (20-22)$$

\bar{M}_{rp} - неравномерный изогнутый момент
 \bar{M}_{pe} - плавающий изогнутый момент

пассажир
oxygen

$$\bar{G} = \bar{F}_{yad} + \bar{F}_y$$

$$\bar{G} = \bar{G}_x + \bar{G}_y + \bar{G}_z$$

$$G_x = -G \sin \vartheta$$

$$G_y = -G \cos \vartheta \cos \delta'$$

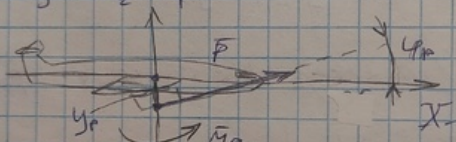
$$G_z = G \cos \vartheta \sin \delta'$$

Составляющие моментов от действия силы

$$\bar{P} = \sum \bar{P}_i$$

$$\bar{M}_p = \sum \bar{M}_{pi}$$

$$\bar{P} = \bar{P}_x + \bar{P}_y + \bar{P}_z$$



\bar{M}_{px} - изогнутый момент от действия силы

$$P_x = P \cos \theta_p$$

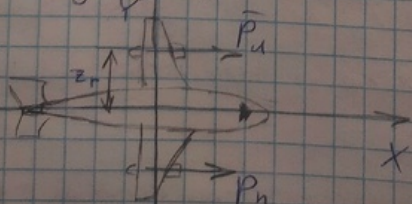
$$P_y = P \sin \theta_p$$

$$P_z \approx 0$$

$$M_{px} =$$

$$M_{py} = (P_n - P_x) z_p$$

$$M_{pz} = P_y z_p \cos \theta_p$$



z_p - угол между силами

$$\bar{P}_n \neq \bar{P}_n$$

$$P = f(\text{некоторые параметры})$$

Два варианта определения тяги:

1) соотн-е тяги ресет винтомоторной группы

(исп-е винтомоторного узла и мотора/винта)

2) исп-е реактивной тяги винтомоторной группы

$$P = f(p(V), \rho, V_{AA}, \dots)$$

Для винтомотор-й группы тяга существует
ограничение зависящее от плотности воздуха, вы-
соты полета

$$M = \frac{V}{V_{AA}}$$

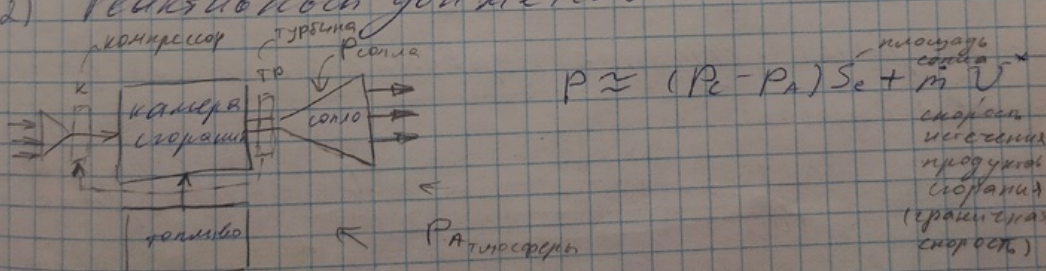
§ 7

Винтомоторные группы, т.е. тяга винтомоторной группы

$$1) P = \frac{75 N \cdot \eta}{V_{AA}}$$

— производительность винтомоторной группы

2) Реактивная тяга винтомотора



производительность
реактивной
группы

Еще добавим:

компрессор создает необходимый поток воздуха,
этот поток винтомотора может вырабатываться из имеющихся
винтомоторов (+ добавленной турбины)

$$P = f(V, H, \rho, \dots)$$

Чтобы придать ракете определенную скорость, к ней должна быть приложена сила тяги P (рис. 12), возникающая при истечении газов из сопла двигателя.

Кроме того, на ракету действует сила земного притяжения.

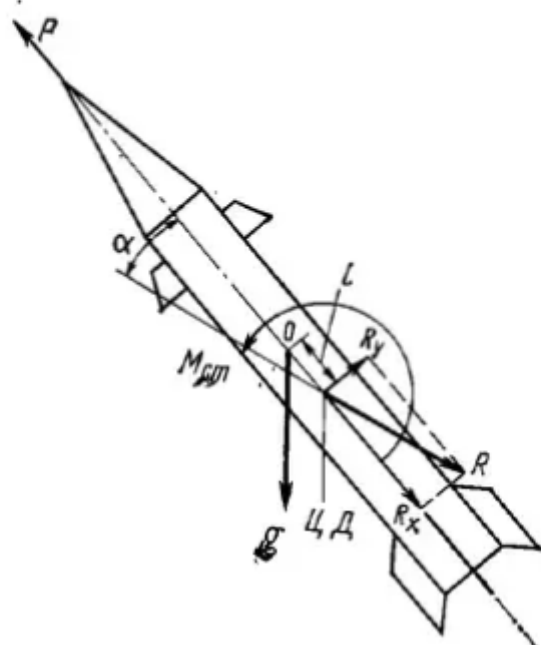


Рис. 12. Силы и моменты, действующие на ракету в полете:

R — полная аэродинамическая сила; P — сила тяги; R_x — сила лобового сопротивления; R_y — подъемная сила; g — сила земного тяготения; $M_{ст}$ — стабилизирующий момент; α — угол атаки; ЦД — центр давления; O — центр масс; l — плечо

Рассмотрим полет ракеты без силы тяги, т. е. пассивный участок ее траектории, когда реактивный двигатель выключен.

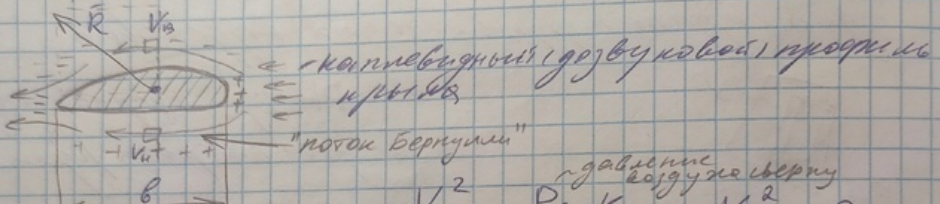
Аэродинамические силы действуют на каждый соприкасающийся с воздушным потоком элемент ракеты. Но для удобства расчетов принимается, что они приложены в центре давления (ЦД).

Если центр давления ракеты не совпадает с ее центром масс (O), а находится позади него, то при отклонении оси ракеты от направления полета возникает восстановливающий стабилизирующий момент $M_{ст}$. При наличии хвостового оперения центр давления сдвигается назад, так как увеличивается площадь ракеты, соприкасающаяся с воздушным потоком в хвостовой части.

7. Аэродинамическая сила R , аэродинамический момент M_r и их проекции на оси систем координат.

Аэродинамическая сила возникает в результате обтекания тела, имеющего форму, симметричную относительно продольной оси

(по теории Михалевского: Если поток, поток можно определить как турбулентный при обтекании тела, имеющего форму, симметричную относительно продольной оси)



$$\frac{V_B^2}{2} + \frac{P_B K}{\rho K - 1} = \frac{V_H^2}{2} + \frac{P_H K}{\rho K - 1}$$

давление
за потоком
вперед течет
для упр. Бернульи

$$V_B > V_H$$

$$P_B < P_H$$

зона разрежения
 $P_H - P_B \rightarrow R$ - аэродинамическая сила

$$\bar{R} = \bar{X} + \bar{Y}$$

- $\bar{R} = \bar{R}_x + \bar{R}_y + \bar{R}_z$ - связанные СК

R_x - продольная сила

R_y - нормальная сила

R_z - поперечная сила

- $\bar{R} = \bar{X} + \bar{Y} + \bar{Z}$ - связанные СК

X - сила лобового сопр-я

Y - подъемная сила

Z - боковая сила

- $\bar{R} = \bar{R}_{\text{крыла}} + \bar{R}_{\text{приложения}} + \bar{R}_{\text{изо}} + \bar{R}_{\text{то}} + \bar{R}_{\text{ненулевом}}$

$$X = C_x \cdot \rho \frac{V^2}{2} S$$

C_x, C_y, C_z - коэф-ты аэродин-к сил

$$Y = C_y \rho \frac{V^2}{2} S$$

ρ - плотность

$$Z = C_z \rho \frac{V^2}{2} S$$

V - скорость потока / скорость кривизны потока

S - площадь проекции кривизны

$$\bar{M}_p = \bar{M}_{R_{kp}} + \bar{M}_{R_{qp}} + \bar{M}_{R_{BO}} + \bar{M}_{R_{FO}} + \bar{M}_{R_{PA}}$$

$$\bar{M}_p = \bar{M}_{pR} + \bar{M}_{pE} + \bar{M}_{pK}$$

\bar{M}_{pR} - мом. волнущ. оси x - момент крена

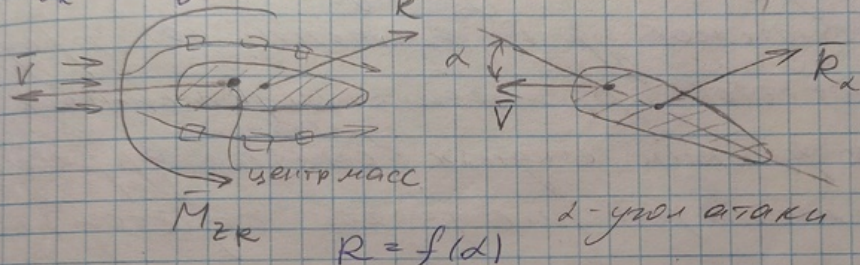
$$\bar{M}_{pR} = m_x \rho \frac{V^2}{2} S l$$

\bar{M}_{pR} - мом. рулев. насажд. m_x, m_y, m_z - котр. моментов

$$M_{pR} = m_y \rho \frac{V^2}{2} S l$$

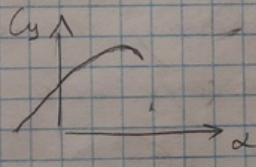
M_{pR} - мом. тангажа

$$M_{pR} = m_z \rho \frac{V^2}{2} S b_0$$

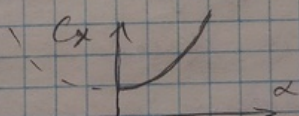


$$\bar{R} = \bar{X} + \bar{Y} + \bar{Z}$$

$$Y = C_y \rho \frac{V^2}{2} S$$



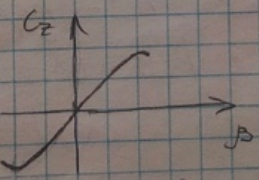
$$X = C_x \rho \frac{V^2}{2} S$$



$$Z = C_z \rho \frac{V^2}{2} S$$

$$C_z = f(\beta)$$

угол склонения



$$m_x = f(\beta, \delta_2, \delta_4, \dots)$$

$$m_y = f(\beta, \delta_4, \delta_6, \delta_8, \dots)$$

$$m_z = f(\alpha, \delta_B, \dots)$$

изм. рулев. газором

$$\begin{cases} F_x = P \cos \varphi_p - X \cos \alpha + X \sin \alpha - G \sin \gamma \\ F_y = P \sin \varphi_p - X \sin \alpha + Y \cos \alpha - G \cos \alpha \cos \gamma \\ F_z = Z + G \cos \gamma \sin \gamma \end{cases}$$

$$\begin{cases} M_x = M_{xR} \\ M_y = M_{yR} - \Delta P_{zP} \\ M_z = M_{zR} - P y_p \cos \varphi_p \end{cases}$$

Аэродинамические сила и момент, величины, характеризующие воздействие газообразной среды на движущееся в ней тело (например, на самолет). Силы давления и трения, действующие на поверхности тела, могут быть приведены к равнодействующей R этих сил, называются аэродинамической силой, и к паре сил с моментом M , называются аэродинамическим моментом. Аэродинамическую силу раскладывают на составляющие в прямоугольной системе координат (рис. 1), связанной либо с вектором скорости тела v (поточная, или скоростная, система координат), либо с самим телом (связанная система). В поточной системе сила, направленная по оси потока в сторону, противоположную направлению движения тела, называется *аэродинамическим сопротивлением* X , перпендикулярная ей и лежащая в вертикальной плоскости — *подъёмной силой* Y , а перпендикулярная к ним обеим — боковой силой Z . В связанной системе координат аналогом первых двух сил являются тангенциальная T и нормальная N силы. Аэродинамический момент играет важную роль в аэродинамическом расчёте летательных аппаратов, определяя их устойчивость и управляемость, и представляется обычно в виде трёх составляющих — проекций на оси координат, связанных с телом (рис. 2): M_x (момент крена), M_y (момент рыскания) и M_z (момент тангажа). Знаки моментов положительны, когда они стремятся повернуть тело соответственно от оси y к оси z , от оси z к оси x , от оси x к оси y . А. с. и м. зависят от формы и размеров тела, скорости его поступательного движения и ориентации к направлению скорости, свойств и состояния среды, в которой происходит движение, а в некоторых случаях и от угловых скоростей вращения и от ускорения движения тела. Определение А. с. для тел различной формы и при всевозможных режимах полёта является одной из главных задач аэродинамики и аэродинамического эксперимента. См. также *Аэродинамические коэффициенты*.

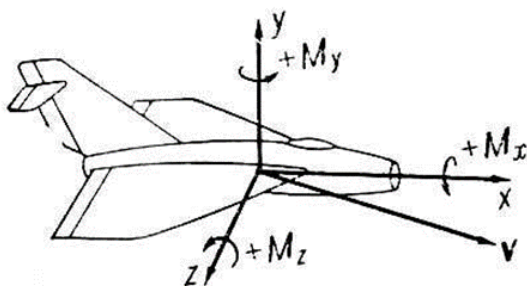


Рис. 2. Проекции аэродинамического момента на оси координат: M_x — момент крена; M_y — момент рыскания; M_z — момент тангажа.

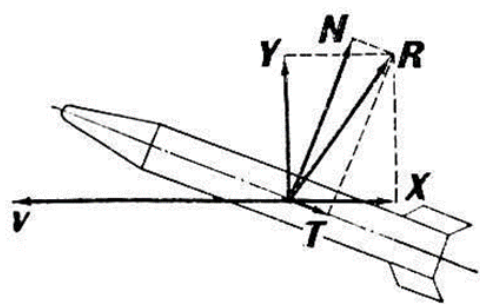


Рис. 1. Разложение аэродинамической силы на составляющие в скоростной системе координат X, Y, Z и в связанной системе T, N, Z ; ось Z на рис. не изображена, она перпендикулярна плоскости чертежа.

8. Система кинематических уравнений, описывающих движения летательных аппаратов.

В лекциях:

При переходе от одной СК к другой исчезают только три направляющие координаты

Первые четыре кинематические уравнения Л. А.

$\bar{\omega} = \dot{\gamma} + \dot{\varphi} + \dot{\psi}$ (чуть Эйнштейна)

окр.ст на борту

$\bar{\omega} = \bar{\omega}_x + \bar{\omega}_y + \bar{\omega}_z$ (одн.супр-е ск-т проявляются)

помимо

$\begin{cases} \omega_x = \dot{\gamma} + \dot{\psi} \sin \dot{\varphi} \\ \omega_y = \dot{\psi} \cos \dot{\varphi} \cos \dot{\gamma} + \dot{\varphi} \sin \dot{\gamma} \\ \omega_z = \dot{\varphi} \cos \dot{\varphi} + \dot{\psi} \cos \dot{\varphi} \cos \dot{\gamma} \end{cases}$

$\bar{V} = \bar{V}_x + \bar{V}_y + \bar{V}_z$

$\begin{cases} V_x = V \cos \alpha \cos \beta \\ V_y = -V \sin \alpha \cos \beta \\ V_z = V \sin \beta \end{cases}$ - угл-я поступ-го движения

$\begin{cases} V_{xg} \\ V_{yg} \\ V_{zg} \end{cases}$ - нач-е в сис автогравит. упр.

Но в семах были ещё такие уравнения, я чего-то хз:

• Кинематич-е ур-я супр-е проекции скорости на оси координат движ-я ск при начальном положении движения Л. А.)

3) $\frac{dH}{dt} = V \sin \theta$ - проекция на $X_0 (X_g)$

4) $\frac{dL}{dt} = V \cdot \cos \theta$ - проекция на $X_0 (X_g)$

1.4. Кинематические соотношения

Кинематические соотношения служат для определения линейных или угловых координат ЛА в зависимости от линейных или угловых скоростей. При изучении движения ЛА вблизи поверхности Земли со скоростями, меньшими первой космической, можно не учитывать орбитальное движение Земли и её вращательное движение. В этом случае стартовую СК $O_0x_cy_cz_c$, где O_0 – точка старта, можно считать инерциальной, т.е. абсолютно неподвижной. При этих допущениях выведем основные кинематические соотношения.

Кинематическое уравнение вращательного движения ЛА в векторной форме:

$$\bar{\omega} = \bar{\psi} + \bar{\vartheta} + \bar{\gamma}. \quad (1.25)$$

Поскольку при вращении ЛА изменяются углы ψ, ϑ, γ , определяющие положение ЛА относительно стартовых осей, вектор угловой скорости ЛА $\bar{\omega}$ относительно этих осей равен геометрической сумме угловых скоростей элементарных поворотов.

Для определения угловых скоростей поворота $\bar{\psi}, \bar{\vartheta}, \bar{\gamma}$ обратимся к рис. 1.7.

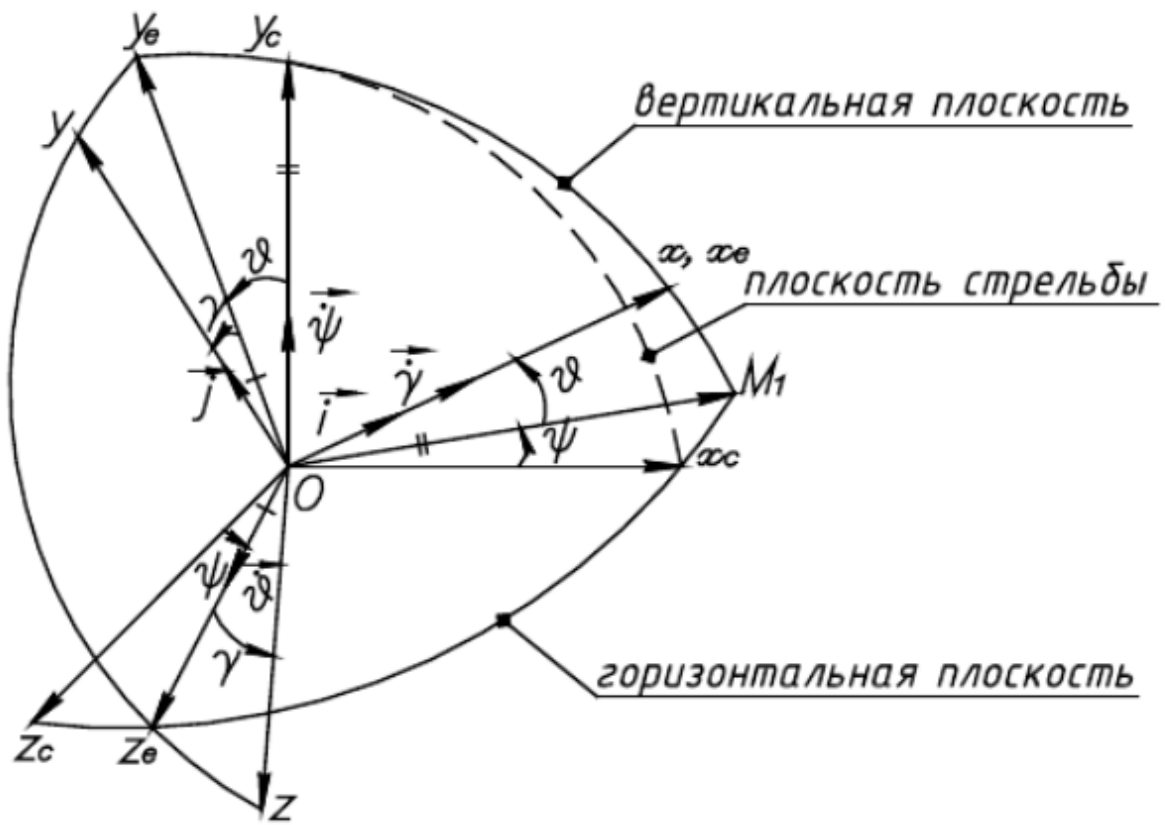


Рис. 1.7. Переход от стартовой СК к связанной

Проектируя равенство (1.25) на оси связанный СК x, y, z (см. рис. 1.7), получим

$$\begin{cases} \omega_x = \dot{\psi} \sin \vartheta + \dot{\gamma}, \\ \omega_y = \dot{\psi} \cos \vartheta \cos \gamma + \dot{\vartheta} \sin \gamma, \\ \omega_z = -\dot{\psi} \cos \vartheta \sin \gamma + \dot{\vartheta} \cos \gamma. \end{cases} \quad (1.26)$$

Из (1.26) найдём $\dot{\psi}, \dot{\vartheta}, \dot{\gamma}$: умножим второе уравнение на $\sin \gamma$, третье – на $\cos \gamma$, затем сложим их:

$$\dot{\vartheta} = \omega_y \sin \gamma + \omega_z \cos \gamma. \quad (1.27)$$

Помножим второе уравнение на $\cos \gamma$, третье – на $\sin \gamma$ и вычтем:

$$\dot{\psi} = \frac{1}{\cos \vartheta} (\omega_y \cos \gamma - \omega_z \sin \gamma). \quad (1.28)$$

Из первого уравнения системы (1.26)

$$\dot{\gamma} = \omega_x - \operatorname{tg} \vartheta (\omega_y \cos \gamma - \omega_z \sin \gamma). \quad (1.29)$$

Считая $\omega_x, \omega_y, \omega_z, \gamma$ малыми величинами, получим

$$\begin{cases} \frac{d\vartheta}{dt} \approx \omega_z \\ \frac{d\psi}{dt} \approx \frac{\omega_y}{\cos \vartheta} \\ \frac{d\gamma}{dt} \approx \omega_x - \omega_y \operatorname{tg} \vartheta \end{cases}. \quad (1.30)$$

9. Система динамических уравнений, описывающих движения летательных аппаратов (при условии $m=\text{const}$).

В лекциях

$$\begin{cases} V_{xg} \\ V_{yg} \\ V_{zg} \end{cases}$$
 - исход в системе отсчета Земли

Ур-динамика движения Л.А.

- \bar{F} - наступ-е гб-е
- \bar{M} - бр-е гб-е

$$\bar{F} = \frac{d\bar{P}}{dt} + \bar{\omega} \times \bar{P}$$

$$\bar{M} = \frac{d\bar{K}}{dt} + \bar{\omega} \times \bar{K}$$

< - Вращ-е. >

$$\bar{K} = \bar{K}_x + \bar{K}_y + \bar{K}_z$$

$$\begin{cases} K_x = J_{xx} \omega_x - J_{xy} \omega_y - J_{xz} \omega_z \\ K_y = J_{yy} \omega_y - J_{xy} \omega_x - J_{yz} \omega_z \\ K_z = J_{zz} \omega_z - J_{xz} \omega_x - J_{yz} \omega_y \end{cases} \Rightarrow 0$$

Х. ОУ-на-п
симметрии

Но в семах были ещё такие уравнения, я чего-то хз:

Ур-с движения Л.А.

- Дополни-е ур-с (прокруч-е сил, действу-
ющих на Л.А., на оси скоростной ск при поступ-
ательном движ-ии):

прокруч-е X :

$$m \frac{dV}{dt} = P \cos(\alpha + \varphi_p) - mg \sin \theta - X$$

прокруч-е ск по Y

$$m V \frac{d\theta}{dt} = P \sin(\alpha + \varphi_p) - mg \cos(\theta) + Y$$

1.6. Вывод уравнений поступательного движения в пространстве

Для вывода уравнений поступательного движения используется уравнение Мещерского:

$$m(t) \frac{d\bar{V}}{dt} = \bar{R} + \bar{F}_A + \bar{G}, \quad (1.43)$$

где \bar{R} – тяга; \bar{F}_A – главный вектор аэродинамических сил; \bar{G} – сила тяжести; $\frac{d\bar{V}}{dt}$ – абсолютное ускорение; \bar{V} – скорость центра масс относительно земли (путевая скорость).

Уравнение (1.43) эквивалентно трём уравнениям в проекциях на оси СК. Чтобы получить эти уравнения, нужно выбрать какую-либо из пяти координатных систем, рассмотренных нами: стартовую, связанную, скоростную, полусвязанную, полускоростную.

При выводе уравнений поступательного движения может использоваться любая из них. Вид уравнений в проекциях будет зависеть от выбора системы координат. Наиболее часто при выводе уравнений поступательного движения используются $Ox_*y_*z_*$ – полускоростная; $Oxyz$ – связанная. В уравнении (1.43) слева стоит полная векторная производная от вектора \bar{V} , а справа – сумма сил.

1.7. Уравнения вращательного движения в пространстве

Для вывода уравнений вращательного движения используется закон момента количества движения:

$$\frac{d\bar{L}_o}{dt} = \bar{M}_R + \bar{M}_F , \quad (1.59)$$

где \bar{L}_o – момент количества движения относительно центра масс (кинетический момент). \bar{M}_R – момент тяги, \bar{M}_F – момент внешних сил, кроме силы тяги. Выражение (1.59) будет иметь смысл, если точка O неподвижна в инерциальном пространстве или является центром масс ЛА.

Векторное уравнение (1.59) запишем в проекциях на связанную СК, которая используется преимущественно при проектировании уравнения (1.59). Но наряду со связанный системой координат в случае осесимметричного ЛА может использоваться полусвязанная (рис. 1.10).

Остальные СК из перечисленных выше при записи уравнений вращательного движения не используются. Связанная СК

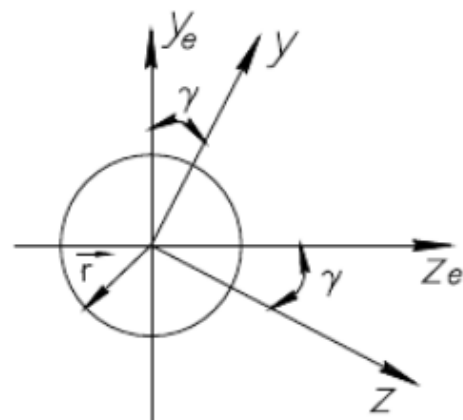


Рис. 1.10. Взаимное расположение связанных и полусвязанных осей

неизменно связана с ЛА, и ее оси при движении ЛА сохраняют относительно него постоянную ориентацию, т.е. связанная система в пространстве вращается с той же угловой скоростью, что и сам ЛА. Таким образом, моменты инерции, которые входят в уравнение вращательного движения, в случае использования связанной СК будут зависеть только от изменения массы, и не будут зависеть от вращения ЛА.

1. *Oxy* – плоскость симметрии (ЛА самолётной схемы). Поскольку основная плоскость *Oxy* связанной СК является плоскостью симметрии ЛА, то в связанных осях центробежные моменты инерции, содержащие координаты z , обращаются в нуль: $J_{xz} = J_{yz} = 0$. Иначе говоря, для самолётной схемы

$$\begin{aligned} L_x &= J_x \omega_x - J_{xy} \omega_y \\ L_y &= J_y \omega_y - J_{yx} \omega_x \\ L_z &= J_z \omega_z \end{aligned} \quad (1.64)$$

причем $J_{xy} \omega_y, J_{yx} \omega_x$ – малые величины и ими часто пренебрегают;

2. *Ox* – ось симметрии. В этом случае все центробежные моменты равны нулю. Если все центробежные моменты инерции относительно осей принятой системы координат равны нулю, то такие оси называются *главными осями инерции*. В этом случае проекции вектора кинетического момента:

$$L_x = J_x \omega_x; L_y = J_y \omega_y; L_z = J_z \omega_z. \quad (1.65)$$

В дальнейшем при выводе уравнений вращательного движения будем использовать именно этот случай.

Отметим, что моменты инерции – это функции времени $J_x, J_y, J_z = f_i(t)$, т.е. являются переменными величинами, однако при проведении приближенных баллистических расчетов принято считать их постоянными. В стадии сдаточных исследований и испытаний

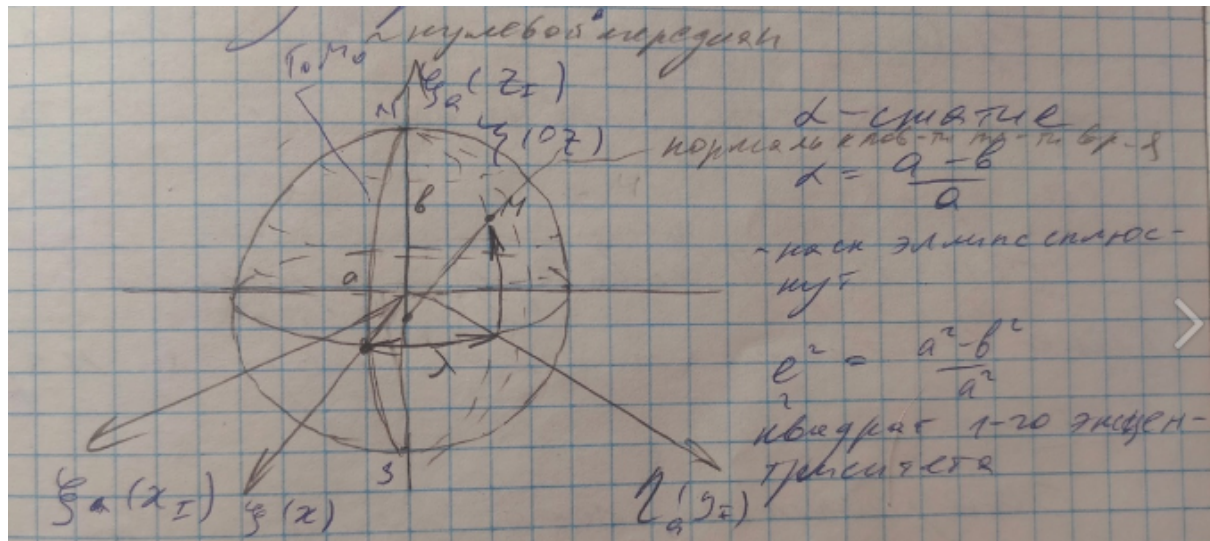
Если угловое движение ЛА стабилизировано ($\bar{\omega}$ – малая величина), тогда $\omega_x, \omega_y, \omega_z$ малы, а значит, произведениями $\omega_y \omega_z (J_z - J_y)$, $\omega_x \omega_z (J_x - J_z)$, $\omega_x \omega_y (J_y - J_x)$ можно пренебречь (для управляемого ЛА).

10. Модель фигуры и форма Земли. Гравитационное поле Земли. Сила тяжести.

Из лекций (вела Шевцова)

Земля имеет форму геоида. Геоид-сложная непрерывная форма, не имеющая математического описания

Эллипсоид вращения:



Центр масс всех планет-барицентр

Плоскость экватора- плоскость, перпендикулярная малой оси и содержащая центр оси

Скорость вращения Земли 15 град/ч

Сила тяжести на поверхности планеты складывается из гравитационного притяжения планеты и центробежной силы инерции

Плоскости, параллельные плоскости экватора, пересекают поверхность эллипсоида вращения по эллипсам, которые называются параллели

Полуэллипсы, соединяющие полюса, называются меридианы

Географическая долгота- по линии меридиана от 0 до 180 граудсов в западном и восточном направлениях (лямбда)

Географическая широта-от плоскости экватора в сторону сев. и юж. полюсов от 0 до 90 градусов (фи)

В качестве модели формы Земли используют сферу. Подбирают сферу с одинаковым объёмом или площадью поверхности с эллипсоидом вращения

В некоторых приближениях (на маленьких расстояниях) Земля-плоскость

Π — потенциал гравитации
 Π — поле гравитации

$$\frac{\partial \Pi}{\partial r} = g_r$$

$\Pi = g = \frac{g_{\infty} \cdot \alpha^2}{(a + b)^2} (1 + \beta \sin^2 \varphi)$
ускорение силы гравитации
центробежная

β — коэффициент扁平化 $F_{\text{扁}}$ не является
 по отношению к экватору

$$\beta = \frac{g_r - g_{\infty}}{g_{\infty}}$$

Из файла

Земля представляет собой тело сложной формы. Вследствии своего вращения форма Земли есть сплющененный сфероид, у которого расстояние между полюсами меньше диаметра экватора. Это обстоятельство вместе с другими отклонениями формы Земли от сферической и неравномерное распределение масс внутри Земли затрудняют определение по величине и направлению силы притяжения Земли, действующей на ЛА.

Наиболее простой и наименее точной моделью фигуры Земли является шар радиуса 6371,1 км, приблизительно равный Земле по объему.

следующим приближением к реальной фигуре Земли, является тело, поверхность которого ограничена сплюснутым эллипсоидом вращения (получающимся вращением эллипса вокруг малой оси).

в качестве следующего приближения к реальной поверхности Земли принимается геоид — гипотетическая поверхность уровня потенциала силы тяжести, приблизительно совпадающая с поверхностью спокойных океанов и мысленно продолжающаяся на части Земли, занятые материками. Так как направление силы тяжести зависит от притягивающего действия неравномерно распределенных внутри Земли масс, то поверхность геоида является весьма сложной и не может быть описана достаточно просто математически. Таким образом геоид наиболее сложная модель, но зато и наиболее близко подходящая к реальной Земле.

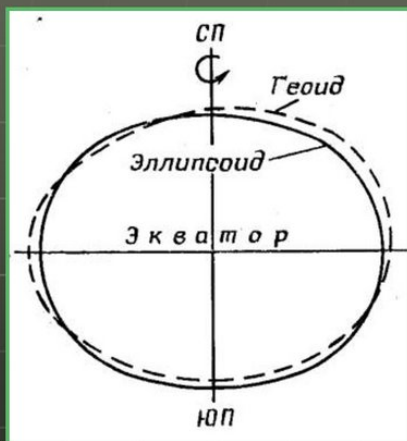
Гравитационное поле Земли — поле силы тяжести, обусловленное тяготением Земли и центробежной силой, вызванной её суточным вращением. Характеризуется пространственным распределением силы тяжести и гравитационного потенциала.

Сила тяжести — сила, действующая на любое материальное тело, находящееся вблизи поверхности Земли или другого астрономического тела.

По определению, сила тяжести на поверхности планеты складывается из гравитационного притяжения планеты и центробежной силы инерции, вызванной суточным вращением планеты

ЗЕМНОЙ ЭЛЛИПСОИД

Наилучшее геометрическое приближение к фигуре Земли дает **ЭЛЛИПСОИД ВРАЩЕНИЯ** – тело, которое образуется при вращении эллипса вокруг его малой оси

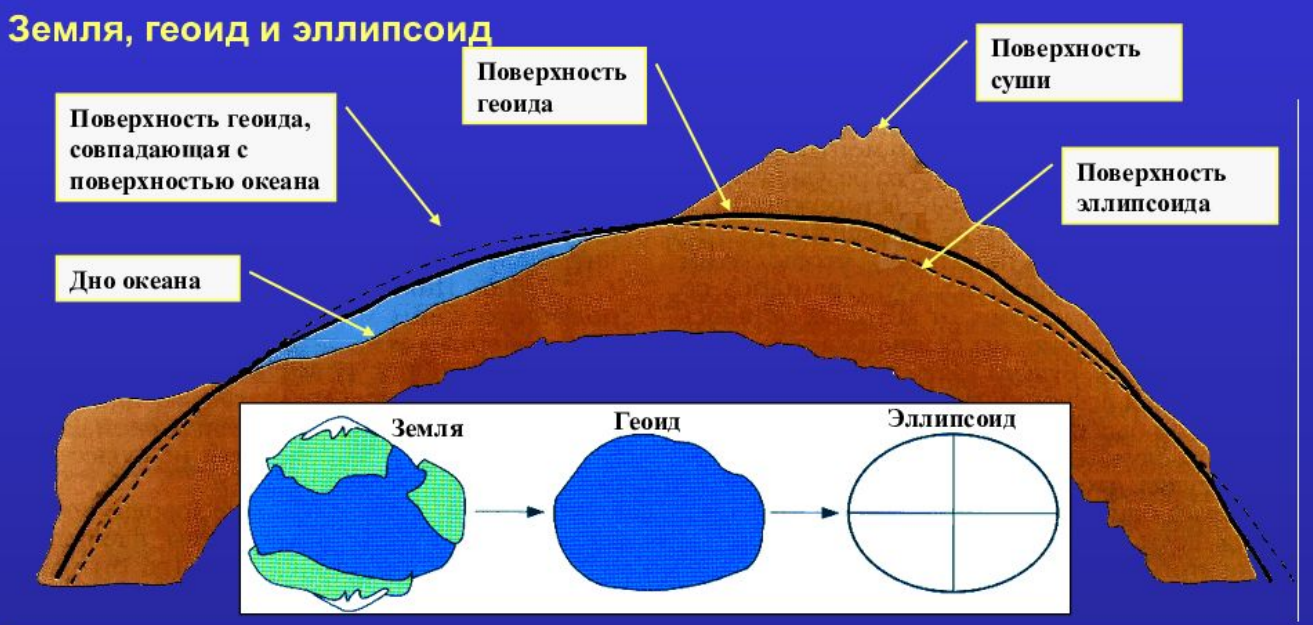


Общеземной эллипсоид – **эллипсоид**, наилучшим образом согласующийся с поверхностью **геоида** в целом.

Требования к общеземному эллипсоиду:

- 1) Центр должен совпадать с центром масс Земли
- 2) Плоскость экватора и малая ось его должны совпадать соответственно с плоскостью экватора и осью вращения Земли
- 3) Объем его должен быть равен объему геоида

Земля, геоид и эллипсоид



- ✓ **Земля** не обладает формой идеального шара: форма грушевидная, сплюснутая у полюсов, с обширными выпуклостями и вогнутостями, включая поверхность суши и дно океанов.
- ✓ **Геоид** – сложная фигура Земли, ограниченная уровенной поверхностью океана (в состоянии покоя и равновесия). Иначе говоря, это фигура Земли, сглаженная до среднего уровня Мирового океана.
- ✓ **Эллипсоид вращения** – геометрическое тело, образующееся при вращении эллипса вокруг его малой оси, дает наилучшее геометрическое приближение к геоиду

Наиболее точной моделью фигуры Земли считают геоид — гипотетическую поверхность уровня потенциала силы тяжести, приблизительно совпадающую со средним уровнем воды в океанах, а на материках — с уровнем воды в воображаемых узких каналах, сообщающихся с океаном. Геоид имеет сложную неправильную форму, обусловленную распределением масс в земной коре и на поверхности Земли. В каждой точке геоида нормаль к его поверхности совпадает с направлением силы тяжести, т. е. равнодействующей сил тяготения и центробежной силы от вращения Земли.

Следующее приближение к реальной фигуре Земли — тело, поверхность которого ограничена сплюснутым эллипсоидом вращения (рис. 3). Малая полуось (полярная) $b \approx 6\ 356\ 799$ м, а большая полуось (экваториальная) $a \approx 6\ 378\ 164$ м. Направление малой полуоси совпадает с направлением оси суточного вращения Земли.

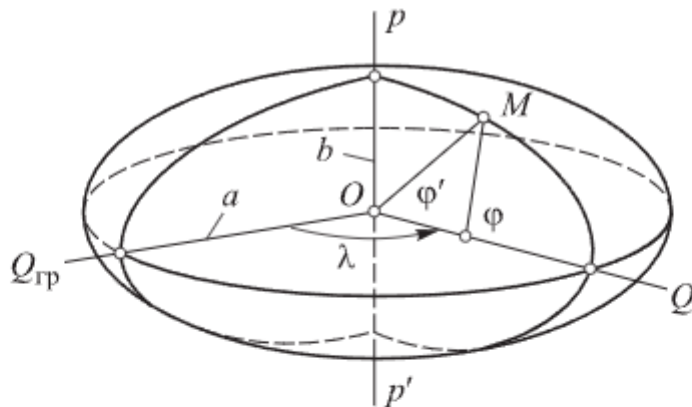


Рис. 3. Модель фигуры Земли в виде эллипсоида вращения

Более простая и менее точная модель Земли — шар ($R \approx 6371,1$ км), его объем приблизительно равен объему Земли. В ряде случаев, когда исследуют траектории полета ЛА небольшой протяженности ($L \leq 600 \dots 900$ км) или траектории ЛА со скоростями полета меньше первой космической ($V \leq 7,9$ км/с), допу-

стимо не учитывать кривизну Земли и считать ее поверхность плоской, вращением Земли пренебречь.

Модели фигуры Земли тесно связаны с моделью ее гравитационного поля. По закону всемирного тяготения, частица массы $m_{\text{ЛА}}$ притягивает частицу массы M_{\oplus} с силой, действующей по прямой, соединяющей частицы, прямо пропорциональной произведению их масс и обратно пропорциональной квадрату расстояния между ним:

$$\bar{F} = -\gamma \frac{M_{\oplus} m}{r^2} \frac{\bar{r}}{r},$$

где $\gamma = 6,674 \cdot 10^{-11} \text{ Н}\cdot\text{м}^2$ — гравитационная постоянная, поле тяготения является центральным; $M_{\oplus} \approx 5,9736 \cdot 10^{24} \text{ кг}$ — масса Земли; \bar{r} — радиус-вектор, соединяющий центр Земли с ЛА.

Для решения практических задач используют напряженность гравитационного поля, которая обычно представляется в виде ускорения свободного падения

$$g_r = \gamma \frac{M_{\oplus}}{r^2}.$$

При полете в атмосфере Земли ЛА участвует в ее суточном вращении с угловой скоростью $\Omega = 15$ град/ч (один оборот за сутки) и, таким образом, оказывается в неинерциальной системе отсчета. Для дальнейшей оценки необходимо учесть центробежную силу инерции, действующую на ЛА в направлении от оси вращения Земли:

$$F_{\text{ц}} = m_{\text{ЛА}} \Omega^2 r \cos \varphi \quad (\text{для сферической модели Земли}),$$

поэтому на экваторе она будет максимальной, а на полюсе — отсутствовать. Сумма центробежной и гравитационной сил в результате дают силу тяжести G (рис. 4).

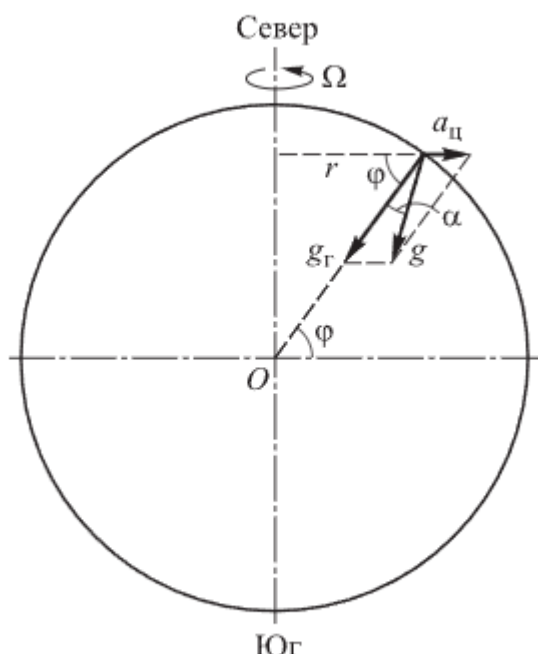


Рис. 4. Формирование центробежного ускорения $a_{\text{ц}}$

При полете ЛА над «плоской» Землей ее гравитационное поле принимают однородным и плоскопараллельным. В этом случае ускорение силы тяжести не зависит от высоты полета ЛА и широты места, оно направлено по нормали к поверхности. Значение $g = 9,81 \text{ м/с}^2$ принимают для среднего радиуса Земли R без учета центробежной составляющей.

11. Системы координат используемые для описания движения летательного аппарата.

Группы ск

Земные

- 1) геоцентрическая экваториальная инерциальная
- 2) геоцентрическая экваториальная
- 3) нормальная земная
- 4) стартовая

Связанные

- 1) связанная
- 2) скоростная
- 3) нормально-связанная
- 4) траекторная
- 5) орбитально объектоцентрическая

2. Инерциальная система координат	$O_{ii}X_{ii}Y_{ii}Z_{ii}$	Правая прямоугольная декартова система координат, начало O_{ii} которой помещено в некоторой точке пространства, либо перемещается с постоянной скоростью, а направление осей относительно звезд неизменно
3. Земная система координат	$O_oX_oY_oZ_o$	Правая прямоугольная декартова система координат, начало O_o и оси которой фиксированы по отношению к Земле и выбираются в соответствии с задачей
4. Нормальная земная система координат	$O_oX_gY_gZ_g$	Земная система координат, ось которой O_oY_g направлена вверх по местной вертикали, а направление осей OX_g и OZ_g выбирается в соответствии с задачей

Под местной вертикалью понимают прямую, совпадающую с направлением силы тяжести в рассматриваемой точке

5. Стартовая система координат	$O_oX_cY_cZ_c$	Земная система координат, начало которой O_o совпадает с характерной точкой летательного аппарата в начальный момент движения, ось O_oY_c направлена вверх по местной вертикали, а направление осей O_oX_c и O_oZ_c выбирается в соответствии с задачей
ПОДВИЖНЫЕ СИСТЕМЫ КООРДИНАТ		
6. Подвижная система координат		Правая прямоугольная декартова система координат, начало которой O помещено на летательном аппарате, обычно в центре масс, а направление осей выбирается в соответствии с задачей
7. Ориентированная подвижная система координат	$OX_nY_nZ_n$	Подвижная система координат, направление осей которой относительно звезд неизменно
8. Земная подвижная система координат	$OX_oY_oZ_o$	Подвижная система координат, оси которой направлены так же, как и соответствующие оси земной системы координат
9. Нормальная система координат	$OX_gY_gZ_g$	Подвижная система координат, ось которой OY_g направлена вверх по местной вертикали, а направление осей OX_g и OZ_g выбирается в соответствии с задачей
10. Связанная система координат	$OXYZ$	Подвижная система координат, осями которой являются продольная ось OX (п. 11), нормальная ось OY (п. 12) и поперечная ось OZ (п. 13), фиксированные относительно летательного аппарата
11. Продольная ось	OX	Ось связанный системы координат, расположенная в плоскости симметрии летательного аппарата или в плоскости, параллельной ей, если начало координат O помещено вне плоскости симметрии, и направленная от хвостовой к носовой части летательного аппарата
12. Нормальная ось	OY	Ось связанный системы координат, расположенная в плоскости симметрии летательного аппарата или в плоскости, параллельной ей, если начало координат O помещено вне плоскости симметрии, и направленная к верхней части летательного аппарата или части, условно ей соответствующей
13. Поперечная ось	OZ	Ось связанный системы координат, перпендикулярная плоскости симметрии летательного аппарата и направленная к правой части летательного аппарата или части, условно ей соответствующей

14. Полусвязанная система координат	$OX_eY_eZ_e$	Подвижная система координат, ось которой OX_e совпадает с проекцией скорости летательного аппарата \vec{V} (п. 35) на плоскость OXY связанной системы координат, ось OY_e — с осью подъемной силы OY_a (п. 18), а ось OZ_e — с поперечной осью
15. Связанная с пространственным углом атаки система координат	$OX_pY_pZ_p$	Подвижная система координат, ось OX_p которой совпадает с продольной осью, а ось OY_p лежит в плоскости, образованной продольной осью и направлением скорости летательного аппарата \vec{V} (п. 35), и направлена противоположно проекции скорости на плоскость, перпендикулярную продольной оси
16. Скоростная система координат		Подвижная система координат, ось OX которой совпадает с направлением скорости летательного аппарата (п. 35), а ось OY лежит в плоскости симметрии летательного аппарата или в плоскости, параллельной ей, если начало координат O помещено вне плоскости симметрии, и направлена к верхней части летательного аппарата или части, условно ей соответствующей
17. Скоростная ось		Ось скоростной системы координат, совпадающая с направлением скорости летательного аппарата \vec{V} (п. 35)
18. Ось подъемной силы		Ось скоростной системы координат в плоскости симметрии летательного аппарата или в плоскости, параллельной ей, если начало координат O помещено вне плоскости симметрии, и направлена к верхней части летательного аппарата или части, условно ей соответствующей
19. Боковая ось	OZ_a	Ось, которая в совокупности со скоростной осью и осью подъемной силы составляет скоростную систему координат
20. Траекторная система координат	$OX_kY_kZ_k$	Подвижная система координат, ось которой OX_k совпадает с направлением земной скорости \vec{V}_k (п. 37), ось OY_k лежит в вертикальной плоскости, проходящей через ось OX_k , и направлена обычно вверх от поверхности Земли

снизу альфа - угол атаки, бэта - угол скольжения, OXYZ - связанная СК, OXaYaZa - скоростная СК, Vхоу - проекция вектора скорости V на базовую плоскость самолета.

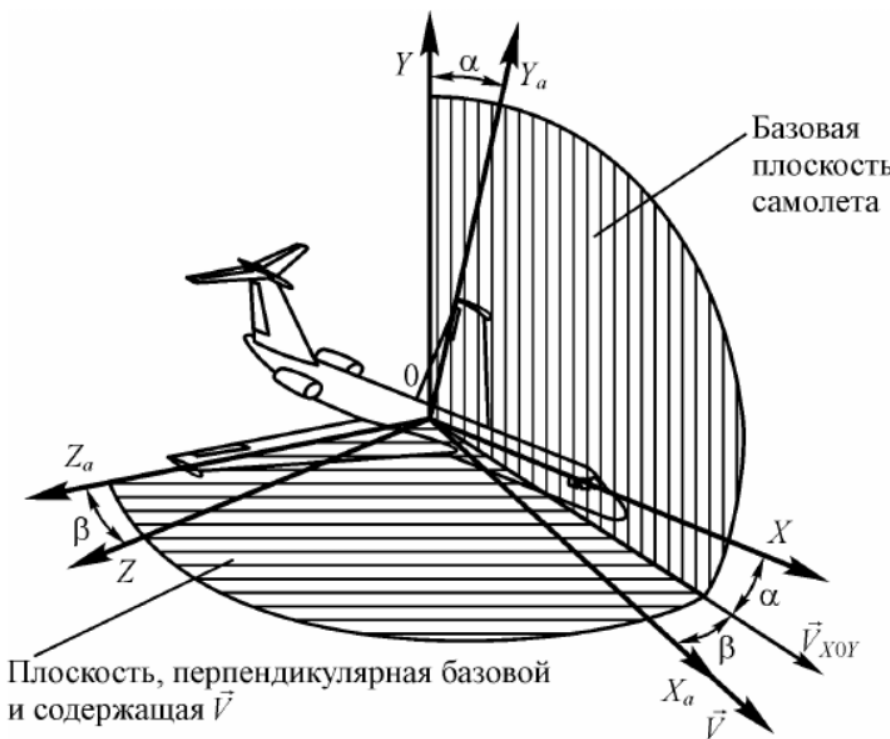


Рис. 19. Скоростная система координат

Ниже уже про рисунок 20

ризонтально. Угол между осью $0X_g$ и проекцией оси $0X$ на горизонтальную плоскость X_g0Z_g называется углом риска и обозначается ψ . Угол между продольной осью $0X$ и горизонтальной плоскостью X_g0Z_g называется углом тангла и обозначается θ . Угол между поперечной осью $0Z$ и горизонтальной плоскостью X_g0Z_g называется углом крена и обозначается γ .

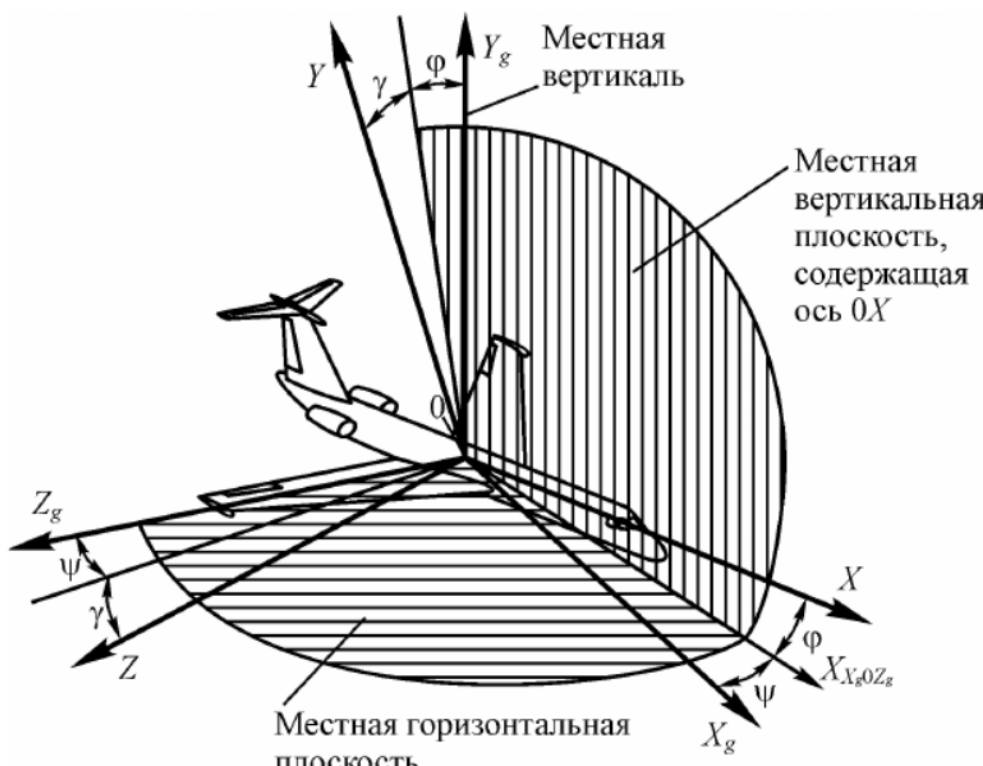


Рис. 20. Нормальная система координат

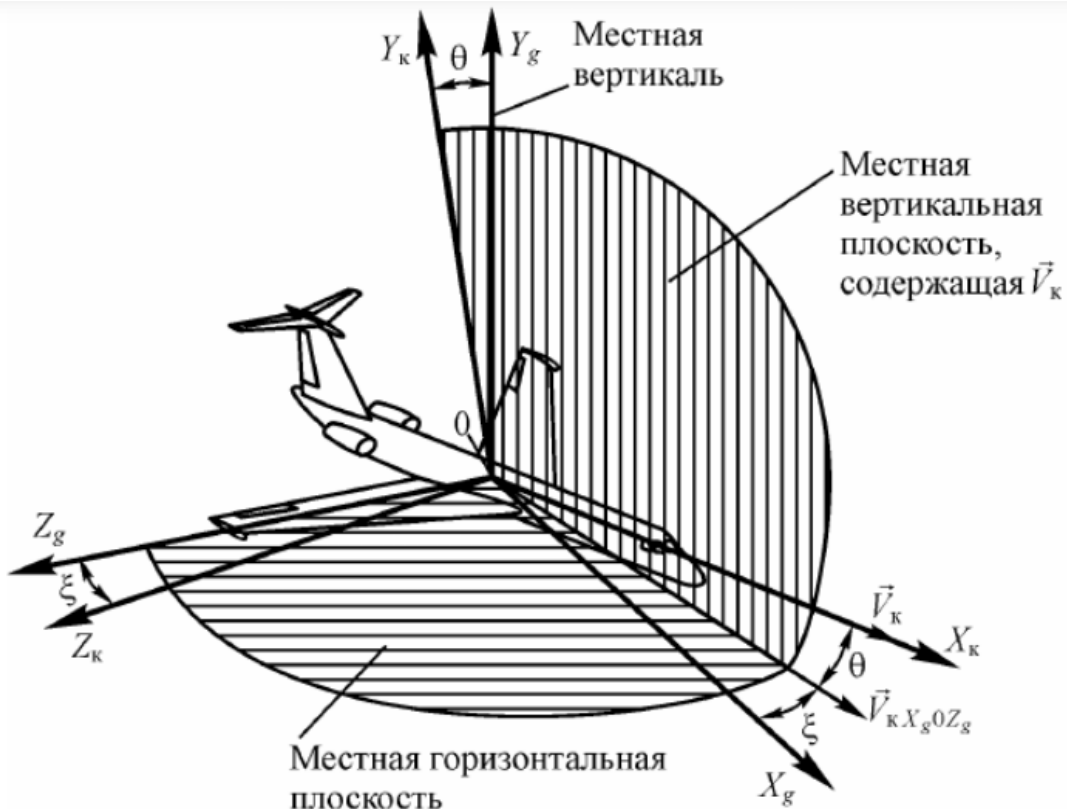


Рис. 21. Траекторная система координат

Углом пути ξ называется угол между проекцией вектора \vec{V}_k на горизонтальную плоскость $X_g 0 Z_g$ и осью $0X_g$. Угол наклона траектории θ – это угол между вектором земной скорости \vec{V}_k и местной горизонтальной плоскостью $X_g 0 Z_g$.

СК

В силовом

1) геодезическая экваториальная СК Ox_1, y_1, z_1

- наголо совпадает с устройством Земли
- Ox_1 направление в.п. в единичном векторе
- Oy_1 дополнение до прямой тройки Ox_1, Oy_1, Oz_1 по оси вращения Земли (восточное геодезическое)
- Oz_1 (имеет значение геодезическое)

(имеет значение геодезическое)

2) геодезическая экваториальная СК Ox_2, y_2, z_2 (вращающаяся)

- наголо совпадает с устройством Земли
- Ox_2 на пересечении гравитационного перпендикуляра (вертикального) и экватора
- Oy_2 дополнение до прямой оси
- Oz_2 вдоль оси вращения в северном полушарии

вертикальный
север

3) нормальная линия СК Ox_3, y_3, z_3

- наголо совпадает с Oz на линии действия сил притяжения гравитации Земли
- Ox_3 вектором из притяжения гравитации Земли (действует на север по направлению к центру Земли)
- Oy_3 вдоль линии вертикали вверх
- Oz_3 дополнение до прямой тройки

вертикальный
север

4) Сторожовая СК Ox_{4s}, y_{4s}, z_{4s}

- наголо совпадает с направлением движения ПА
- Ox_{4s} направление в сторону прямолинейного движения ПА
- Oy_{4s} вдоль вдоль линии вертикали
- Oz_{4s} дополнение до прямой тройки

вдоль
вертикальной

Связанное

1) связанные СК Ox_1, y_1, z

- наголо привязано к устройству ПА
- Ox связывает квазивекторную и векторную части ПА (в единичном векторе v , направление прямолинейного движения)
- Oy дополнение до прямой тройки (в единичном)
- Oz линия вдоль прямого привязки

правильной

2) нормальная связанные СК Ox_1, y_1, z_2

- наголо привязано к устройству ПА
- Ox_1 направление в прямолинейном направлении движения, линия в единичном
- Oy_2 направление вверх линия вертикали
- Oz_2 дополнение до прямой тройки

вертикальный
север

3) скоростная СК Ox_1, y_1, z_2

- наголо — " —
- Ox_1 определяется вектором воздушной скорости v
- Oy_1 в векторной единице ПА
- Oz_2 дополнение до прямой тройки

воздушной
скорости

4) присторонняя СК Ox_{4s}, y_{4s}, z_{4s} (символ скорости и норм-е СК)

- наголо — " —
- Ox_4 определяется вектором линии спроски v_k
- Oy_4 в вертикальном пл-ти, направление вверх
- Oz_4 дополнение до прямой тройки

вектором
спроски

5) орбитальная обтекаемая геодезическая СК Ox_1, y_1

- наголо — " —

орбита
центра Земли

вектор
ветра

$$V_k = V + W$$

вектор
ветра

12. Общая формулировка задачи наведения, этапы решения задачи наведения летательных аппаратов.

ЛА-объект или устройство, которое может подниматься над поверхностью земли (которое может преодолеть силу тяжести)

Наведение-управление полетом ЛА(движением),обеспечивающее его вывод в заданную точку пространства или определенное место на поверхности Земли

Управление-упорядочивание системы с точки зрения того, кто управляет движением

Навигация-процесс определения текущего местоположения в пространстве

Общая задача наведения заключается в выводе ЛА в заданную точку пространства в заданный момент времени с заданной скоростью и направлением по ранее установленной или оперативно выбранной пространственно-временной траектории

Любой ЛА является транспортным средством, предназначенным для достижения определенных целей в навигации. Для решения основной задачи наведения необходимо отыскать удовлетворяющее этому вариант управления (нахождение функции управления). Функция управления после того, как ее выбрали, является формализованным описанием достижения цели.

Выбор конкретной траектории и конкретного варианта управления при достижении целей зависит от "критерия эффективности", который обычно является дополнительным при достижении целей.

Каждому варианту траектории соответствует определенный критерий качества управления, который необходимо выразить в численном виде для возможного сравнения критериев качества между собой $I=F(U,X)$ (X -вектор переменных состояний(содержит параметры координат), U -вектор функций управления)

Обычно в практических расчетах необходимо получить максимальную выгоду, те на практике расходы сводятся к минимуму

После определения наилучшего критерия качества может быть определено программное управление для всей траектории движения, которая в этом случае тоже будет программой

Программная траектория-это, к сожалению, траектория, по которой ЛА никогда не летает. Связано это с тем, что на практике движение ЛА подвержено случайным воздействиям, поэтому обычно существует ошибка наведения, для компенсации этой ошибки вводится корректирующее управление. В идеале его надо было бы выбрать так, чтобы оно зависело от вектора случайных воздействий, но на практике это невозможно. Поэтому корректирующее управление выбирается на основании ошибки наведения

Двухэтапное наведение:

- 1) рассчитывают программную траекторию, которая обеспечивает достижение заданной цели с минимальными затратами (I)
- 2) определяют механизм, обеспечивающий при заданном ресурсе максимально возможную точность достижения цели

13. Ограничения, накладываемые на движение летательных аппаратов. Понятие перегрузки. Влияние различных перегрузок.

Лекции:

Перегрузка —

1. это избыточное нагружение
2. безразмерное отношение геометрической суммы всех действующих на объект сил, за исключением силы тяжести, к силе тяжести

$$\bar{n} = \frac{\sum \bar{F} - \bar{G}}{|\bar{G}|} \quad - \text{перегрузка}$$

Вообще, перегрузку раскладывают вдоль осей связанной СК:

$$\bar{n} = \bar{x}^0 n_X + \bar{y}^0 n_Y + \bar{z}^0 n_Z,$$

$n = \bar{n}_x + \bar{n}_y + \bar{n}_z$

На АА общко действуют:

\bar{R} ; \bar{G} ; \bar{P}

аэродин. сила

сила тяжести

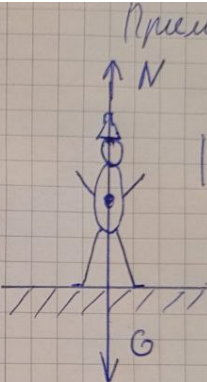
Составляющие перегрузки

$$n_X = \frac{P \cos \varphi_p - X \cos \alpha + Y \sin \alpha}{mg}$$

$$n_Y = \frac{P \sin \varphi_p + X \sin \alpha + Y \cos \alpha}{mg}$$

$$n_Z = \frac{Z}{mg}$$

Пример:



$$|N| = |G|$$

$n_X = 0$

$n_Y = 1$ - нормальная перегрузка

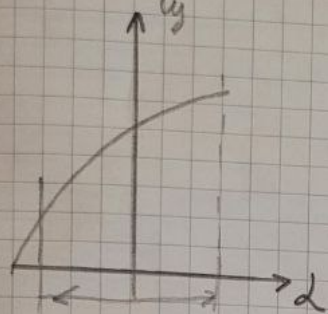
$n_Z = 0$

Приращение:

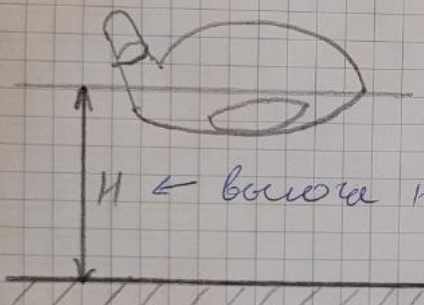
$$\Delta n_Y = n_Y - 1$$

Ограничение А

1) (Аэродинамическими и прочностными ограничениями) Параметры:

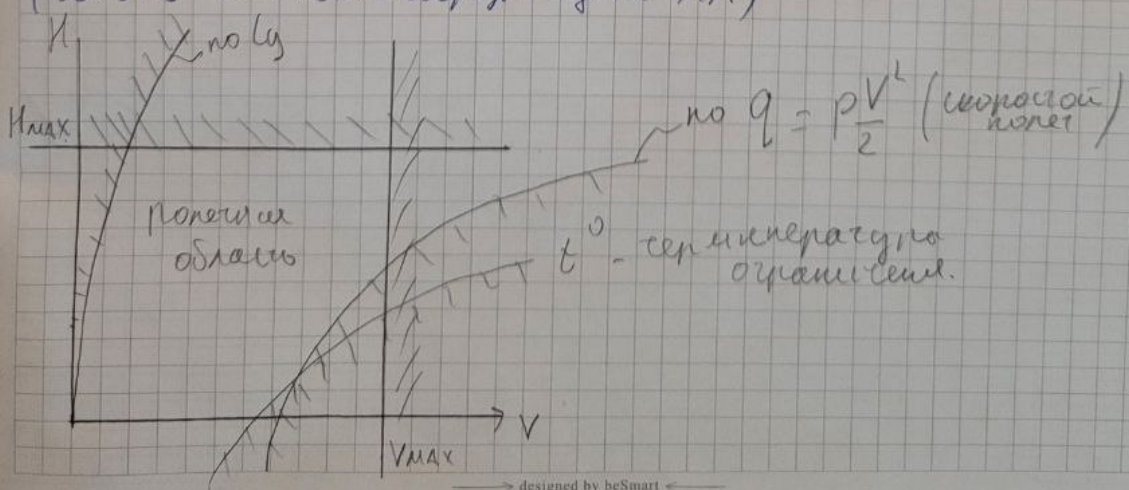


2) Ограничение определено спецификацией требований к выполнению заданной программы полета.



И ← Вид на коконе может нести самолет

3) Параметры опред. физическими ограничениями (также для неизолирующихся АА)



Из файла(дополнение):

Перегрузка разрушает конструкции, обычно $n_{\text{раз}} = 1,5n_{\text{экс}}$. Она негативно влияет на самочувствие и работоспособность человека, и ее влияние существенно зависит от длительности воздействия. Влияние перегрузки разных знаков и направлений на организм различно. При наличии пассажиров на борту ограничения на допустимую перегрузку в 2–3 раза жестче (рис. 5).

Полетная область ЛА в параметрических координатах $M-H$ определяется ограничениями (рис. 6).

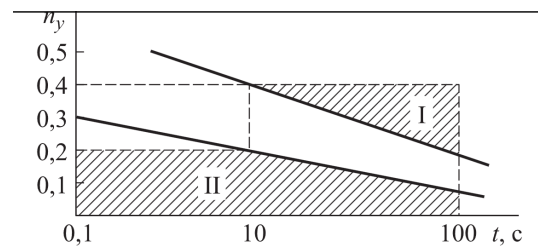


Рис. 5. Влияние нормальной перегрузки n_y на человека:

I — недопустимое; II — удовлетворительное

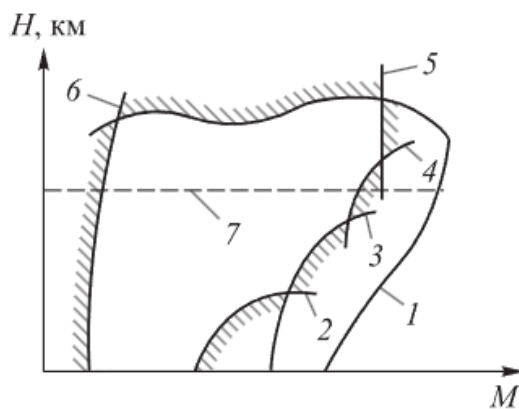


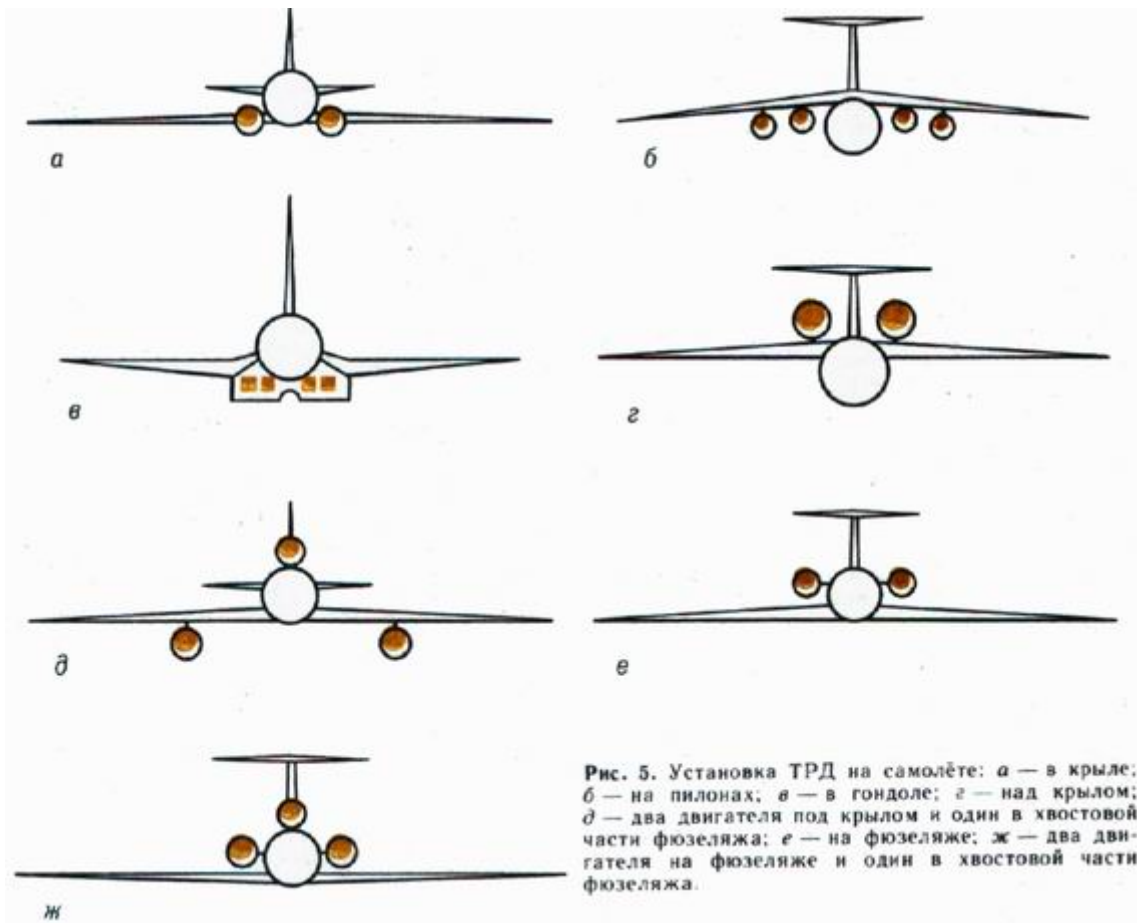
Рис. 6. Ограничения полетной области ЛА:

1 — из условия равенства потребных и располагаемых тяг; 2 — скорости по недопустимым перегрузкам при полете в неспокойном воздухе; 3 — скорости по максимально допустимому скоростному напору q_{max} ; 4 — скорости по недопустимому нагреву конструкций ЛА; 5 — по числу M полета, по условиям статической и динамической прочности ЛА и двигателя, устойчивости, управляемости и балансировки; 6 — по допустимой подъемной силе Y ; 7 — $H = 11$

79. Перегрузка	\vec{n}	Отношение результирующей силы \vec{R} к произведению массы летательного аппарата m на ускорение свободного падения g	При определении перегрузки для условий разбега при взлете и приземления следует дополнительно учитывать силы реакции Земли
80. Продольная перегрузка	n_x	Отношение продольной силы R_x к произведению массы летательного аппарата m на ускорение свободного падения g	$n_x = \frac{R_x}{mg}$
81. Нормальная перегрузка	n_y	Отношение нормальной силы R_y к произведению массы летательного аппарата m на ускорение свободного падения g	$n_y = \frac{R_y}{mg}$
82. Поперечная перегрузка	n_z	Отношение поперечной силы R_z к произведению массы летательного аппарата m на ускорение свободного падения g	$n_z = \frac{R_z}{mg}$
83. Тангенциальная перегрузка	n_{x_a}	Отношение тангенциальной силы R_{x_a} к произведению массы летательного аппарата m на ускорение свободного падения g	$n_{x_a} = \frac{R_{x_a}}{mg}$
84. Нормальная скоростная перегрузка	n_{y_a}	Отношение подъемной силы R_{y_a} к произведению массы летательного аппарата m на ускорение свободного падения g	$n_{y_a} = \frac{R_{y_a}}{mg}$
85. Боковая перегрузка	n_{z_a}	Отношение боковой силы R_{z_a} к произведению массы летательного аппарата m на ускорение свободного падения g	$n_{z_a} = \frac{R_{z_a}}{mg}$

14. Типы двигателей летательных аппаратов. Сила и момент тяги, действующие на летательный аппарат в полете.

м) по расположению двигателей:



трд - турбореактивный двигатель

Сила и момент действующие на
IA в полете

Суммарная сила тягача! \vec{G}
(присоединяется к центру тяжести)

Сила тяги: $\vec{P} (\bar{M}_p)$

Аэродинамическая сила: $\vec{R} (\bar{M}_R)$

\bar{M}_p -реактивный момент (связан с
изменением гравитации)

$$\vec{G} = \vec{F}_{\text{турб}} + \vec{F}_s$$

сила гравитации дополнительная сила

$$\vec{G} = \vec{G}_x + \vec{G}_y + \vec{G}_z$$

$$G_x = -G \sin \theta$$

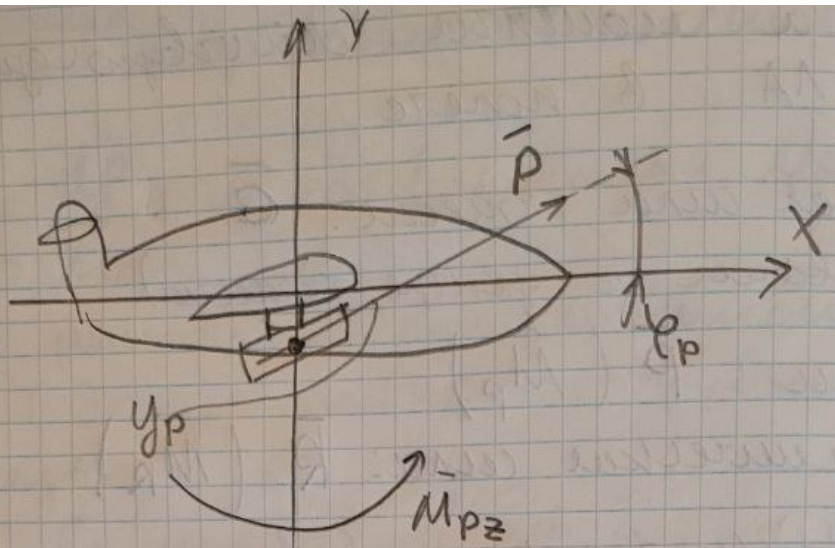
$$G_y = -G \cos \theta \cos \varphi$$

$$G_z = G \cos \theta \sin \varphi$$

Сила тяги и момент силы тяги

$$\vec{P} = \sum \vec{p}_i \quad \bar{M}_p = \sum \bar{M}_{p_i}$$

$$\vec{P} = \vec{P}_x + \vec{P}_y + \vec{P}_z$$



$$P_x = P \cdot \cos \varphi_p$$

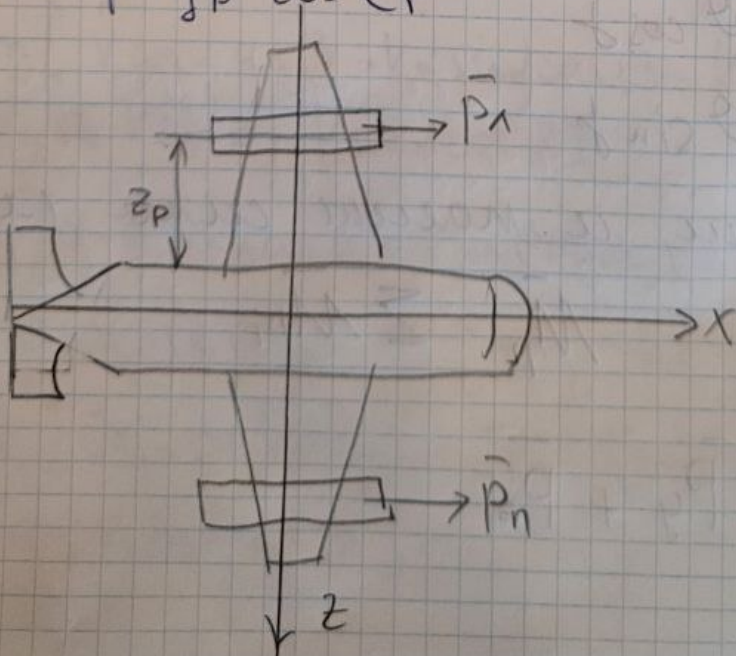
$$P_y = P \cdot \sin \varphi_p$$

$$P_z \approx 0$$

$$M_{px} = 0$$

$$P_0 M_{ps} > (P_n - P_1) z_p \quad , \text{t.k. } P_n \neq P_1$$

$$M_{p_z} = P \cdot y_p \cdot \cos \varphi_p$$



Ваше здраво от него зависит тут

$$P = f(\dots)$$

Вариант соединения тут:

1) Использование венти-моторной группы
(воздушный винт + мотор)

2) Использование реактивных образований

• Для 1) (венти-моторной группы) тут существует
некий образец зависящий от плотности воздуха
(от которого полета) $P(H)$

Еще можно регулировать скорость вращения
(за счет образования внешн. скорости,
т.е. парашитом S_{CT} (парашют склона газа))

$$P = f(\underbrace{P(H), S_{CT}, V_{IA}}_{\text{основные скорости}}, \dots)$$

$$P \approx \frac{75 \cdot N \cdot n}{V_{IA}} \sim \text{исследовательская формула}$$

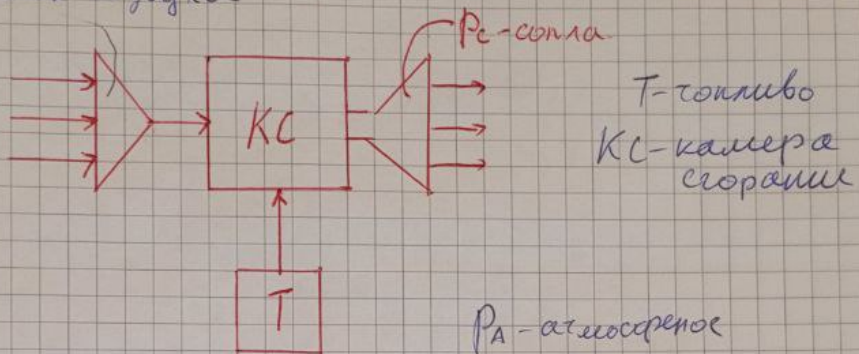
для венти-моторной группы.

$$P = f(V, H, \text{скорость}, \dots); H \sim P \rightarrow \{ \text{близкое} \} P_A$$

- Рекомендует двигатель (наиболее распространённое)

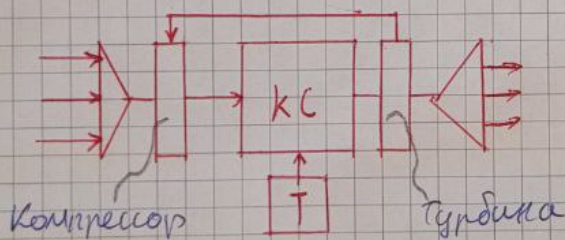
поток воздуха

1) Примитивный рект. двигатель

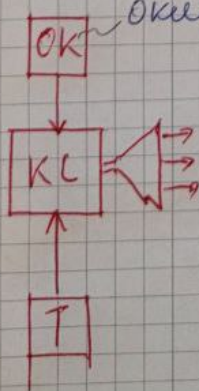


$$P \approx (P_c - P_A) S_c + m \cdot V^* \leftarrow \text{скорость истечения продуктов сгорания}$$

2) Более совершенный



3) Двигатель на балочных волнах
около 1000 км/ч (нет атмосферы)



Примитивный вариант



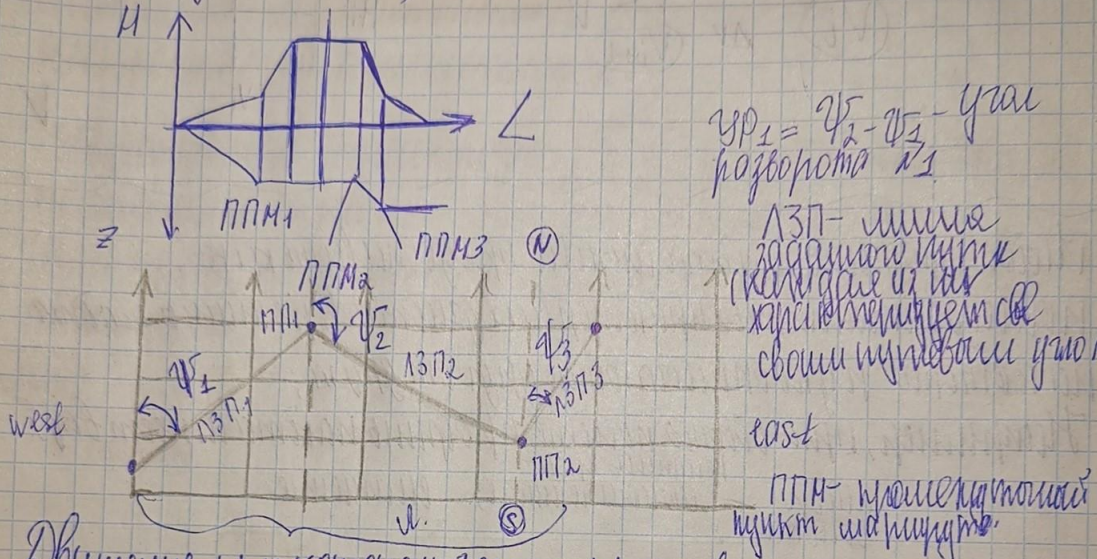
Компрессор в реактивном двигателе выполняет функцию сжатия воздуха перед его подачей в камеру сгорания. Этот процесс увеличивает давление воздуха и, следовательно, его плотность, что повышает эффективность сгорания топлива. В результате увеличения давления воздуха, больше топлива может быть впрыснуто, что увеличивает мощность двигателя.

Турбина играет роль в процессе извлечения энергии из газов, выходящих из сгоревшего топлива, и используется для привода компрессора и, в случае турбореактивных двигателей, генерации тяги.

Окислитель обеспечивает кислород для химического взаимодействия с топливом. Обычно в качестве окислителя используют кислород или смеси оксидов азота и кислорода.

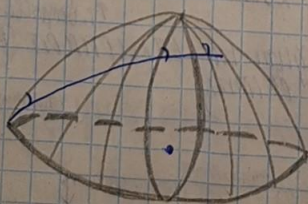
15. Типовые траектории движения самолетов в горизонтальной плоскости.

Прямолинейное движение л/а на землю
называют линейкой пути или
штурмом на землю;



Движение, при котором землю предстаивает линейкой и линией заданного пути. Переходит штурмом под наведенными углами, называется штурмом на землю.

Движение по ортодромии - движение вдоль линии заданного пути, пересекающей меридианы под разными углами, в случае представление земли как шарик или сферу.



Протодвижение - взаимодействие движущихся между
двумя точками на линии сферы, которое наступает
при движении сферы никакостью, проходящей через
изменяющую точку, находящую точку и линию сферы

V_1, φ_1 - нач.

V_2, φ_2 - конечн.

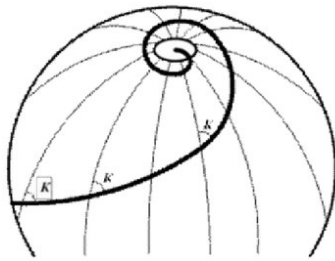
$$(\operatorname{tg} \psi = \cos \varphi_1 \frac{\operatorname{tg} \varphi_2 - \sin \varphi_1 \operatorname{ctg} (V_2 - V_1)}{\sin (V_2 - V_1)})$$

изменяющего
параметра ψ

V - угол наклона

2. Локсадромия и её свойства.

Локсадромия - кривая, пересекающая все меридианы под одним и тем же углом K

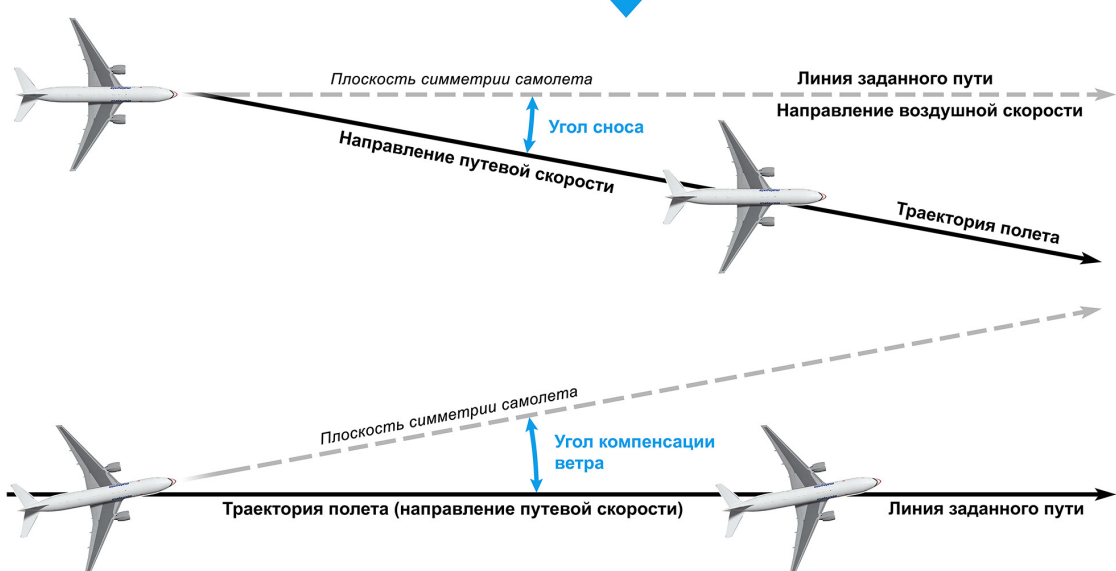
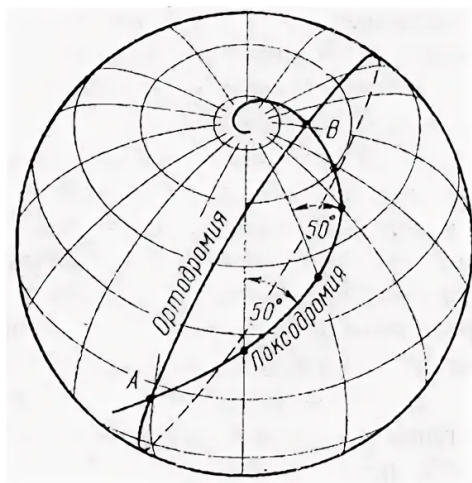


Судно, совершающее плавание постоянным курсом, перемещается именно по локсадромии.

Расстояние между двумя точками на сфере по локсадромии не является кратчайшим и ее применение в мореплавании объясняется исключительным удобством использования компасов. Эта кривая чрезвычайно важна в практике навигации.

Основные свойства локсадромии:

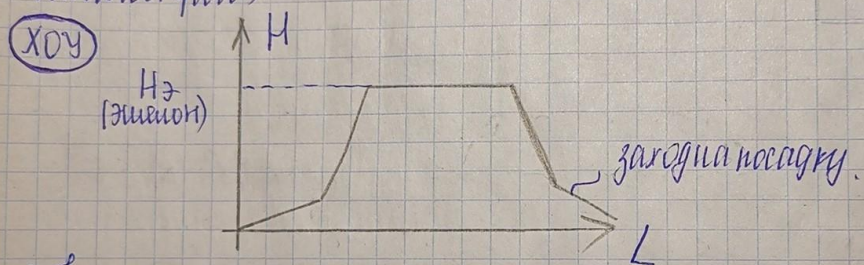
1. Если $K = 0$ или 180° , то очевидно, что локсадромия совпадает с меридианом, т. е. с большим кругом;
2. Если $K = 90$ или 270° , то локсадромия совпадает с параллелью или экватором, т. е. образует малый или большой круг на поверхности сферы;
3. При любых других курсах локсадромия спиралеобразно стремится к полюсу, никогда его не достигая.



16. Типовые траектории движения самолетов в вертикальной плоскости.

Существует два основных типа траектории полета:
 1) Однократное пролетание участка, если самолет несет
 скорость, совершая на него до полета всплеск
 альтиметра, и, перешенив, они всплеска несет всплеск
 и несет один или несколько раз;

Представление траектории движения ЛА в координатах
 альтиметрии на рисунке проекции полета;
 (или проекции траектории движения на плоскость
 альтиметрии)



Получим по траектории балансирные пропорции полета
 быть разделив на три этапа полета в В.П;

Каждый этап характеризуется определенными
 пропорциями полета;

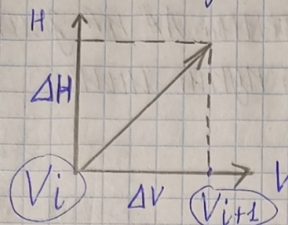
$$\begin{cases} m\dot{v} = P \cos(\alpha + \varphi_p) - X - G \sin \theta \\ m v \dot{\theta} = P \sin(\alpha + \varphi_p) + Y - G \cos \theta \\ L = V \cos \theta \\ \dot{H} = V \sin \theta \end{cases}$$

- это неподвижное уравнение полета без угла
 всплеска

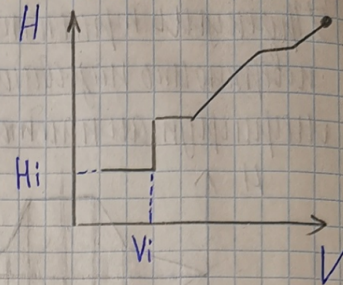
11 Равнозначные динамические траектории полёта

исследование; т.е. исследование достоверности

черт;



$\Omega = 0$

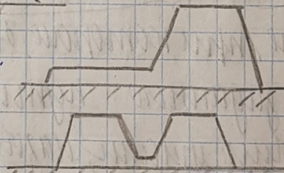


многие при этом нечестно и нечестиво как
исследование свойств аэродинамических газов, не имея полёта.
и в которых нужно отыскать друг от друга;

Например, при облёте нечестно при этом нечестно:

надолго некоторое время срывение; срывение
воздуха

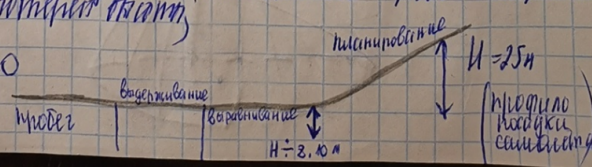
иные варианты при этом нечестно



Взлёт и спуск в соревновании - кратчайший полёт на высоте со взлёта
Взлёт представляется собой один из видов неустойчивого полёта.
Взлёт и спуск в соревновании называются вертикальными -
одного срока. Взлёт - это срывение от высоты полёта полёта
из-за недостатка воздуха 25м, воздуха высоты

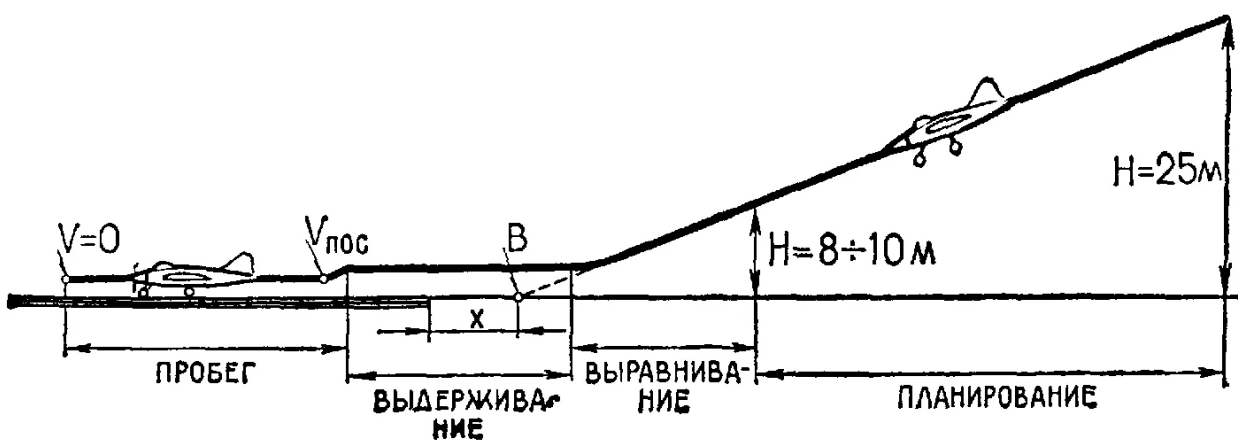
Срывение и падка - срывение полёта по наклонной траектории с
помощью полёта с наклонной траектории

минимум при этом нечестно



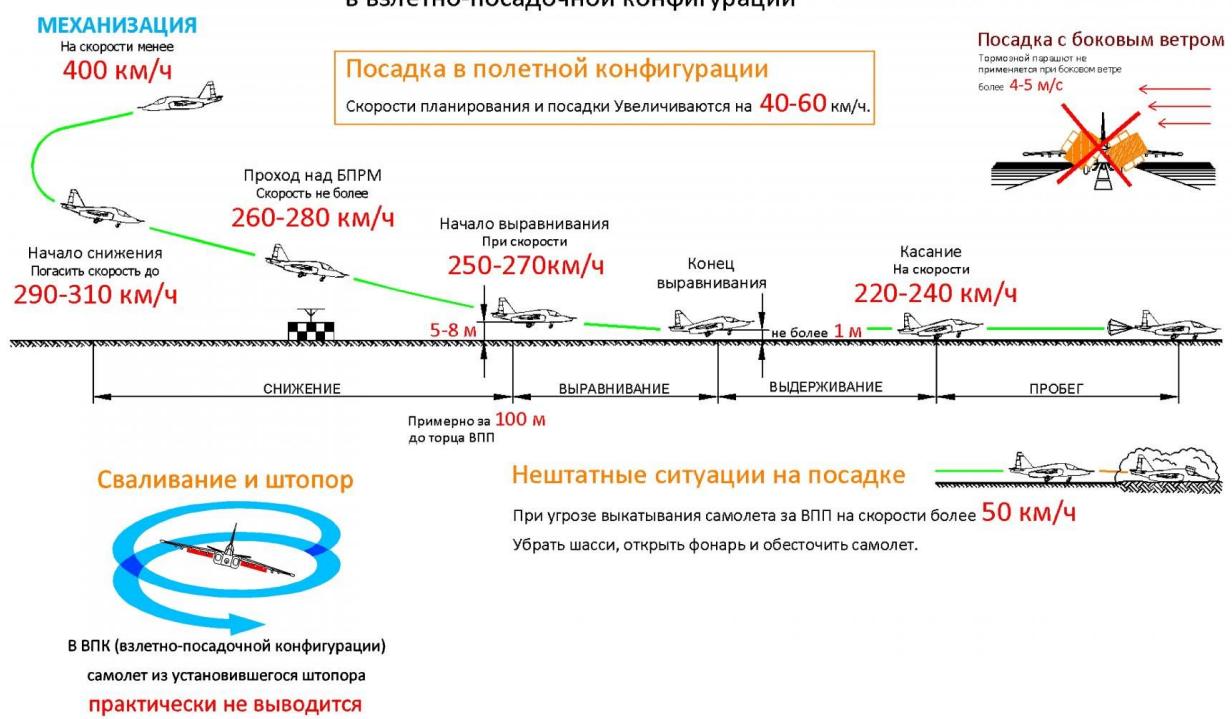


[HTTPS://VK.COM/SKYWAY_PUBLIC](https://vk.com/skyway_public)



Посадка

в взлетно-посадочной конфигурации



17. Типовые траектории полета баллистических ракет, особенности формирования параметров активного участка траектории.

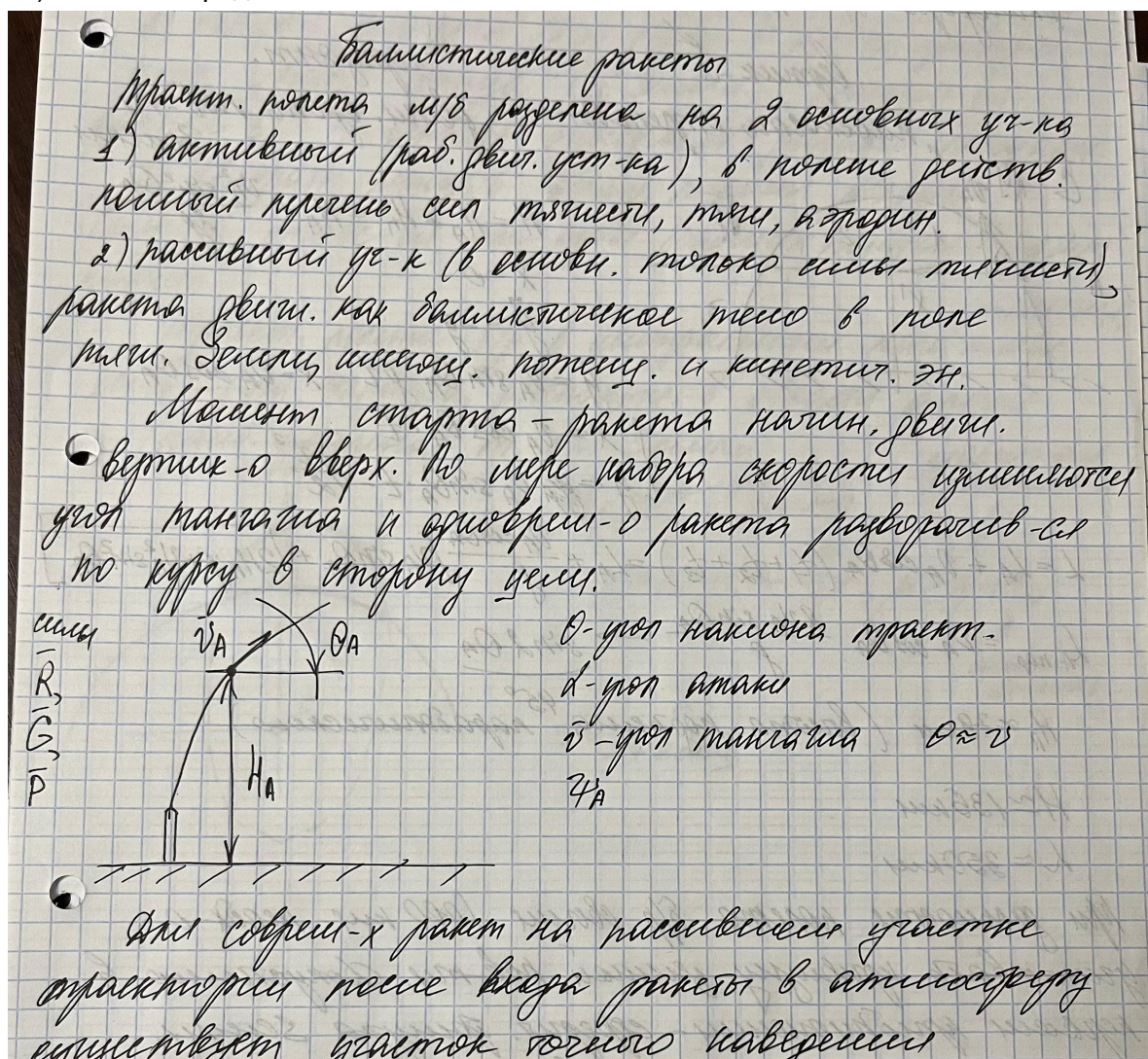
Баллистическая ракета - это летательный аппарат, траектория которого состоит из активного участка полета с работающим двигателем, на протяжении которого аппарат приобретает запас кинетической (скорость полета) и потенциальной (высота полета) энергии и пассивного участка, когда движение происходит по закону свободно брошенного тела, т.е. по баллистической кривой.

Активный участок

Его траекторию можно характеризовать двумя параметрами:

- временем набора конечной скорости;
- высотой, на которой достигается эта скорость.

Время набора конечной скорости активного участка определяет требуемые темпы подготовки соответствующего эшелона системы ПРО к действию, а также скорострельность, которой должны обладать оборонительные средства при массированной ракетной атаке. Высота, на которой достигается конечная скорость, определяет технические средства, которые могут быть использованы для поражения атакующих ракет. Принципиально важно обстоятельство, находится ли эта высота в пределах атмосферы (эффективная высота атмосферы в дальнейших оценках принимается равной 100 км) или за её пределами.



траектория, рисунок, может быть разбита на 2 части.
Благодаря 2-му закону сохранения количества движения

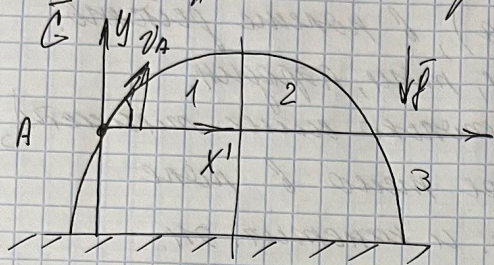
вертикаль

gravit.

"скорость отрыва"

gravit. время пол-ту

Земли



$$H = H_A + H_h = H_A + \frac{v_A^2 \sin^2 \theta_A}{2g}$$

$$\ddot{x} = 0$$

$$\ddot{y} = -g$$

$$\dot{y} = v_A \sin \theta_A - gt \quad \dot{x} = v_A \cos \theta_A$$

$$\begin{cases} x = v_A \cos \theta_A \cdot t \\ y = v_A \sin \theta_A \cdot t - \frac{gt^2}{2} \end{cases}$$

$$L = L_A + v_A \cos \theta_A (t_1 + t_2 + t_3) = L_A + \frac{v_A \cos \theta_A}{g} \left[v_A \sin \theta_A + \sqrt{2H_A g + v_A^2 \sin^2 \theta_A} \right]$$

$$L_{\text{нап}} = v_A \cos \theta_A \frac{2v_A \sin \theta_A}{g} \rightarrow \sin^2 \theta_A$$

$$H \approx 79 \text{ км} \quad (\text{скорость полета } 45^\circ \text{ параллелического})$$

$$H \approx 135 \text{ км}$$

$$L \approx 350 \text{ км}$$

При дальности полета б/р окажи 1000 км надо о-
дноточечную кривину земной пов-ти. Допустимо в
первом приближении - сферич. фигура Земли.
Если же, нет-к сферич. вращающ-я - гравитаци-е
поле будет учтено полностью.

Теория земли. б/р решено решить на классическом
приближении траектории земли. Глобально считаем, что земли
("всех тел") из классической механики не отличаются.
При этом траектория земли. ракеты начинается
законом Ньютона и мат. описывается ур-ем 2-го
порядка

- 1) Канц. планета совершает��. враш. по эллипсу и в единицах угловых координате θ проходит
- 2) Канц. планета (θ/p) звиги. в ит-ти, проходит
через центр Солнца (г. Зенита), пристегнувшись
равнине от г-вектора определяет равнине траектории.
- 3) Квадрат угловов враш. планеты вокруг
Солнца относ-ся как квад. дополненных полуосей орбит
планет.

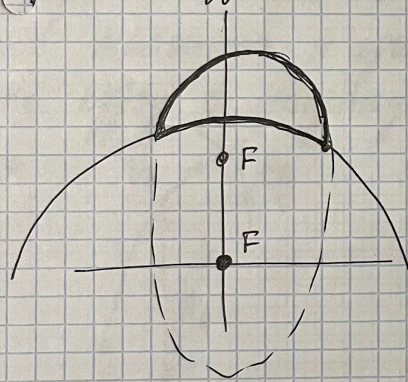
Практик. полета θ/p в центропланетной поле сил.

Сеть - это эллипса, расположение в единицах времени

(надв. Уральской м. от Зенита)

гравит-ия
постоянн-я

масса
Зенита



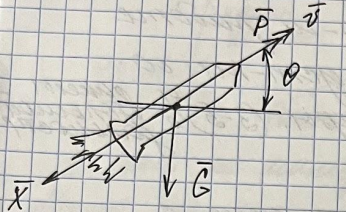
$$F = \int \frac{M_\odot M_p}{r^2} \frac{d\theta}{dt} \quad \text{масса}$$

$$g \neq \text{const} = \frac{M_\odot}{r^2}, \quad \mu = f \cdot M_\odot$$

$$\gamma = \frac{S}{1 + e \cos \theta}$$

§-13

Изменение физических величин
вектора скорости ракеты на активном участке.



$$m \frac{dv}{dt} = P - X - mg \sin \theta$$

$$dv = \left(\frac{P - X}{m} - g \sin \theta \right) dt$$

$\frac{P}{m}$ - относ. тяга к массе

$$F_m = - \left(U_H - (U_H - U_\oplus) \frac{P_H}{P_0} \right) m$$

$$X = \frac{m}{M_0} = \frac{M_0 - t m}{M_0}$$

хар-к относит-е
массы

$$\theta = 1 - \frac{t}{T}$$

T -челленное время, т.е. время сгорания всей ракеты.

$$T = \frac{M_0}{m}$$

сумма тягового сопр. S_m - мощность израсход. ракеты,
т.е. мощность средней.

$$\frac{X}{m} = \frac{C_x \cdot g \cdot S_m}{M_0 \cdot T}$$

$$\frac{S_m}{G_0} = M_0 g_0$$



$P_m = \frac{G_0}{S_m}$ - стартовая нагрузка (давление) на
модель со стороны Земли.

$$\frac{X}{m} = \frac{g_0 C_x g}{P_m T}$$

$$V - V_0 = - \int_{X_0}^X \left[U_H - (U_H - U_\oplus) \frac{P_H}{P_0} \right] \frac{dX}{dt} + \int_{X_0}^X g T \sin \theta dX +$$

$$+ \int_{X_0}^X \frac{g_0 T C_x g}{P_m T} dX$$

$$V = - U_H \ln \frac{X}{X_0} + (U_H - U_\oplus) \int_{X_0}^X \frac{P_H}{P_0} \frac{dX}{dt} + T \int_{X_0}^X g \sin \theta dX +$$

$$+ \frac{g_0 T}{P_m T} \int_{X_0}^X \frac{C_x g}{T} dX$$

- одна из формул записи УР-а
Балковского.

$$\left(-V_H \ln \frac{x}{x_0} \right)$$

скорость, присущая ракетой, рвущей в баллистической траектории, при отсутствии внешней воздейст. в виде Земли, т.е. $\frac{dV}{dt} = 0$

Потери:

приводящие (карактерные) скорость.

$$\left((V_H - V_0) \int_{x_0}^x \frac{P_0}{\rho_0} \frac{dx}{dx} \right)$$

воздушн. трения и радиоактивн. разогрева уст-ки со

(20-15)%

стороне атмосферы. (3-5)% ракетой дальности

$$\left(T \int_{x_0}^x g \sin \theta dx \right)$$

потери скорости, связанные с преводлением притяжения Земли, т.е. гравитирующим потери. (20-40)%

$$\left(\frac{g_0 T}{P_m} \int_{x_0}^x \frac{G M}{x} dx \right)$$

потери, связ. с преводлением силы собственного тяжести (15%), при ракетой большей дальности - (3-5)%

ИЗ КНИЖКИ ПРО БАЛЛИСТИКУ РАКЕТ

Примем следующие упрощающие предположения: поле тяготения постоянно (g_0); суточное вращение Земли не учитывается; аэродинамические силы пренебрежимо малы по сравнению с силой тяги двигателя; расход топлива можно принять постоянным. Кроме того, можно считать заданными μ_t , $J_{уд}^\infty$, n_0 , Θ_k .

Известно, что при постоянном запасе топлива на борту ракеты скорость в конце активного участка V_k зависит от программы изменения угла тангенса во время полета $\vartheta_{пр}(t)$.

Следовательно, задача отыскания оптимальной программы по тангенсу, обеспечивающей максимально возможную скорость V_k , является типично вариационной задачей при заданных μ_t , $J_{уд}^\infty$, n_0 , Θ_k .

Решая вариационную задачу, устанавливаем, что оптимальная для рассматриваемых условий программа по тангенсу предполагает, что угол наклона оси ракеты к горизонту остается постоянным на всем активном участке траектории.

Эта идеальная программа закладывается в основу построения реальных программ движения. Обычно к реальным программам движения баллистических ракет предъявляют следующие требования:

- 1) обеспечение $V_{k\max}$;
- 2) возможность осуществления вертикального старта;
- 3) ограничение перегрузок;
- 4) плавное изменение параметров (существование $\dot{\vartheta}$ и $\ddot{\vartheta}$);
- 5) отсутствие углов атаки при околозвуковых скоростях полета.

К специфическим особенностям выведения баллистических ракет относится и необходимость введения программы разворота по крену с тем, чтобы избавиться от громоздких тяжелых поворотных механизмов на старте. Кроме того, угол рыскания при старте с Земли выдерживается равным нулю, помимо тех случаев, когда надо изменить плоскость стрельбы. Далее, задачи военного применения поставили вопрос о точности стрельбы, который тоже связан с программой выведения. Можно выбрать программу так, чтобы было минимальным рассеивание, а эта программа, вообще говоря, отличается от выбранной по L_{\max} . Программа, обеспечивающая минимальное рассеивание для одной дальности, не является оптимальной для другой. Для ракет-носителей программа может оптимизироваться и по условию максимума выводимого на орбиту груза.

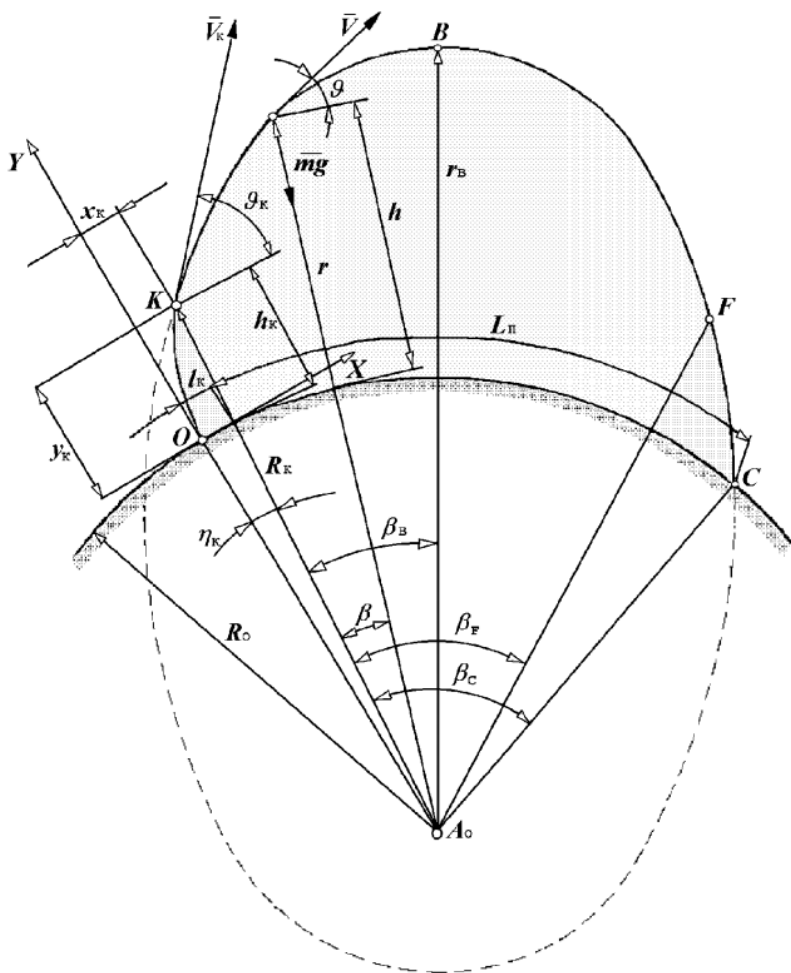


Рис. 3.1. Траектория движения баллистической ракеты

Итак, в общем случае баллистические ракеты стартуют вертикально. Тем самым необходимо, чтобы при $t = 0$ $\vartheta_{\text{пр}} = 90^\circ$.

Двигатели должны выйти на режим и должен закончиться разворот по крену. Затягивать этот участок не следует, так как могут возникнуть существенные потери по дальности.

При скоростях, близких к скорости звука ($M \approx 1$), происходит быстрое изменение аэродинамических сил и заметно смещается центр давления. Момент наибольшего скоростного напора примерно соответствует половине времени активного полета первой ступени. В это время возникают большие трудности для автомата стабилизации, и поэтому желательно проходить этот

участок траектории с нулевым углом атаки α . Кроме того, возможны сильный разогрев и рост нагрузок, если $\alpha \neq 0$ при ($M \approx 1$).

В дополнение к этим требованиям необходимо еще согласовать кривизну траектории с возможностями системы управления.

Анализ реальных программ движения баллистических ракет позволяет создать приближенные программы, которые используются при решении задач баллистического проектирования управляемых ракет.

Траектория полета управляемой баллистической ракеты состоит из активного участка ОК и пассивного участка КС (см. рис. 3.1).

Пассивный участок в свою очередь состоит из участка свободного полета КF и конечного или атмосферного участка FC. Движение полезного груза на участке свободного полета совершается под действием только силы притяжения Земли, поскольку на высотах, превышающих 80...100 км, атмосфера практически отсутствует.

На конечном (атмосферном) участке, кроме силы земного тяготения, на полезный груз действуют аэродинамические силы и моменты. Началом атмосферного участка принято считать высоту 80 км над поверхностью Земли.

Тяжелые боевые баллистические ракеты и ракеты-носители стартуют вертикально. Такой старт не только обладает несомненными преимуществами перед наклонным; он является единственным возможным. Тонкостенная конструкция ракеты не способна противостоять боковым нагрузкам при движении и сходе с направляющих, а пусковая система при наклонном старте такого типа ракет по своему весу и габаритам могла бы быть сравнимой разве что с египетскими пирамидами.

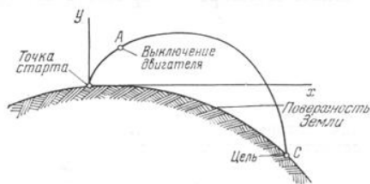


Рис.3.1. Траектория баллистической ракеты

При вертикальном старте ракета устанавливается на пусковом устройстве, имеющем в простейших случаях сходство с круглым столом, снабженным сквозным центральным проемом для выхода струи двигателя.

После старта баллистическая ракета продолжает подъем по вертикали, примерно в течение 5—15 с, после чего начинается ее разворот в сторону цели.

Траекторию баллистической ракеты (рис. 3.1) можно в первом приближении рассматривать как плоскую кривую. Участок от точки старта до точки А проходит ракетой с работающим двигателем и называется активным участком, или участком выведения. Та часть траектории, где ракета испытывает заметное воздействие аэродинамических сил, называется атмосферным участком полета. Для тяжелых баллистических ракет атмосферный участок всегда короче активного. То же самое можно сказать и о составных ракетах-носителях. Отделение блоков первой ступени производится в условиях, когда аэродинамические силы уже весьма малы.

Траектория выведения ракеты-носителя (рис. 3.2), например двухступенчатой, по своему характеру практически не отличается от траектории дальней баллистической ракеты. В точке А заканчивают работу двигатели первой ступени. Блоки первой ступени отбрасываются и падают на Землю (точка С). Вторая ступень сообщает ракете необходимую скорость, и в конце активного участка, уже на орбите, двигатель выключается (точка В).

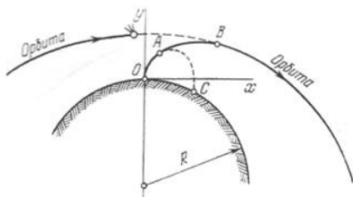


Рис.3.2. Траектория ракеты-носителя.

Разворот ракеты на участке выведения осуществляется органами управления по заранее выбранной программе. Ответственность за выведение ракеты несет система управления.

Выведение ракеты характеризуется программным углом ϕ — углом между осью ракеты и стартовым горизонтом (рис. 3.3). Зависимость угла ϕ от времени называется программой изменения угла тангажа. В простейших случаях для баллистических ракет относительно небольшой дальности график программы угла тангажа имеет вид кривой, показанной на рис. 3.4.

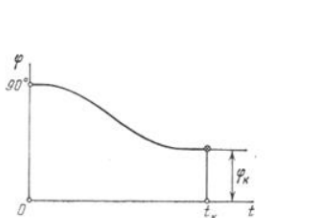
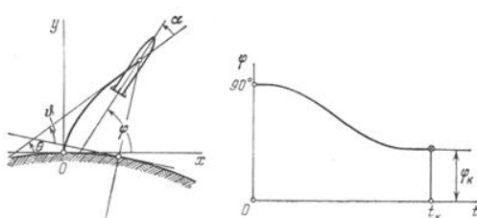
Программный угол ϕ близок углу наклона траектории θ (θ — угол между вектором скорости и стартовым горизонтом), но не равен ему. Между осью ракеты и касательной к траектории образуется относительно небольшой изменяющийся во времени угол α , называемый углом атаки.

Выбор способа выведения баллистической ракеты относится к классу краевых задач, когда необходимо выбрать начальные параметры программного движения при заданных условиях в конце траектории. Для боевых ракет задаются наземные координаты цели. Для ракет-носителей задается высота и вектор скорости в конце участка выведения. Для космических траекторий в краевые условия входит также астрономическое время, отвечающее моменту выведения объекта.

Траектория баллистической ракеты с необходимой точностью определяется методами численного интегрирования дифференциальных уравнений движения. Но эта операция может быть проведена лишь при условии, когда уже известны основные параметры ракеты — ее весовые и тяговые характеристики, а найти их значения можно, только располагая необходимыми сведениями о траектории. Возникает замкнутый круг неопределенностей, свойственный начальной стадии проектирования вообще любой машины, а не только ракеты-носителя.

Рис. 3.3. Угол тангажа ϕ на участке выведения

Рис.3.4. Закон изменения программного угла тангажа по времени



Как работает МБР

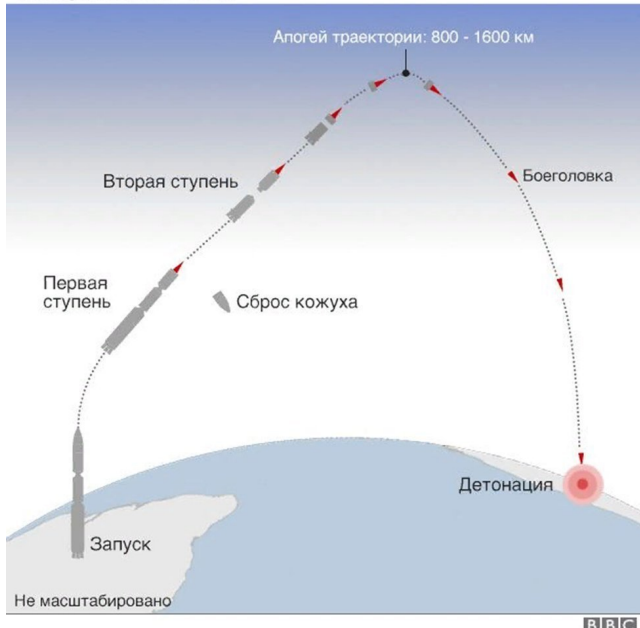


Схема для баллистической ракеты малой дальности (снизу)

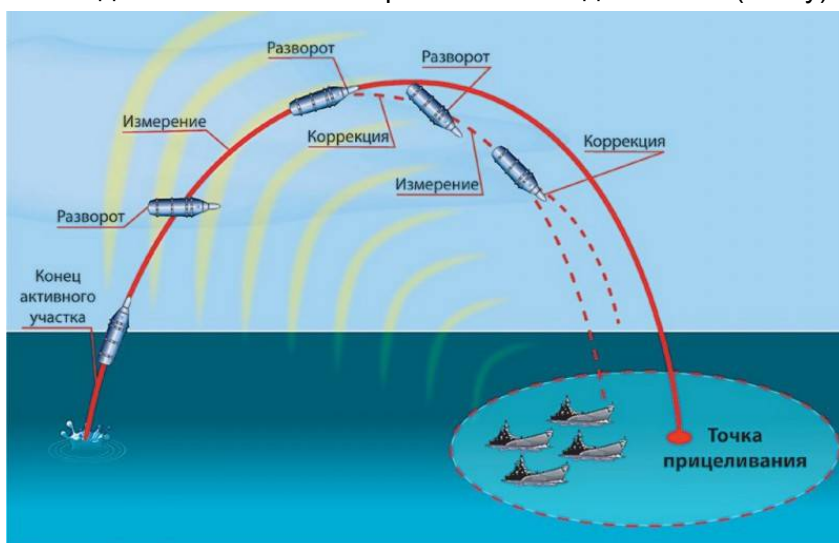


СХЕМА I

СХЕМА II

ТРАЕКТОРИИ ПОЛЕТА БАЛЛИСТИЧЕСКИХ РАКЕТ

Современные стратегические ракеты делают баллистическими.

Баллистическая ракета стартует вертикально (A). Это обеспечивает лучшие условия стабилизации полета при небольшой скорости, а также позволяет за короткое время пройти плотные слои атмосферы. Она быстро набирает скорость и, разворачиваясь в плоскости стрельбы, ложится на курс в сторону цели (схема I). Ракета разгоняется мощным двигателем. Участок траектории A—B, который ракета пролетает с работающим двигателем, называется активным.

В расчетной точке (5) по команде выключается двигатель. Этим заканчивается управляемый активный

участок траектории. После выключения двигателя головная часть ракеты с боевым зарядом отделяется от ракеты и продолжает неуправляемый полет по баллистической траектории как свободно брошенное тело. Участок траектории от точки B до цели называется пассивным.

Максимальная высота траектории стратегической ракеты может достигать многих сотен и даже превышать тысячу километров, далеко выходя за пределы атмосферы. После чего ракета и боевая головка летят нестабилизированно (кувыряясь). Ракета не долетает до цели. Боеголовка, обладая меньшим сопротивлением, летит значительно дальше. В этой связи траектория рассчитывается таким образом, чтобы прежде всего в цель попадала боеголовка, а не корпус ракеты.

На многоступенчатой ракете, траектория полета которой показана на схеме II, приборы системы управ-

ления ставятся только на последнюю ступень, а дополнительные органы на каждую. После выключения двигателей 1-й ступени опускаются топливный резервуар и двигатели, отделяются, как представляющие с этого момента ненужный балласт (точка B). Одновременно запускаются двигатели 2-й ступени, выключение которых происходит в точке В. Затем 2-я ступень отделяется, как и первая, запускаются двигатели 3-й ступени.

Выключением двигателей 3-й ступени заканчивается активный участок траектории трехступенчатой ракеты (точка Г). Скорость в конце активного участка многоступенчатой ракеты значительно выше, чем одноступенчатой, поскольку ее скорость в точке Г равна сумме приращений скорости каждой из ступеней. Поэтому дальность стрельбы многоступенчатой ракеты в несколько раз превышает дальность стрельбы одноступенчатой.

18. Особенности траекторий полетов баллистических ракет в вертикальной плоскости.

Баллистическая ракета - это летательный аппарат, траектория которого состоит из активного участка полета с работающим двигателем, на протяжении которого аппарат приобретает запас кинетической (скорость полета) и потенциальной (высота полета) энергии и пассивного участка, когда движение происходит по закону свободно брошенного тела, т.е. по баллистической кривой.

20.11 1-11 ПАН

Баллистические ракеты

Траектория полета ракеты разделяется на 2 основных участка:

- 1) активный (раб. двиг. участок), в полете действует гравитация, сила тяжести, тяга, ветер.
- 2) пассивный участок (в вакууме, только сила тяжести), ракета движется как баллистическое тело в поле грав. Земли, массой, потенц. и кинетич. эн.

Момент старта - ракета начин. движ.

Вертик-о вверх. По мере набора скорости изменяются угол наклона и орбита ракеты разворачивается по криву в сторону земли.

Ось v_A θ_A φ_A

R , G , P

Грав. H_A

0 - угол наклона траектории

α - угол азимута

φ - угол тангажа $\theta \approx \varphi$

Угол наклона траектории

Для соврем-х ракет на пассивном участке траектории после входа ракеты в атмосферу существует уголок горизонтального наведения "Пролет Авиаштурм"

$t, с$	0	30	48	75	100	139
$H, м$	0	1304	3719	10973	23165	56388
$v, м/с$	0	78	184	392	732	1707
MAX	0	0,23	0,57	1,26	2,41	5,01
θ°	90	89,5	87,7	68,5	57,2	46,5
$g \frac{m}{m^2}$	0	3382	14355	67592	14355	574

$g \frac{m}{m^2}$	9,807	9,803	9,79	9,79	9,73	9,65
$g \frac{m}{m^3}$	1,225	1,111	0,882	0,36	0,047	10^{-3}
$g \frac{m}{m^4}$	0	0,68	12	236	3592	15464

траектория. звук. можно считать разбитой на 2 части
стартовой и "максимальной симметрии"

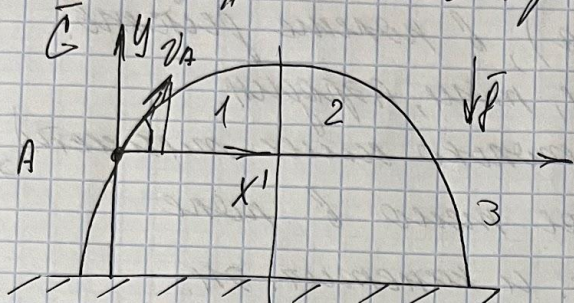
стартов - 1

излучение.

"максимальной симметрии"

звук. звук. излуч. из-за

Земли



$$H = H_A + H_h = H_A + \frac{v_A^2 \sin^2 \theta_A}{2g}$$

$$\ddot{x} = 0$$

$$\ddot{y} = -g$$

$$\begin{cases} \dot{y} = v_A \sin \theta_A - gt \\ x = v_A \cos \theta_A \cdot t \end{cases}$$

$$y = v_A \sin \theta_A \cdot t - \frac{gt^2}{2}$$

$$L = L_A + v_A \cos \theta_A (t_1 + t_2 + t_3) = L_A + \frac{v_A \cos \theta_A}{g} \left[v_A \sin \theta_A + \sqrt{2H_A \cdot g + v_A^2 \sin^2 \theta_A} \right]$$

$$L_{\text{нап}} = v_A \cos \theta_A \frac{2v_A \sin \theta_A}{g} \rightarrow \sin 2 \theta_A$$

$$H_h \approx 79 \text{ км} \quad (\text{вместо нормальной } 95^\circ \text{ параболического})$$

$$H \approx 135 \text{ км}$$

$$L \approx 350 \text{ км}$$

При дальности полета б/р звуком 1000 км необходимо учитывать кривизну земной поверхности. Допустимо в первом приближении - сферич. земля Земли. Единств. нет-к винчестера взаимодействие - гравитационное поле Земли - гравитационное поле Земли.

Гравит. звук. б/р дальности действ. на траектории траектории звук. частоты звуков (запасы звук. пол. "запасы звуков") из кинематической небесной механики. При этом траектор. звук. ракеты передвигается вдоль траектории и может описываться уравнением 2-го порядка

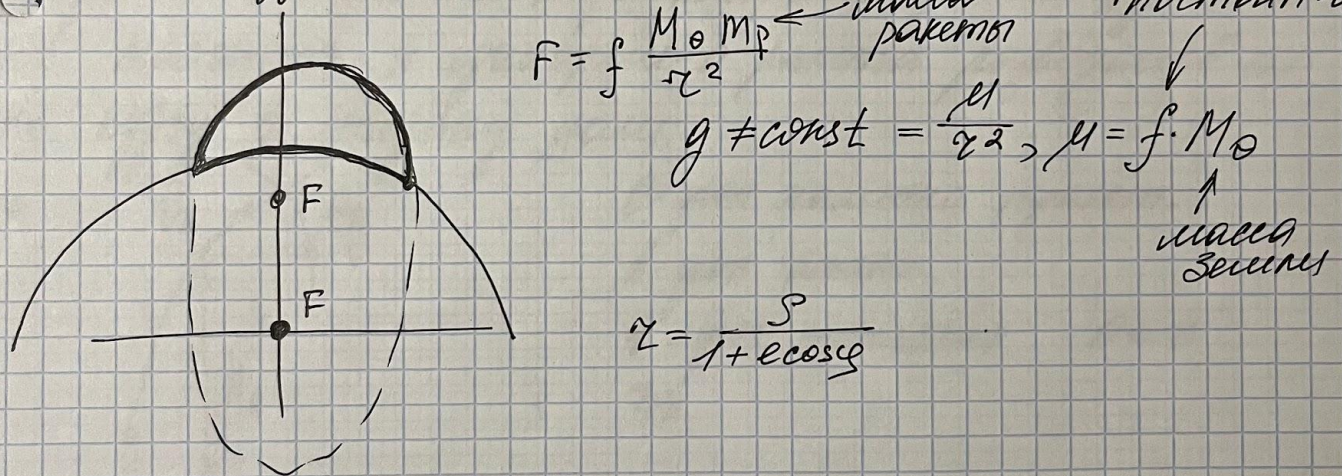
- 1) Канц. наклона солнечной сист. образ. по эллипсу и в орбите с центром которого нахо-дится Солнце
- 2) Канц. наклона (δ/p) звезды. В н-ти, проход-ся через центр Солнца (г. Земли), проходит за равное от χ -близкого звезды равное полуоц.
- 3) Квадраты наклонов образ. наклоном вокруг Солнца отмеч-ся как кубы длиных полуоцей орбит наклон.

Максим. наклона δ/p в зависимости от массы,

重心-гуда звезды, располож. в области звезд

(адек. уравнение м. от Земли)

равн-ая
постройк



$$F = f \frac{M_\odot M_p}{r^2} \quad \begin{matrix} \text{massа} \\ \text{ракеты} \end{matrix}$$

$$g \neq \text{const} = \frac{M}{r^2}, M = f \cdot M_\odot$$

↑
massа
Земли

$$r = \frac{p}{1 + e \cos \varphi}$$

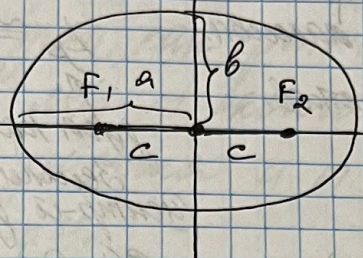
27.11.

ПАН

A-12



$\epsilon = \frac{p}{1 + e \cos \theta}$ экцентрическим
 θ - амплитуда (угол расстояния)



Экцентрическим называем
связь между фокусами и радиусом.

$$e = \frac{c}{a} \quad a - \text{длина полуоси}$$

$$c = \frac{1}{2} \cdot F_1 \cdot F_2 \quad \text{расстояние между фокусами}$$

Если $c = 0 \Rightarrow$ орбитальность

$$p = v_A \cdot r_A \cdot \cos^2 \theta_A$$

v_A - скорость ракеты в фокусе.

E_{KA} определяется по v_A , а E_{PA} - по r .

$$v_A = \frac{r_A \cdot v_A^2}{2e}$$

$$M = f \cdot M_{\oplus}$$

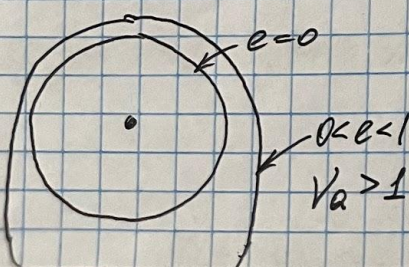
$$\frac{P_{Kite}}{P_{beam}} = \frac{M \cdot \frac{v_A^2}{2}}{m g r \cdot r_A}$$

Ингригорианский парашют определяет траекторию баллистической ракеты.

$e=0, v_A=1, v_A \approx 8 \text{ км/с}$ — упругая траектория.

принцип косинуса скорости

$0 < e < 1$ — эллипс.



В момент, когда $e=1$ и $v_A=2$ —
раствор траектории. (в параболич. траек.)



$v_A \approx 11 \frac{\text{км}}{\text{с}}$ (вторая косинуса скорость)

$e=1$
 $v_a > 2$ } гиперболические траектории (космич. апп.
 види. более близкой
 звезды).

Гиперболические траектории. Дальность.

$$L = L_a + L_\beta \quad L_a = 5\% L \text{ (обычно } 6-7\%)$$

дальность полета
 активного и
 пассивных
 участков

$$L_\beta \approx \beta \cdot R_\oplus$$

Радиус пол. земли
 (центр-й угол)

$$\frac{v_a}{r} = \frac{1 - \cos \beta}{v_a \cos^2 \Omega_a} + \frac{\cos \beta (1 + \Omega_a)}{\cos \Omega_a}$$

$$\operatorname{tg} \left(\frac{\beta}{2} \right) = \frac{v_a \operatorname{tg} \Omega_a}{1 + \operatorname{tg}^2 \Omega_a - v_a}$$

для каждого эн. периода
 могут быть разные
 значения.

$$\frac{d(\operatorname{tg} \frac{\beta}{2})}{d(\operatorname{tg} \Omega_a)} \rightarrow 0$$

значит, что может быть экстремум,
 \Rightarrow между оптимального углов
 наклона траектории.

$$\operatorname{tg} \Omega_{\text{ном}} = \sqrt{1 - v_a^2}$$

им v_a и Ω_a задают оптимальный угол
 траек. (нельзя и не больше 45°)

$v_a > 1$ — упругает траек. \Rightarrow норма неодн. дальности.

Траектория баллистической ракеты (БР) существенным образом отличается от траектории ЛА других подклассов, она состоит из двух участков — активного и пассивного. На активном ракета движется под действием силы тяги двигателя и запасает кинетическую энергию, за счет которой осуществляется полет на пассивном участке. Построение программной траектории выполняется на активном участке движения ракеты (рис. 7).

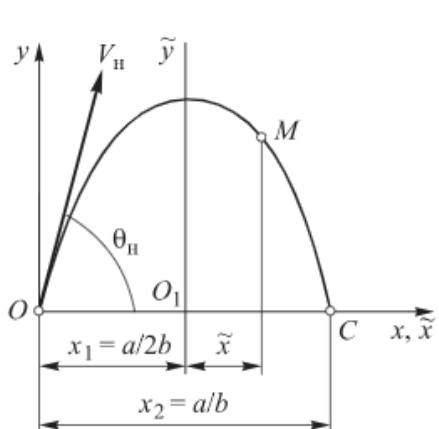


Рис. 7. Схема активного участка траектории БР малой дальности

атмосферного участка), обусловленной гравитационным полем Земли. Начальные условия свободного полета $\theta_{\text{зад}}$, $\Psi_{\text{зад}}$, $V_{\text{зад}}$, $H_{\text{зад}}$ полностью определяют точку падения головной части на земную поверхность.

При дальности полета БР (малой дальности), не превышающей $L \leq 900$ км допустимо использовать «плоскую» модель Земли с однородным и плоскопараллельным гравитационным полем и величиной ускорения силы тяжести, не зависящей от H и направленной по нормали к поверхности Земли. По окончании активного участка за пределами атмосферы единственная сила, действующая на БР массой m в точке $H_{\text{зад}}$, есть сила тяжести G . Рассмотрим

Обычно БР стартует вертикально вверх, постепенно наклоняясь в сторону цели, уменьшая угол тангенса, пока он не достигнет расчетного заданного угла $\theta_{\text{зад}} = \theta_{\text{зад}}$ (так как $\alpha \approx 0$), и разворачиваясь по курсу на $\Psi_{\text{зад}} = \Psi_{\text{зад}}$ (так как $\beta \approx 0$). Величина вектора скорости достигает $V_{\text{зад}}$ на высоте $H_{\text{зад}}$ окончания активного участка и выключения двигателей. На пассивном участке (участке свободного полета) БР движется в основном под действием силы тяжести (за исключением второго

движение БР в плоскости OX_gY_g нормальной СК. Тогда $\ddot{x}=0$ и $\ddot{y}=-g$, что соответствует равноускоренному движению вдоль оси OX_g , для которого

$$\dot{x}_1 = V_h \cos \theta_h, \quad \dot{y}_1 = V_h \sin \theta_h - gt,$$

$$x = V_h \cos(\theta_h) t, \quad y = V_h \sin(\theta_h) t - \frac{gt^2}{2},$$

где V_h , θ_h — параметры полета в начальной точке пассивного участка $H_{\text{зад}}$.

Исключая время t , получаем уравнение траектории, представляющей собой параболу:

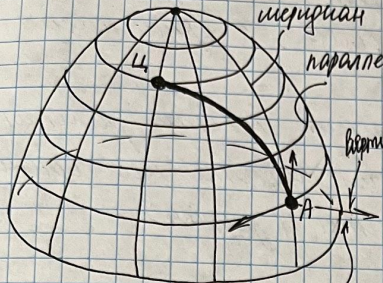
$$y = x \operatorname{tg} \theta_h - \frac{gx^2}{2V_h^2 \cos^2 \theta_h}.$$

По приведенным выше формулам можно заключить, что при движении по траектории величина скорости БР убывает с высотой полета, достигая минимального значения в вершине траектории. При этом скорости в двух точках траектории с одинаковыми высотами равны по модулю. Углы наклона вектора скорости в двух точках траектории с одинаковыми высотами равны по величине и противоположны по знаку. Максимальная дальность достигается при $\theta_{h,\text{опт}} = 45^\circ$ при прочих равных условиях.

19. Особенности траекторий полетов баллистических ракет вдоль поверхности Земли.

Баллистическая ракета - это летательный аппарат, траектория которого состоит из активного участка полета с работающим двигателем, на протяжении которого аппарат приобретает запас кинетической (скорость полета) и потенциальной (высота полета) энергии и пассивного участка, когда движение происходит по закону свободно брошенного тела, т.е. по баллистической кривой.

1 Траектория баллист. ракеты вдоль поверхн. Земли.
Ч^р-путьевой угол (от-ся координатами начала
рвоти. и коорд. токами усл)



(однако-
(центрический) горизонтально-
одинаково ск

Задача изучения ракетного полета
А-м. Физическая академия
На академии ученые полета
важнейший фактор определяется
вращением земли вокруг
центра масс земли, а также
изменением угла между
ракетой и землей.

$$\tan \gamma_a = \frac{\cos \gamma_a \tan \beta_a}{\sin (\beta_a - \gamma_a)} = \frac{\sin \gamma_a}{\tan (\beta_a - \gamma_a)}.$$

Ракета в т. А приобретает некоторый
излишек.

~6300 м/с $|\vec{v}_a|$ - ракета не только получает
величину скорости, но и направление.

$$|\vec{v}_a|, \theta_a, \gamma_a.$$

$v_b = v_a \sin \theta_a$ - вертикальный компонент скорости v_a

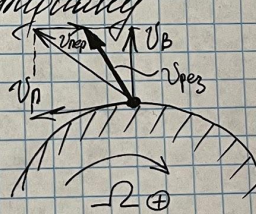
$v_n = v_a \cos \theta_a \cdot \sin \gamma_a$ - по параллели

$v_m = v_a \cos \theta_a \cdot \cos \gamma_a$ - по меридиану

$$v_{\text{неп}} = -\Omega \oplus R \oplus \cos \gamma_a$$

за счет вращ. Земли к
сумме $\vec{v}_n + \vec{v}_b$ прибавл. $\vec{v}_{\text{неп}}$

$$\vec{v}_n + \vec{v}_b + \vec{v}_{\text{неп}} = \vec{v}_{\text{рез}}$$



$v_r^2 = v_a \cos \theta_a \cdot \sin \gamma_a + -\Omega \oplus R \oplus \cos \gamma_a$ - результатирующая
скорость вдоль параллели.

обозначение
горизонтальной
стремы
помимо горизонтальной
стремы

При прицеливании ракеты
исходя из угла

излучения т. с. ракеты максим. обр., тогда вдоль
стремы переносная скорость, связь с вращением
Земли.

В ручном вращ. Земли в течение полета ракеты
также переносится вдоль параллели, это необходимо
учесть при прицеливании ракеты и расчете
переносной скорости кинетического угла.

При дальности полета БР $L > 1000$ км необходимо учитывать кривизну земной поверхности. Как было отмечено ранее, в первом приближении для данного случая допустимо принять сферическую модель фигуры Земли, гравитационное поле Земли является центральным полем тяготения (рис. 8).

Траектория БР является кривой второго порядка, и ее форма зависит от запасенной кинетической энергии БР. Введем энергетический параметр по соотношению $v_h = \bar{r}_h V_h^2 / \mu$, где \bar{r}_h — радиус-вектор начала пассивного участка траектории; V_h — скорость в этой точке.

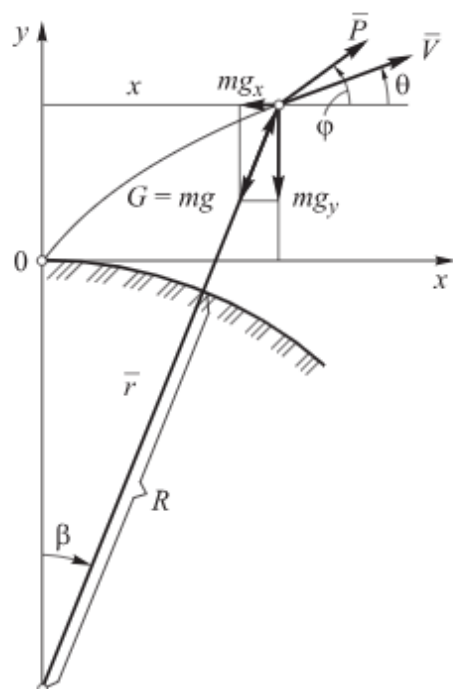


Рис. 8. Схема активного участка траектории БР большой дальности

достигается при $v_{h \min}$;

Эллиптические траектории обладают следующими свойствами:

- дальность полета БР зависит от θ_h и v_h ;
- при заданном θ_h большая дальность соответствует большему v_h ;
- при заданном v_h дальность в зависимости от θ_h изменяется от нуля до некоторого максимального значения, причем каждому v_h соответствует свое оптимальное значение $\theta_{h \text{ опт}}$, при котором достигается максимальная дальность;
- зависимость максимальной дальности от угла θ_h линейная, она существует при $\theta_h < \theta_{h \text{ опт}}$ и $\theta_h > \theta_{h \text{ опт}}$ (кроме случая L_{\max});
- при $\theta_{h \text{ опт}}$ заданная дальность

- при $\theta_{n,опт}$ малые ошибки в установлении $\theta_{n,опт}$ не приводят к ошибкам по дальности;
- при $\theta_n \neq \theta_{n,опт}$ и одинаковых ошибках в установлении θ_n ошибка в дальности на пологих траекториях ($\theta_n < \theta_{n,опт}$) будет больше, чем на крутых ($\theta_n > \theta_{n,опт}$);
- при $1 < v < 2$ могут быть получены любые дальности в зависимости от угла $\theta_{n,опт}$;
- при $v > 2$ получают невозвращающиеся параболические и гиперболические орбиты;
- изменение начальной высоты полета y_n несущественно отражается на значении v_n (изменение y_n от 200 до 300 км приводит к изменению v_n на 1,5 %).

При выходе за пределы атмосферы БР необходимо учитывать влияние угловой скорости вращения Земли $\Omega_\oplus = 15$ град/ч на точ-

ность наведения. Влияние суточного вращения Земли на полет БР легко проследить, если рассматривать ее движение в инерциальной геоцентрической системе координат. В момент пуска начальную скорость БР в абсолютном движении определяют по формуле:

$$\bar{V}_{a0} = \bar{V}_0 + \bar{V}_{\text{пер}0},$$

где $V_{\text{пер}0} = \Omega_\oplus R_\oplus \cos \varphi_{\text{ст}}$ — скорость ракеты, определяемая переносным, вращательным движением Земли и зависящая от географической широты места старта (рис. 9).

В то же время в результате вращения Земли положение цели в инерциальном пространстве изменяется. За полное время полета ракеты t_n цель изменит свое положение на величину $L = \Omega_\oplus t_n R_\oplus \cos \varphi_n$, где φ_n — географическая широта расположения цели.

Следовательно, при наведении ракеты необходимо вводить упреждение, связанное с вращением Земли.

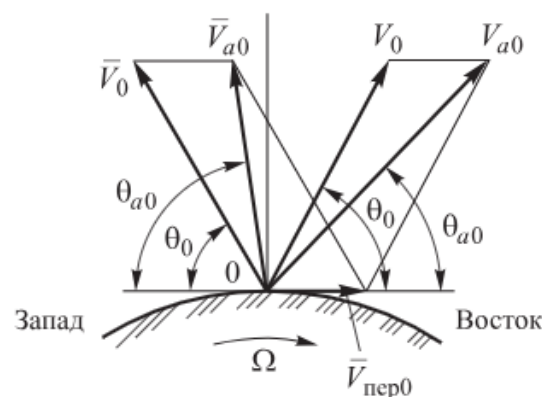
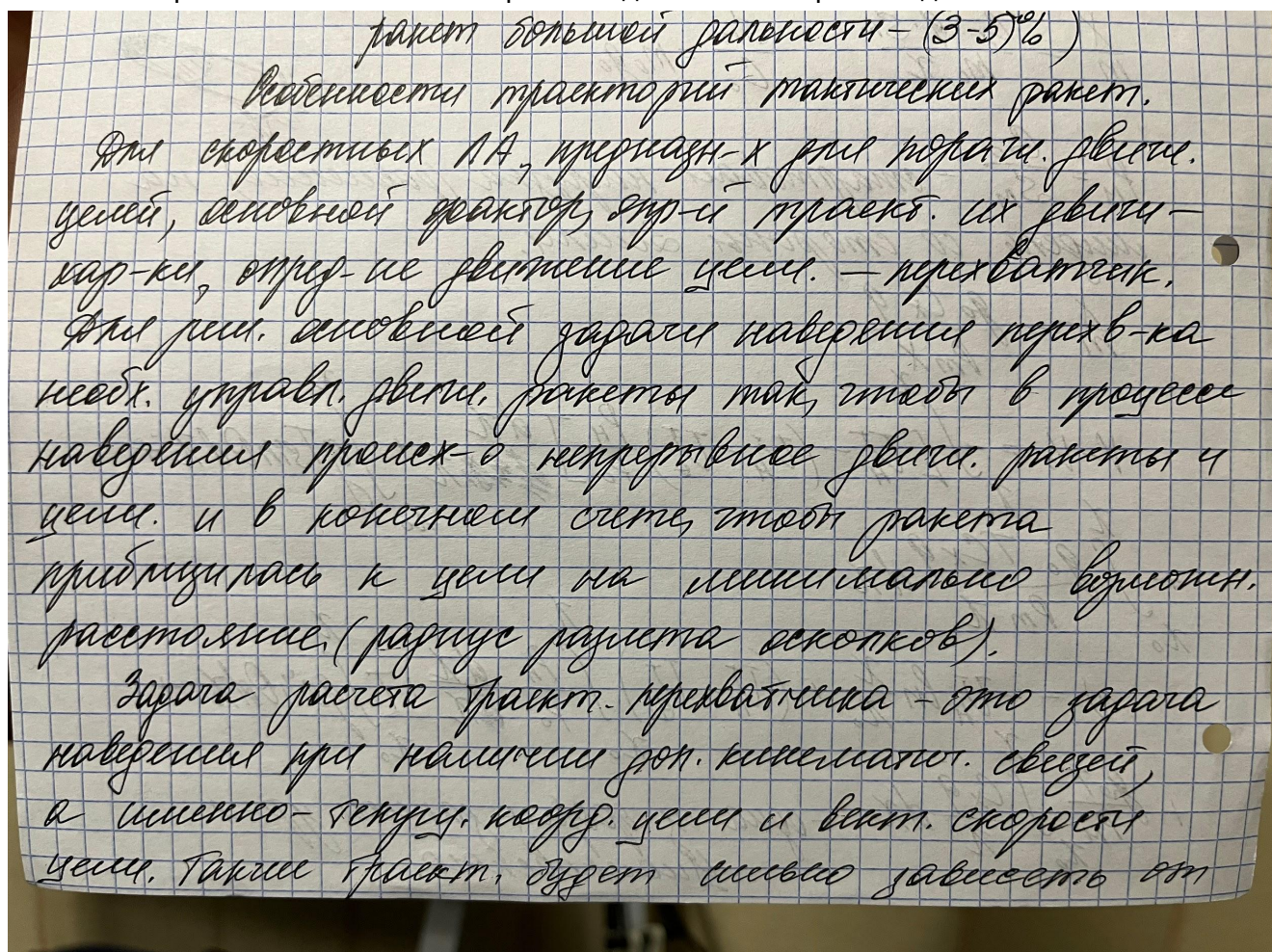


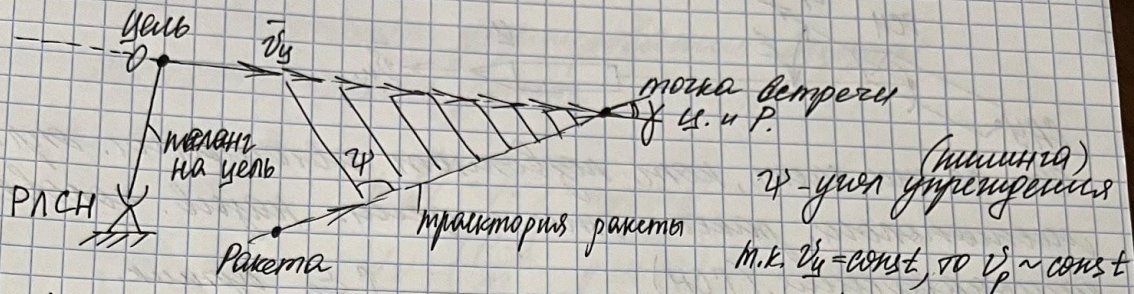
Рис. 9. Влияние суточного вращения Земли на вектор-абсолютную скорость БР

20. Особенности траекторий тактических ракет для перехвата воздушной цели.

Тактическая ракета - баллистическая ракета с дальностью стрельбы до 100 км.



движения ракеты, чтобы, т.е. способность маневрировать во время перехвата.



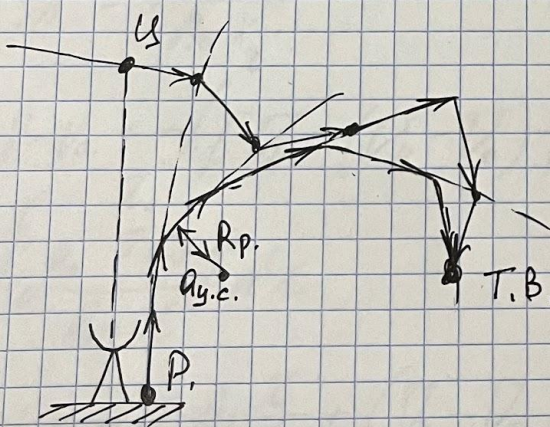
1. Цель не маневрирует. ($v_u = \text{const}$)
Линия параллельного сближения. Ракета ракеты перехватчика определяет РЛС (радио-локационная станция) маневрирования

• γ - угол между траекториями u и u .

Траектория ракеты перехватчика деформируется на РЛС, $\bar{n} = 0$ - перегрузка.

2. Цель маневрирует в процессе перехвата

Маневр known. Т.е. чтобы траектория ракеты изменилась на форму ракеты, т.е. изогнулась траектория. Т.е. направл. линии перехвата и угол управления ракеты изменился. Т.е. ракета. и изменяется в процессе броска.



Линия ракета изменилась.
Форма линии перехвата.

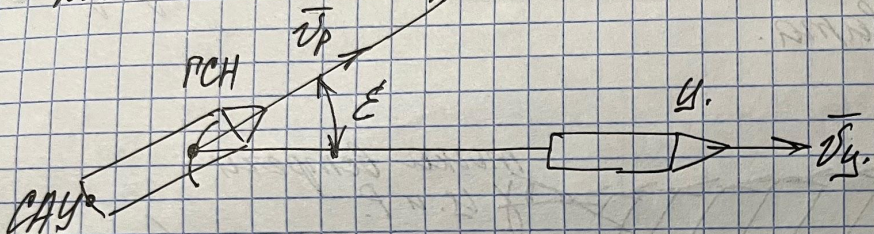
Ракета в процессе
измен. захвата. цель в
хвост.

$$|v_p| \gg |v_u|$$

Линия перехвата не броска
изменяется, ракета уходит. Т.е. ракета маневрирует, она
изменяет форму.

R_p - время разворота $\Rightarrow \exists a_{u.c.} \Rightarrow \bar{n}$ - перегрузка \Rightarrow

навод. винчестер пространство.



Уст-во или сист., кот. позволяет автоматизир. управл. неизменяем. ракеты эти-о чист. науки. головкой самонаведения. (ГСН)

E -угол рассогласования
 $E \rightarrow 0$ методы управл.

$E \rightarrow 0$ управл.
 $E \rightarrow 0$ горизонт.

САУР- сист. автом. управл. ракеты

Для решения основной задачи наведения необходимо управлять движением ракеты так, чтобы в процессе наведения происходило непрерывное сближение ракеты с целью и чтобы она, в итоге, пролетела около цели на как можно меньшем расстоянии, не превышающем некоторого максимально допустимого значения. Решить эту задачу можно с помощью различных методов наведения, определяющих требуемый закон движения ракеты. От выбора метода наведения зависят не только характер траектории ракеты и, следовательно, потребные перегрузки, но и функциональная схема системы наведения, а также состав аппарата, необходимый для ее реализации. Таким образом, при формировании схемы системы

наведения необходимо знать, какой из методов следует реализовать:

- параллельного сближения;
- метод преследования (или погони);
- метод преследования с упреждением (погоня с упреждением).

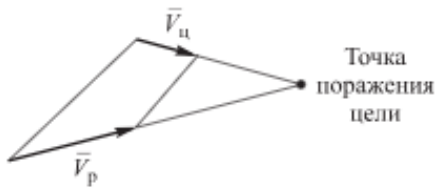


Рис. 10. Метод параллельного сближения

Метод параллельного сближения используют для поражения маломаневренных целей, когда $V_u = \text{const}$, угол упреждения $\Psi = \text{const}$, $\gamma_0 = \gamma$ — угол между вектором скорости \bar{V}_p ракеты и вектором \bar{V}_u , $n_z(t) \equiv 0$ (боковая перегрузка) (рис. 10).

Актуальная траектория ракеты для ее встречи с целью формируется на станции наведения. При этом $|V| \sim |V_u|$. Обычно $\sin \gamma_0 = q \sin \Psi$ — условие для подбора Ψ , и из кинематического уравнения $L\dot{\gamma}' = V \sin \Psi - V_u \sin \gamma$ следует

$$\sin \Psi / (V\gamma) = \sin \gamma_0 / V = \sin(\pi - \gamma_0) / V.$$

Относительно прямолинейной траектории

$$V \sin \Psi - V_u \sin \gamma_0 = 0, \quad \sin \gamma_0 = q \sin \Psi.$$

Следовательно, угол упреждения Ψ выбираем так, чтобы при заданном значении γ получить прямолинейную траекторию. При соблюдении этого условия линия «ракета — цель» будет перемещаться в пространстве параллельно самой себе. Тогда

$$\gamma' = 0, \quad \dot{L} = -V_{\text{cs}} = V_u (\sin \gamma_0 - q \sin \Psi),$$

$$|V| = \text{const}, \quad L = L_0 - V_{\text{cs}} t,$$

где t — время, через которое произойдет встреча ракеты с целью.

Вторые два метода достаточно близки в том, что траектория полета ракеты формируется на борту, т. е. автономно. В каждый момент времени траектория полета ракеты направлена вдоль линии «цель — ракета» (рис. 11).

Для прямого попадания ракеты в цель необходимо, чтобы ее скорость превышала скорость цели. Кроме того, такое попадание будет возможно только после того, как ракета зайдет в хвост цели: $q = V/V_{ц} > 1$. Поскольку при движении к цели по кривой погони γ изменяется от γ_0 до 0, очевидно, что, в реальности перегрузки при выполнении маневров могут быть значительными:

$$n = \frac{V\gamma}{g} = \frac{-VV_{ц} \sin \gamma}{gL}$$

Автономные системы управления, осуществляющие самонаведение на цель без заранее заданной программы движения, должны иметь устройства, автоматически определяющие положение ракеты относительно цели и соответствующим образом изменяющие направление полета. Такие устройства называются головками самонаведения (ГСН). Источником сигнала рассогласования может быть, например, угол ε между продольной осью ракеты и направлением на цель (рис. 12).

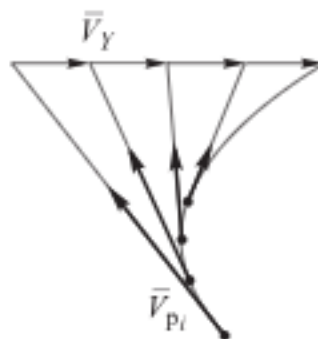


Рис. 11. Метод преследования

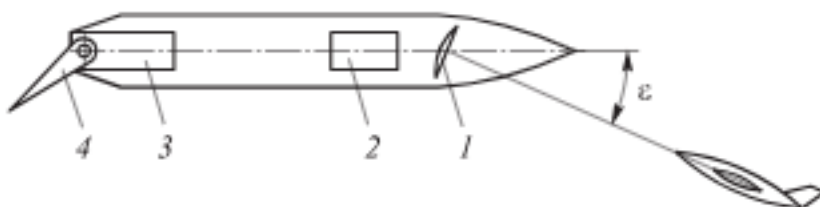


Рис. 12. Структура управления ракетой с ГСН (упрощенно двухмерная задача):
1 — ГСН; 2 — ВУ САУ; 3 — СП САУ; 4 — руль ракеты

В головках активного самонаведения используют источники лучистой энергии какого-либо вида. ГСН улавливают отраженные от цели лучи и преобразуют их в управляющие импульсы для гиростабилизатора. Таким образом, ГСН в процессе слежения всегда направлена на цель, а угол рассогласования ε распадается на два относительно осей связанной системы координат ракеты, и они становятся координатами управления для законов управления САУ ракеты, разворачивая ее рулём на цель.

Баллистическая ракета движется по баллистической траектории на большей части своего полета. Это означает, что, как только ракета сжигает топливо, она продолжает двигаться так же, как пуля, после того, как она была выпущена из пистолета. Как только топливо заканчивается, направление ракеты не может быть изменено, и ракета летит путем, определяемым скоростью ее запуска, и силой тяжести. В конце концов гравитация направляет ракету - и ее полезную нагрузку, которая может быть взрывчаткой, химическим, биологическим оружием или ядерным устройством - вниз, к своей цели.

Крылатые ракеты в большинстве своем самостоятельно летают в воздухе, по относительно прямой траектории и на более низких высотах благодаря ракетному топливу. Траекторию полета баллистической ракеты можно представить как дугу, поднимающуюся и вновь опускающуюся к Земле, а крылатая ракета, пущенная, например, с военного корабля - движется практически по прямой. К тому же, благодаря использованию двигателей на всем своем пути, современные крылатые ракеты способны изменять свою траекторию, уклоняясь от систем слежения противника и противоракет.

Органы управления крылатой ракеты выполняются либо в виде рулей (и элеронов) на неподвижном крыле (см. рис. 3), либо в виде рулей, размещаемых в хвостовой части ракеты (рис. 12) или в носовой части ракеты, спроектированной в схеме «утка» (рис. 13). Управление ракетой осуществляется также при помощи от-

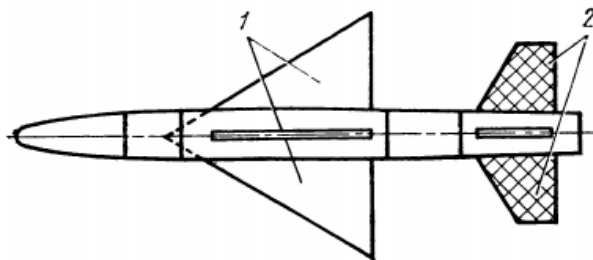


Рис. 12. Одноступенчатая ракета:
1—крыло ракеты; 2—рули

клонения консолей поворотного крыла ракеты (см. рис. 57). Для управления ракетой иногда используются интерцепторы, представляющие собой плоские тонкие пластинки, выступающие на небольшую высоту за поверхность крыла. Интерцепторы размещаются вдоль размаха крыла и могут убираться внутрь крыла заподлицо с его поверхностью.

Управление ракетой может осуществляться также с помощью газовых рулей, описание которых не входит в содержание данной книги.

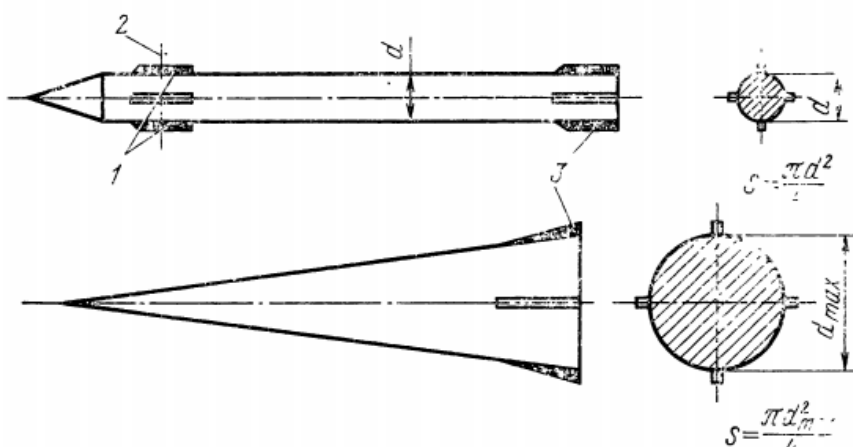
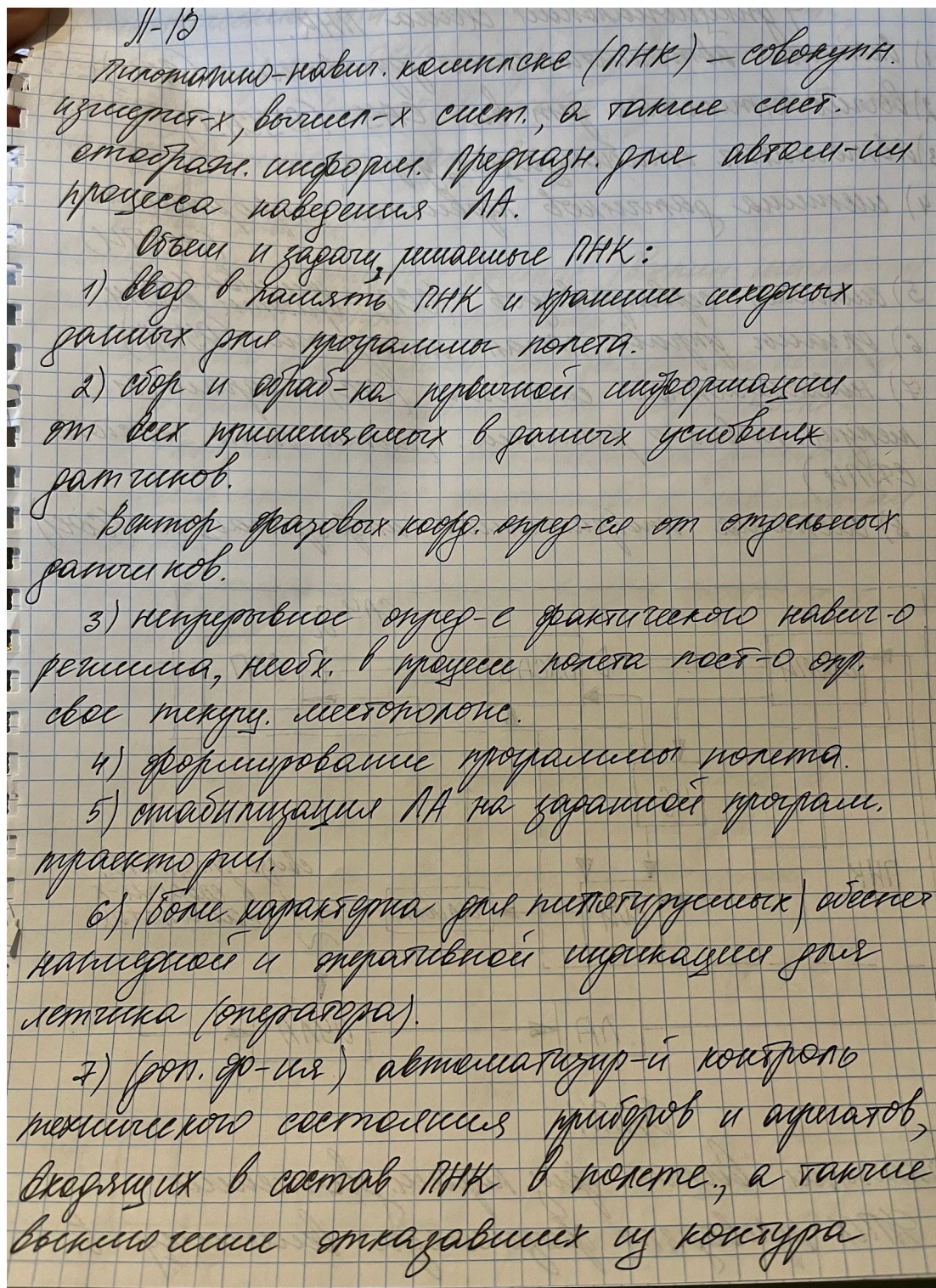


Рис. 13. Ракета с небольшой несущей поверхностью:
1—рули; 2—ось вращения рулей; 3—несущие поверхности

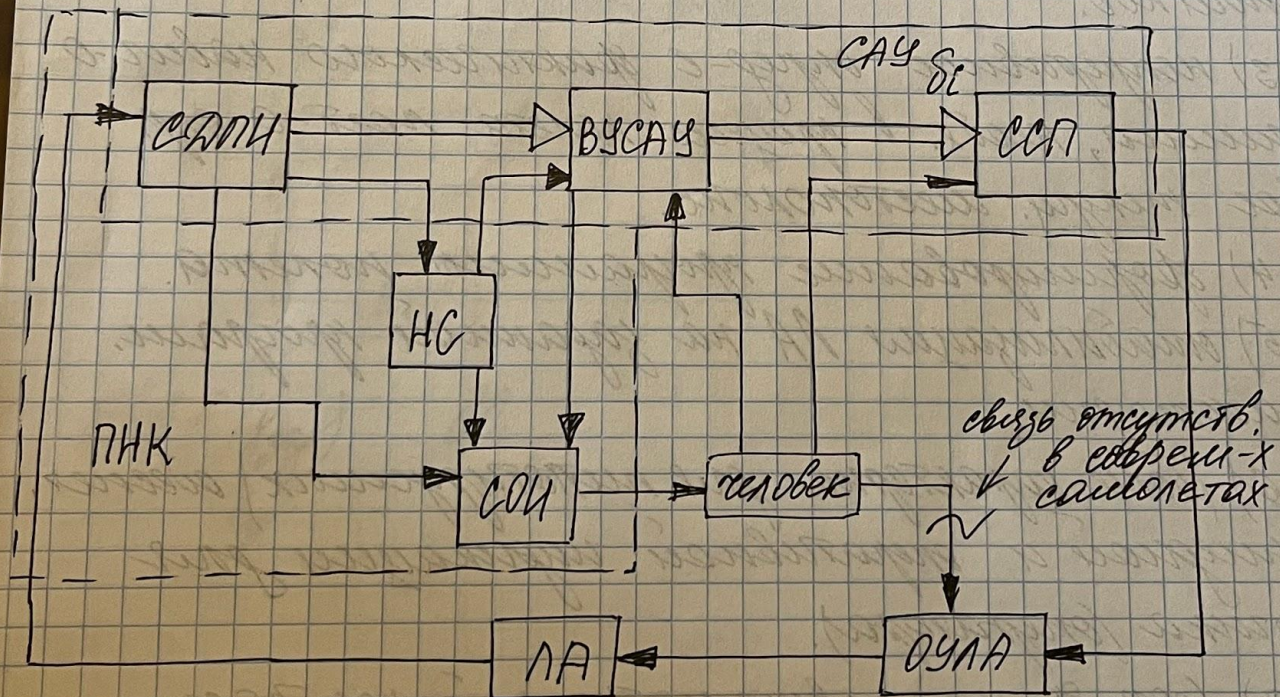
21. Пилотажно-навигационный комплекс назначение, состав, функциональная схема, предназначение отдельных подсистем.



управление, сигнализирующее о неисправлении.

Руководящая схема ПНК.

- 1) система автоматического управления (САУ) -
- 2) вспомогательное уст-во САУ (ВУСАУ) -
- 3) автоматич. стабилизирующее управл-е.
- 4) система заменяющая первичной информацией (СЗПИ)
- 5) система сервоприводов (ССП) - усиливавшие работы ВУСАУ.
- 6) органы управл. летат. аппарата (ОУЛА)
- 7) навигационная система (НС) - параллель между навиг-о реш-иями. (может быть включено СЗПИ)
- 8) система отображения информации (СОИ)



СРПИ.

Задачи СРПИ: дост. параш. выживания.
— преобразует физическую величину в

гидравлические сигналы, характерные движущиеся НА.
гирокомпенсаторные ДАУ-акселерометр, гатики
учебной скорости ДУС и т.д., гирокомпенсаторные
стабилизаторы (имеют в основе виброплатформы, они
имеют гиродинамиками-направл. \bar{g}).

стюард классик. Н.С.

Компас-гиромагнитный компас (вспомог. магнитные
заслонки + узлы направл. направл. на Север).

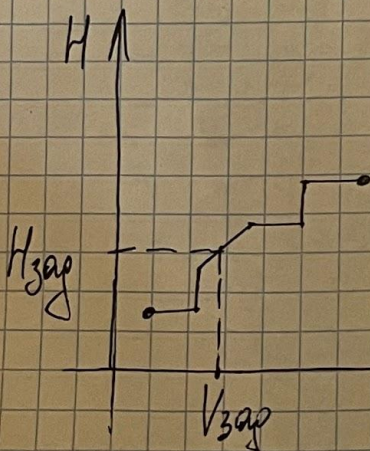
Гироскопическое радиомаяк- радиожакет на подсарку.
ЧНС- со временем накапливает погрешности. \Rightarrow
свободн. корректировка относительного движущихся
радиомаяков (ЧНС- спутниковая навигация-
система).

Нанодинамический датчик- опред-л. скорости и
вектора вектора НА.

Компенсированные датчики.

ВУСАУ.

- формирование программного полета и
выводка конкретной программы. для
текущего шест-а времени и текущего
местоположения.



$H_{зар} (H(t))$

$V_{зар} (V(t))$

разница между заданными
и текущ. параметрами -
реализуется в

(2)

расшах законе управл. силы.
(электрический)

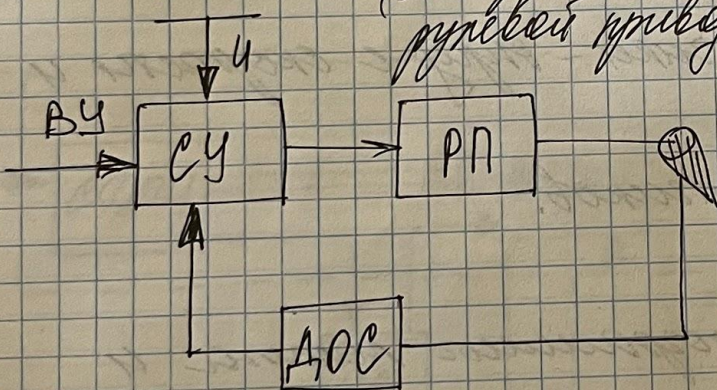
Б.- сигнал отмокущий органов управлени
(закон управл. силы формирует отмок. органов
управлени, необходимое для стабилизации
на программной траектории)

- преобраз. и усиление различного сигналов
в расшах РНК.

Система сервоприводов. (СРП)

Сервопривод усиливает входящий сигнал
органов управления, если есть сигнал от
автомата или оператора. Далее этот сигнал
сервопривод передает в орган управления.
(электромеханический)

рулевой привод



$\delta_{\text{из}}^{\text{из}}$ (изг) СН
Хпр

Пилотажно-навигационный комплекс (ПНК) ЛА предназначен для автоматизации процесса наведения ЛА (рис. 1).

Рассмотрим его функциональные части.

Датчики первичной информации (ДПИ, или чувствительные элементы) измеряют текущие параметры движения ЛА. Построенные на различных физических принципах, они бывают гироско-

пическими, радиометрическими, манометрическими, оптическими и др. К ним относятся визиры, курсовертикали, датчики угловых скоростей, акселерометры, высотомеры разных типов, системы измерения скорости и т. д.

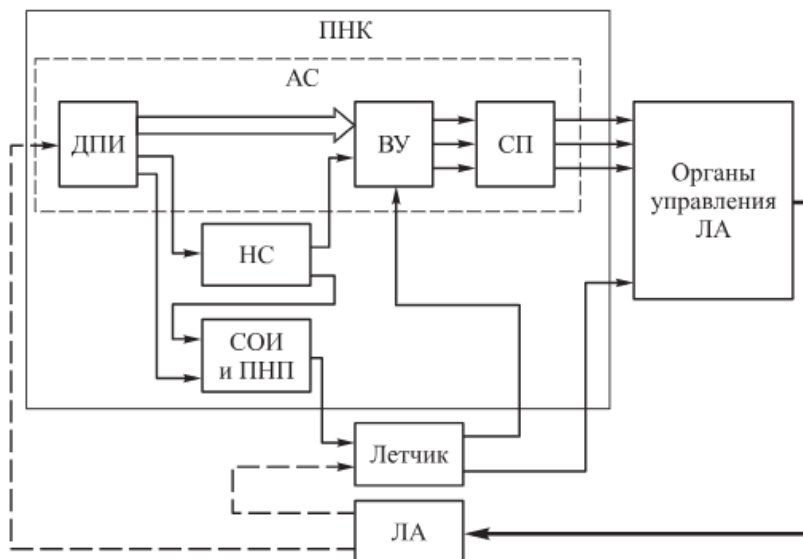


Рис. 1. Схема контуров управления ЛА:
ПНП — пилотажно-навигационный прибор

Вычислительное устройство (ВУ) предназначено для выполнения следующих функций:

- алгебраического суммирования и операционных преобразований (дифференцирование и интегрирование) сигналов с ДПИ в соответствии с законом управления и решения навигационных задач;
- отбора программ с программного механизма ПНК, задающего программу движения ЛА во времени;
- преобразования различных сигналов ПНК в информацию другого вида;
- контроля работоспособности приборов и агрегатов, входящих в состав ПНК;
- предварительного усиления сигнала управления.

Вычислительное устройство представляет собой один или несколько бортовых компьютеров (аналоговых, цифровых или гибридных, иногда и тех и других).

Сервопривод (СП) состоит из усилителя, который увеличивает мощность управляющего сигнала, и рулевой машины, преобразующей энергию управляющего сигнала в механическую для перемещения органов управления.

Система отображения информации (СОИ) в пилотируемых ЛА предназначена для индикации показаний ДПИ, отображения информации о работе отдельных приборов и систем ЛА.

Навигационная система (НС) является комплексной системой, предназначенной для определения текущего местоположения ЛА (географических координат и высоты).

22. Метод инерциальной навигации. Элементы инерциальной навигационной системы.

Инерциальные методы основаны на известной из механики связи между ускорением, скоростью и координатами движения тела:

$$V = \int_0^t a dt, \quad S = \int_0^t V dt.$$

Таким образом, интегрируя ускорение, можно получить скорость движения ЛА относительно Земли, иначе говоря, путевую скорость V_p , а с помощью второго интеграла — пройденный путь. Как было отмечено ранее, акселерометр измеряет кажущееся ускорение, которое обусловлено силами негравитационного происхождения. Поэтому для счисления пути акселерометр необходимо установить строго горизонтально. Установка акселерометра строго в горизонтальной плоскости — необходимое, но недостаточное условие. Поворот акселерометра вместе с ЛА по курсу (т. е. вокруг вертикальной оси) может привести к существенным погрешностям. Для того чтобы получить правильный результат, нужно определить V_p ЛА как геометрическую сумму двух скоростей (измеренных вдоль двух взаимно перпендикулярных направлений), неизменно ориентированных относительно Земли.

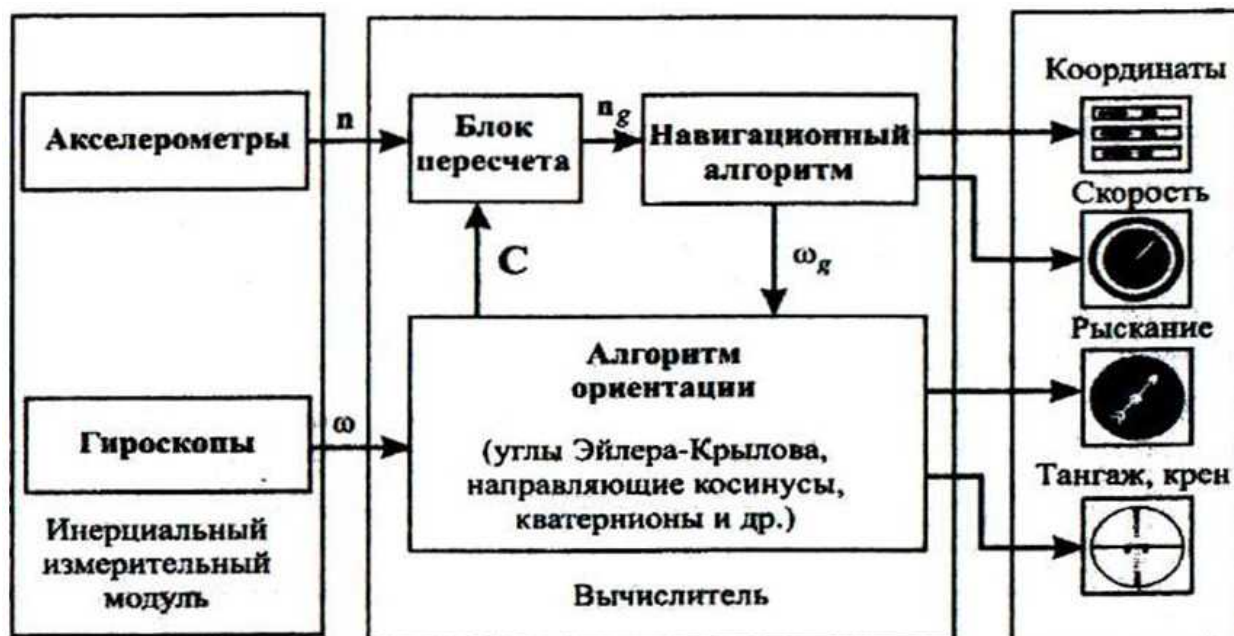
Следовательно, чтобы измерить инерциальным методом скорость относительно Земли, следует выполнить, по крайней мере, два условия, касающихся расположения акселерометров на борту ЛА:

- требуется использовать два акселерометра, расположенных взаимно перпендикулярно и неизменно ориентированных относительно направлений, связанных с Землей;
- акселерометры должны быть расположены строго горизонтально, независимо от эволюций ЛА.

Задача инерциальной навигационной системы (ИНС) может быть выполнена при построении системы, содержащей три акселерометра, трехосный гиростабилизатор и вычислительную систему для счисления пути.

При реализации ИНС всегда стоит вопрос, каким образом выполнить второе условие для ЛА в полете? Для определения горизонтали применяют уровни, т. е. используют маятник. При выполнении маневров (наличии ускорения) подвес математического маятника отклоняется от вертикали (рассматриваем относительное движение), причем $\tan \alpha = a/g$. Если угловое ускорение поворота маятника вокруг оси подвеса и угловое ускорение поворота вертикали вокруг центра Земли одинаковы, то плечо маятника все время будет вертикально относительно земной поверхности. Это можно обеспечить, если плечо равно R_s . Впервые это доказал в 1923 г. немецкий ученый Макс Шулер.

Приближенно смысл его теоремы можно сформулировать следующим образом. Математический или физический маятник, обладающий периодом колебаний $T \approx 84,4$ мин и находящийся до начала движения в положении равновесия, ни при каких ускорениях точки его подвеса во время его движения вдоль поверхности Земли не выйдет из положения равновесия, т. е. плечо маятника всегда будет оставаться вертикальным. Поскольку реализовать маятник с таким периодом на практике невозможно, у каждой ИНС будет присутствовать такая методическая погрешность.



Основа работы ИНС заключается в измерении ускорений летательного аппарата и его угловых скоростей относительно трех осей самолета для того, чтобы исходя из этих данных определить местоположение самолета, его скорость, курс и другие параметры. По результатам анализа объект стабилизируется, и может использоваться автоматическое управление. Для сбора информации о полете в состав ИНС включаются акселерометры, считывающие линейное ускорение, и гирокомпьютеры, позволяющие определить углы наклона самолета относительно основных осей: тангаж, рыскание и крен. Точность полученной информации зависит от характеристик этих приборов.

Анализом данных занимается компьютер, который затем по определенным навигационным алгоритмам корректирует движение объекта.

ИНС делятся на платформенные и бесплатформенные. Основой для платформенных ИНС служит гиростабилизированная платформа. В бесплатформенных системах акселерометры и гироскопы жестко связаны с корпусом прибора. Функции платформы моделируются математически вычислительной системой. Бесплатформенные системы выгодно отличаются меньшим весом и габаритами, а также возможностью работать при значительных перегрузках.

Преимущества ИНС перед другими навигационными системами заключаются в их полной независимости от внешних источников данных, повышенной защите от помех, высокой информативности и возможности передавать информацию на большой скорости. Отсутствием какого-либо излучения при работе ИНС обеспечивается скрытность объекта, на котором она используется.

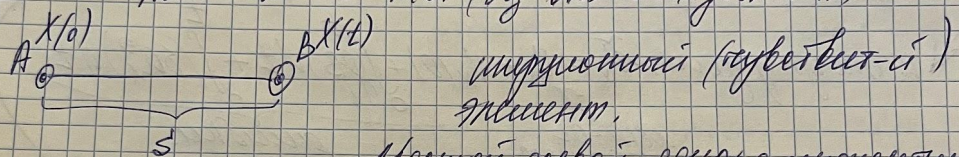
Недостатком ИНС можно назвать ошибки, которые накапливаются с течением времени в получаемой от приборов информации. Это могут быть как методические ошибки, так и ошибки, связанные с неверной начальной настройкой оборудования. Для их коррекции создаются интегрированные навигационные системы, где данные, получаемые ИНС, дополняются данными, поступающими от неавтономных систем, например спутниковой навигации. Еще одним относительным минусом ИНС является высокая стоимость входящего в их состав оборудования.

§-14

- Поясняется построение инерциальных
Н.С. изображающих систем.
 - при отр. скорости и движении первого
объекта.
 - при неподвижном
объекте.

- 1) поверхности и массой точки. - движение изображается.
- 2) однор.-равн. движение (точка, линия, изображение
перемещающей поверхности). - коррекция полож-
запускаемыми методами.
- 3) выпущенная Н.С. (изначально движется)

Автоматическое Н.С. (без внешних раздраж.)



инерциальной (равн. вест-ся)
системы.

Простейший линейный однокомпонентный
акселерометр \ddot{x}

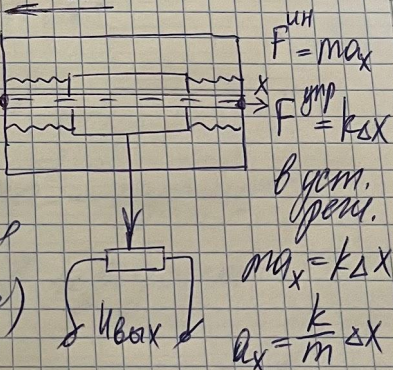
Следит за ускорением,

скорость и профиль пути -

$$V = \int_0^t a_x dt$$

$$S_x = \int_0^t \int_0^t a_x dt^2$$

дробинулов
изделие
путь
(изображающее)



$$U_{\text{max}} = \frac{m}{k} a_x$$

$$a_x = \frac{k}{m} \Delta x$$

Гиара - БИНС, когда гиара
собирая, звонящая со всей
весом ся в. сист.

$$\Delta x = \frac{m}{k} a_x$$

Причина основана в разн. нервных импульсах.

Q774) на законе инерции.

коаксиалногорованные системы)

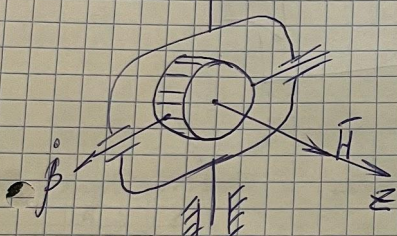
$$x = \frac{z}{g}$$

капущающие вертикаль
членов. 1 аксессори. —
вертикаль, дополнит осибона
за вертик, пресел. т.
Пресел-где сод. баланс. сист. коорд. гид
система.
вертикаль, перв. меню с другой неподвижн.
момент

автоматической сир. - АС

автомат-й сир. - бы. сист. система

МНР



Н-автом. кин. меню. фильт. ви.

рим. откл-о θ на ул. скр.)

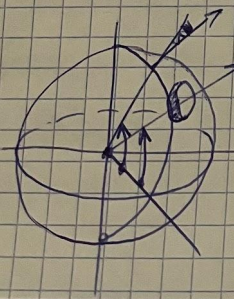
1) откл. пополн. малки.
оци при откл. рефл.
рефл. оци

переходной процесс штурвона - кульм.

Об кубет-ти аксесс-а - в горизонт.

НУ-НУ.

Об θ -ти штурвона - по местной вертик.



корректировка Н - при

откл. от ну-ти местного

корп-а (штурвона) уменьш
малки. переключатель -
составляет сх.)

1. Несимметрические поглощения (исследование)
Баухауз
Ганс Гоманн
Музыка в м. схеме
2. Синтез
Ганс Гоманн

3. Оська ефекту
оси тут єдина - це
привод. з позицією
 $\alpha_x = 0.25\pi\cos\beta + 0.5\sin\beta + 0.25$

змін. привод
нашу вах-го винн,
вога на вах. кет біт-і
погання. при старті і підніманні
північ

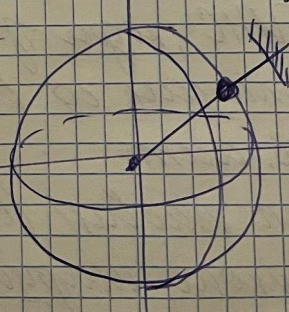
Ахеменесові підкорили парфянське царство
Іскандер, кот. після цього діл. т. їх землі увійшли
в-в. Іран. Величезне земельні землі.

uniegygycem: $\tilde{V}_x = V_x + V_x(\theta) + \int_0^t (f(\theta)) d\theta + \int_0^t (\delta a_x^2) d\theta$

человеческое
(само, эго.) существо
сг. Бессел. *существо.*

Чемпионад бүткөнчилгээ
нормалд хөгжлийн
зүйлчилгээний багасг

нарастание ошибок
с макросом времена



23. Автономные датчики первичной информации о полете летательного аппарата.

САУ ЛА для своего функционирования должна обладать определенными источниками информации о полете, т. е. о текущем состоянии фазовых координат. Структура САУ определяет набор необходимых датчиков первичной информации (ДПИ). Они воспринимают соответствующие параметры движения ЛА и переводят их в электрические сигналы, в форму, пригодную для дальнейшего использования в САУ.

ДПИ можно классифицировать по физическому принципу, на котором построено получение конкретного параметра движения. На сегодняшний день используют датчики, основанные на различных физических принципах, например, гироскопические, инерциальные, радиометрические, оптические, манометрические и др. Они могут использоваться как отдельный прибор (например, датчик угловой скорости), так и в составе системы датчиков (например, инерциальная навигационная система).

Акселерометр — это физический маятник, имеющий массу m на упругом подвесе $C_{\text{пр}}$ с датчиком перемещения x этой массы. Принцип его работы определяется зависимостью $ma_k = C_{\text{пр}}x$. Однако акселерометр измеряет кажущееся ускорение, которое обусловлено силами негравитационного происхождения. Это то ускорение, которое бы имела и с которым бы двигалась математическая точка (.) под действием негравитационных сил, если бы она перемещалась в пространстве, свободном от действия сил тяготения $a_k = a - g$.

Для определения угловой скорости вращения ЛА обычно используют датчики угловой скорости (ДУС), установленные таким образом, чтобы измерять составляющую угловой скорости вдоль оси связанной системы координат. Классический вариант ДУС — двухступенчатый гироскоп с датчиком угла β и закрепленной в пружине $C_{\text{пр}}$ осью OX . Угол поворота вектора \bar{H} вокруг оси OX при вращении основания вокруг оси OY : $\beta = H\omega_Y / C_{\text{пр}}$, где $C_{\text{пр}}$ — жесткость пружины.

Для определения высоты полета используют барометрический высотомер, который измеряет давление воздуха p_H на высоте H

полета ЛА и сравнивает его с давлением p_0 на Земле (на уровне мирового океана). На основании этого формируется приращение высоты полета $\Delta H = f(p_0 - p_H)$.

Назначение приборов и устройств

Датчики первичной информации преобразуют линейные и угловые перемещения объекта в электрические сигналы.



ЗДЕСЬ НАДО ПЕРЕЧИСЛЯТЬ ДУС, ПРО КОТОРЫЕ РАССКАЗЫВАЛ ПОНОМАРЕВ (С МЕХАНИЧЕСКОЙ ПРУЖИНОЙ, С ЭЛЕКТРИЧЕСКОЙ ПРУЖИНОЙ, ИНТЕГРИРУЮЩИЙ)

§5. ПРИБОРЫ И ДАТЧИКИ УГЛОВ КРЕНА И ТАНГАЖА.

Применение измерителей углов крена и тангажа.

Углы крена и тангажа с целью выдачи информации для обеспечения стабилизации и управления по этим углам измеряются на ЛА с помощью авиагоризонтов и гировертикалей. Основным назначением является создание на ЛА опорной системы координат, относительно которой можно измерить углы крена и тангажа. Получение такой системы координат возможно, если одна из ее осей удерживается по вертикали места.

Авиагоризонты на основе трехстепенного гироскопа.

Принцип действия основан на использовании свойства трехстепенного гироскопа сохранять заданное направление кинетического момента неизменным в пространстве. Направление кинетического момента гироскопа совпадает с вертикалью места (ось ОУ) (рис. 29), внешняя ось карданного подвеса совпадает с продольной осью ЛА, а внутренняя - направлена по оси ОZ, расположенной в горизонтальной плоскости. При появлении угла тангажа внешняя ось подвеса поворачивается вместе с ЛА, а гироузел не изменяет своего положения в пространстве. Вследствие этого угол поворота наружной рамы относительно внутренней карданного подвеса равен углу тангажа ЛА. При накренении ЛА вместе с ЛА поворачивается основание, на котором закреплен гироскоп. Наружная рама в этом случае остается неподвижной. Угол поворота основания относительно наружной рамы равен углу крена ЛА.

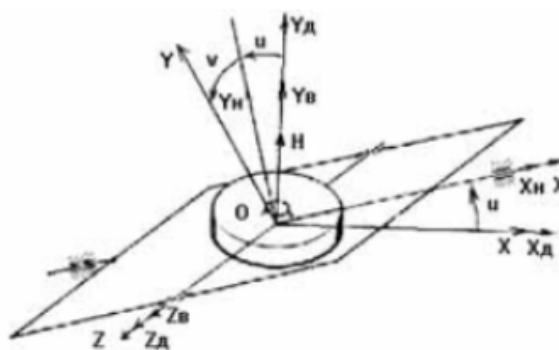


Рис.29. Измерение углов крена и тангажа с помощью трехстепенного гироскопа.

§4. НОВЫЕ ТИПЫ ДАТЧИКОВ УГЛОВЫХ СКОРОСТЕЙ.

Наряду с гироскопическими ДУС, основным элементом которых является быстровращающиеся механический ротор, известны устройства, выполняющие функции измерения угловых скорости, но не имеющие ротора. К таким устройствам относятся вибрационный и лазерный гироскопы.

Вибрационный гироскоп.

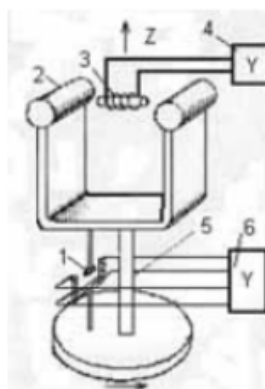


Рис.23. Схема вибрационного гироскопа.

Лазерный гироскоп.

Луч лазера 5 (рис.24) расщепляется на два луча 4 и 6, каждый из которых подходит к фотодетектору 2. Луч 6 идет непосредственно на фотодетектор, а луч 4 приходит на фотодетектор, отразившись от зеркала 3. Фотодетектор выдает сигнал, пропорциональный разности длин волн обоих лучей, на измерительное устройство 1. Пока основание, на котором располагается прибор, неподвижно, разность длин волн лучей равна нулю. При вращении основания с некоторой угловой скоростью относительно точки. О длины волн лучей изменяются и фотодетектор фиксирует их разность. Если разность тем больше, чем быстрее вращается основание прибора и чем более отличаются длины путей прямого 6 и огибающего 4 лучей. Лазерный гироскоп конструируется таким образом, чтобы огибающий луч многократно обегал замкнутый контур устройства. Это позволяет уменьшить размеры и увеличить чувствительность прибора.

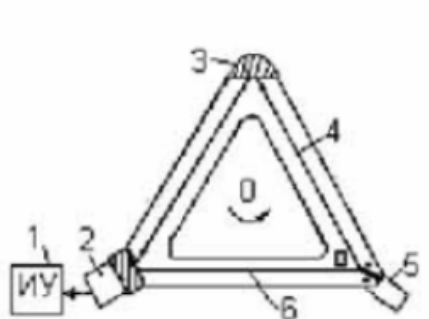


Рис.24. Схема лазерного гироскопа.

Электрический указатель поворота ЭУП-53.

Назначение.

Электрический указатель поворота предназначен для правильного выполнения разворота ЛА вокруг вертикальной оси с поперечным креном до 45° при скорости полета 500 км/ч.

Принцип действия.

Электрический указатель поворота (рис.16) - это гироскопический указатель поворота, у которого ротор 1 гироскопа приводится во вращение при помощи электрической энергии. Электрическое питание обеспечивает постоянную скорость вращения ротора независимо от высоты полета. (В указателе поворота УП-2 ротор приводится во вращение при помощи струи воздуха, ударяющего в его лунки и основным недостатком пневматического указателя является уменьшение плотности воздуха, а следовательно, и уменьшение и подача воздуха на разгон ротора при подъеме на высоту. Вследствие этого уменьшается скорость вращения ротора, что приводит к уменьшению чувствительности УП-2). Электрический привод дает возможность получить большую скорость вращения ротора гироскопа, чем достигается хорошая устойчивость гироскопа при работе.

ЭУП-53 является комбинированным прибором, в состав которого входит электрический указатель поворота и указатель скольжения 7.

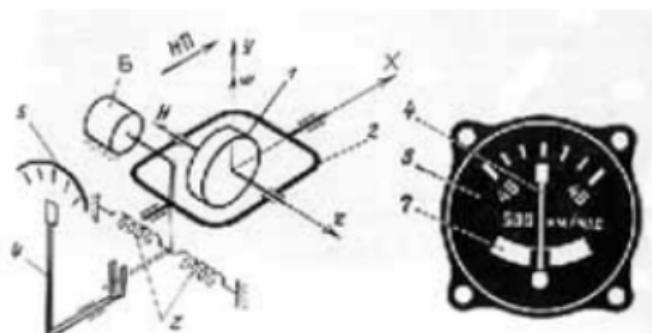


Рис. 16. Кинематическая схема и лицевая сторона ЭУП-53.

Гироскопы с вращающимися обоймами.

Для уменьшения погрешности от трения в опорах разработан целый ряд оригинальных способов подвеса. К числу таких подвесов относится гироскоп, показанный на рис.28. В таком гироскопе происходит осреднение вредного момента трения вследствие того, что в шариковых подшипниках имеется промежуточная обойма. Она вращается попеременно в разных направлениях специальным двигателем, который автоматически регулируется. Для исключения влияния момента от обоймы на гироскоп два подшипника имеют взаимно противоположные направления вращения обойм. По сравнению с серийными гироскопами погрешности в гироскопах повышенной точности меньше на 1 - 2 порядка.

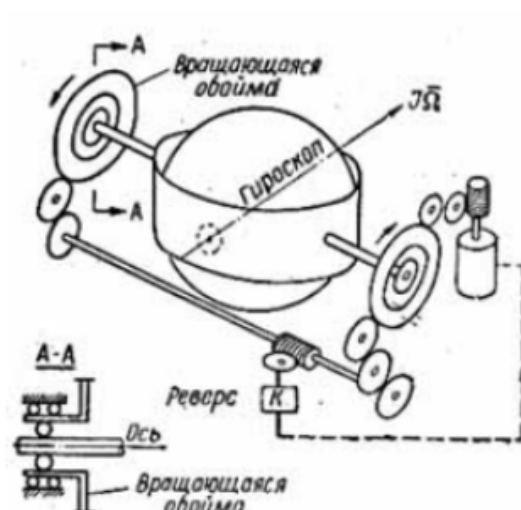
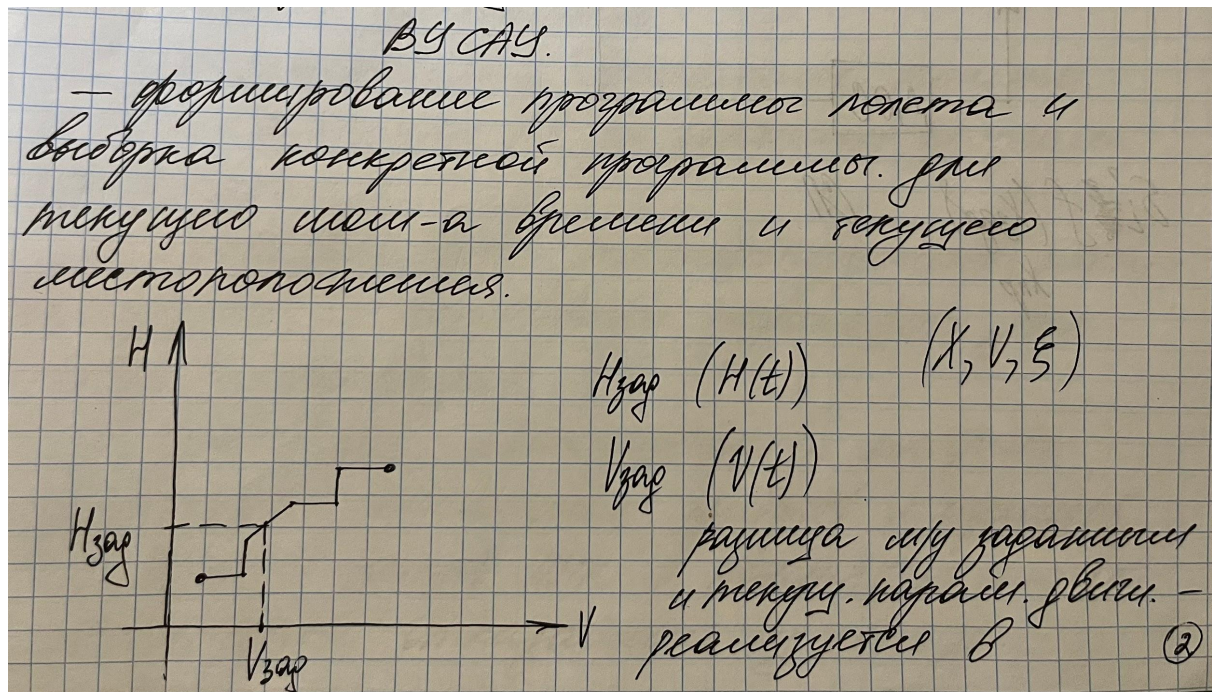


Рис.28. Гироскоп с вращающимися обоймами.

24. Алгоритмы работы вычислительного устройства САУ в рамках ПНК.



рамках закона управл. САУ.
(электрический)

б) - синтез отложенных ограждений
(закон управл. САУ формирует отложен. ограждений
управление, необходимое для стабилизации
на программной траектории)

- предобраз и усиление различных сигналов
в рамках ПНК.

Система автоматического управления (САУ) в рамках программно-навигационного комплекса (ПНК) включает в себя различные алгоритмы работы, предназначенные для обеспечения эффективного управления вычислительным устройством. Ниже приведены основные аспекты алгоритмов работы вычислительного устройства в контексте ПНК:

1. Обработка входных данных: Алгоритмы начинают свою работу с обработки входных данных, поступающих от датчиков и других источников информации. Эти данные могут включать в себя информацию о положении объекта, окружающей среде, параметрах движения и т.д.
2. Фильтрация и обработка данных: Для улучшения точности и надежности данных могут применяться фильтры и методы обработки сигналов. Это может включать в себя фильтрацию шумов, коррекцию ошибок и другие техники.
3. Составление карты среды: В случае автономных систем навигации, алгоритмы могут использоваться для создания карты окружающей среды. Эта карта может затем использоваться для принятия решений об оптимальном маршруте или избегания препятствий.

4. Планирование движения: Алгоритмы планирования движения определяют оптимальный путь или последовательность действий для достижения поставленных задач. Они учитывают как текущее состояние объекта, так и цели управления.

5. Управление двигателями и актуаторами: Алгоритмы управления преобразуют расчеты и решения, полученные на предыдущих этапах, в команды для двигателей и других актуаторов. Они обеспечивают выполнение планов и коррекцию движения в реальном времени.

6. Обратная связь и коррекция ошибок: Система обратной связи позволяет вычислительному устройству адаптироваться к изменениям условий и корректировать свои действия в соответствии с реальным исполнением задач.

7. Мониторинг и диагностика: Алгоритмы могут включать в себя механизмы мониторинга и диагностики для выявления проблем, ошибок или неисправностей в системе. Это позволяет обеспечивать надежную работу САУ.

Алгоритмы в ПНК обычно разрабатываются в соответствии с конкретными требованиями задачи и характеристиками управляемого объекта.

Под управлением понимают совокупность действий, направленных на организацию отдельного процесса или группы процессов для достижения поставленной цели.

Автоматическое управление - управление без непосредственного участия человека. Сочетание же комплекса технических средств и устройств для автоматического управления процессами называется системой автоматического управления (САУ).

Частным случаем автоматического управления является автоматическое регулирование, которое заключается в поддержании или изменении по заданному закону некоторой физической величины в техническом устройстве без непосредственного участия человека. Технические системы для его реализации называются системами автоматического регулирования (САР).

На рис.2.1 представлена блок-схема системы автоматического регулирования.

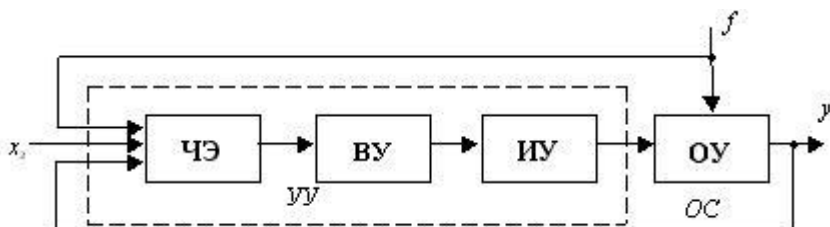


Рис.2.1. Блок-схема САУ (САР): x_3 - задающее воздействие (сигнал задатчика исходной величины); y - выходная величина; f - возмущающее воздействие на объект; ОС - цепь обратной связи, подающая весь или часть выходного сигнала на вход.

Основными элементами САУ являются:

ЧЭ-чувствительный элемент, служащий для измерения на входе САУ воздействий x_3, y, f ;

ВУ- вычислительное устройство; оно реализует алгоритм работы САУ.

В простейших случаях это - сравнение, дифференцирование, интегрирование (в более сложных - ЭВМ), а также усиление сигналов с ЧЭ;

ИУ - исполнительное устройство; оно предназначено для непосредственного управления объектом;

ОУ - объект управления.

Весь комплекс устройств, заключенных в пунктирную рамку, называется управляющим устройством (УУ). В состав УУ могут входить: преобразователи, линии и устройства связи, шифраторы и дешифраторы сигналов и т.д.